

# L'INCOMPRESSIBILITÉ DES FEUILLES DE GERMES DE FEUILLETAGES HOLOMORPHES SINGULIERS

DAVID MARÍN ET JEAN-FRANÇOIS MATTEI

RÉSUMÉ. We consider a non-dicritic germ of foliations  $\mathcal{F}$  defined in some ball  $\mathbb{B} \subset \mathbb{C}^2$  with separatrix set  $S$ , satisfying some additional but generic hypothesis. We prove that there exists an open subset  $U \supset S$  of  $\mathbb{B}$  such that for every leaf  $L$  of  $\mathcal{F}|_{(U \setminus S)}$  the natural inclusion  $\iota : L \hookrightarrow U \setminus S$  induces a monomorphism  $\iota_* : \pi_1(L) \hookrightarrow \pi_1(U \setminus S)$  at the fundamental group level.

## TABLE DES MATIÈRES

Introduction	1
1. Notions de connexité feuilletée	3
1.1. Notions de 0- et 1-connexité feuilletée	3
1.2. Un théorème de type Van Kampen	5
2. Assemblage bord à bord feuilleté	7
2.1. Définition d'assemblage feuilleté et théorème de localisation	7
2.2. Exemples utiles	9
2.3. Notion de rugosité	11
3. Réduction de la preuve du théorème principal	12
3.1. Décomposition du diviseur et construction de bonnes fibrations	12
3.2. Blocs feuilletés adaptables à taille et rugosité contrôlées	14
4. Blocs feuilletés adaptables de type Seifert	17
4.1. Construction du bloc et réduction de la preuve de (3.2.2)	17
4.2. Constructions et descriptions auxiliaires	24
4.3. Preuve de la proposition (4.1.6)	30
5. Blocs feuilletés adaptables attachés à une singularité	30
5.1. Construction de colliers et réduction de la preuve de (3.2.2)	31
5.2. Description de $V_\Delta$ et du procédé de rabotage	33
5.3. Estimation de la rugosité	38
Références	42

## INTRODUCTION

Soit  $\mathcal{F}_\omega$  un feuilletage holomorphe singulier défini par une 1-forme différentielle  $\omega$  à coefficients holomorphes sur la boule ouverte  $\mathbb{B}_\varepsilon \subset \mathbb{C}^2$  de centre 0 et de rayon  $\varepsilon > 0$ . Nous supposons  $\omega$  à singularité isolée en 0 et **non-dicritique** [10], i.e. les germes à l'origine de courbes analytiques irréductibles  $S_j$  telles que  $\omega|_{S_j} \equiv 0$ , appelées **séparatrices de  $\mathcal{F}_\omega$** , sont en

---

*Date:* 20 avril 2018.

nombre fini :  $j = 1, \dots, \varrho$ -et non-nul d'après [2]. Nous choisissons  $\varepsilon_0$  assez petit pour que, dans la boule fermée  $\overline{\mathbb{B}}_{\varepsilon_0}$ , **la séparatrice totale**  $S := \bigcup_{j=1}^{\varrho} S_j$  soit analytique fermée, à singularité isolée 0 et transverse à chaque sphère  $\partial\overline{\mathbb{B}}_r$ ,  $0 < r \leq \varepsilon_0$ . Fixons aussi une fonction holomorphe réduite  $f$  à valeur dans le disque  $\mathbb{D}_{\eta'} := \{z \in \mathbb{C} ; |z| < \eta'\}$  qui définit  $S$  sur  $\overline{\mathbb{B}}_{\varepsilon_0}$ .

La restriction de  $f$  à l'ouvert

$$T_\eta := f^{-1}(\mathbb{D}_\eta) \cap \mathbb{B}_{\varepsilon_0}, \quad 0 < \eta \ll \varepsilon_0,$$

que nous appellerons ici *tube de Milnor*, est une fibration différentiable [12] localement triviale au dessus du disque épointé  $\mathbb{D}_\eta^* := \mathbb{D}_\eta \setminus \{0\}$ . Notons

$$(1) \quad T_\eta^* := T_\eta \setminus S = f^{-1}(\mathbb{D}_\eta^*) \cap \mathbb{B}_\varepsilon.$$

Lorsque  $f$  est une intégrale première de  $\mathcal{F}_\omega$ , pour chaque feuille  $L$  de la restriction  $\mathcal{F}_\omega|_{T_\eta^*}$  de  $\mathcal{F}_\omega$  à  $T_\eta^*$  la suite exacte d'homotopie donne :

$$1 \rightarrow \pi_1(L) \xrightarrow{\iota_*} \pi_1(T_\eta^*) \xrightarrow{f_*} \pi_1(\mathbb{D}_\eta^*) \rightarrow 1,$$

où  $\iota : L \hookrightarrow T_\eta^*$  désigne l'inclusion naturelle. En particulier, les feuilles de  $\mathcal{F}_\omega|_{T_\eta^*}$  sont incompressibles dans  $T_\eta^*$ . L'objet de ce travail est démontrer un résultat analogue dans un cadre général.

Considérons  $E : \mathcal{T}_\eta \rightarrow T_\eta$  le morphisme de réduction de  $\mathcal{F}_\omega$ , cf. [15] ou [10]. Le **transformé total**  $\mathcal{D} := E^{-1}(S)$  de  $S$ , que nous appelons ici **diviseur total**, est à croisements normaux. Ses composantes irréductibles sont : les composantes irréductibles  $\mathcal{E}_j$ ,  $j = 1, \dots, \kappa$  du **diviseur exceptionnel**  $\mathcal{E} := E^{-1}(0)$  et les **transformées strictes**  $\mathcal{S}_j := \overline{E^{-1}(S_j) - \mathcal{D}_\omega}$  des  $S_j$ ,  $j = 1, \dots, \varrho$ . L'image réciproque  $E^*\omega$  permet de définir sur  $\tilde{B}_{\varepsilon_0, \eta_0}$  un feuilletage  $\mathcal{F}$  à singularités isolées, dont le **lieu singulier**  $Sing(\mathcal{F})$  est contenu dans  $\mathcal{E}$ . En chaque point  $c \in Sing(\mathcal{F})$ , le germe  $\mathcal{F}_c$  de  $\mathcal{F}$  peut être décrit par un germe de 1-forme  $\tilde{\omega}_c$  qui s'écrit, dans des coordonnées  $z_1, z_2$  appropriées :

$$(2) \quad \tilde{\omega}_c = (\lambda_c z_1 + \dots) dz_2 + (\mu_c z_2 + \dots) dz_1, \quad \text{avec } \lambda_c \neq 0, \mu_c/\lambda_c \notin \mathbb{Q}_{<0}.$$

Nous dirons ici que  $\mathcal{F}$  est **de type général** si, pour chaque  $c \in Sing(\mathcal{F})$  on a :

- (i)  $\lambda_c \mu_c \neq 0$
- (ii) si  $\lambda_c/\mu_c$  est un réel irrationnel, alors le germe  $\mathcal{F}_c$  est linéarisable.

Rappelons que si  $\lambda_c/\mu_c$  est un irrationnel  $< 0$ , ou bien si appartient à un ensemble  $\mathfrak{B} \subset \mathbb{R}_+$  de mesure pleine, appelé ensemble de Brjuno [18], alors le germe  $\mathcal{F}_c$  est toujours linéarisable.

**Théorème Principal.** *Soit  $\mathcal{F}_\omega$  un germe à l'origine de  $\mathbb{C}^2$  de feuilletage holomorphe singulier non dicritique, de type général et soit  $T_{\eta_0}$  un tube de Milnor pour la séparatrice totale  $S$ . Alors il existe un voisinage  $U$  de  $S$  dans  $T_{\eta_0}$  tel que :*

- (1) *l'inclusion  $(U \setminus S) \hookrightarrow (T_{\eta_0} \setminus S)$  induit un isomorphisme  $\pi_1(U \setminus S, \cdot) \xrightarrow{\sim} \pi_1(T_{\eta_0} \setminus S, \cdot)$ ,*

(2) toute feuille  $L$  de la restriction  $\mathcal{F}_\omega|_{(U \setminus S)}$  est incompressible dans  $(U \setminus S)$ , i.e. l'inclusion naturelle  $\iota : L \hookrightarrow (U \setminus S)$  induit un monomorphisme des groupes fondamentaux  $\iota_* : \pi_1(L, \cdot) \hookrightarrow \pi_1(U \setminus S, \cdot)$ ,

(3)  $U$  contient  $T_\eta$  pour  $\eta > 0$  assez petit.

Il est bien connu [12] que l'application d'inclusion de  $(T_{\eta_0} \setminus S)$  dans  $(\mathbb{B}_{\varepsilon_0} \setminus S)$  induit un isomorphisme au niveau du groupe fondamental. Ainsi le théorème précédent permet de construire un système fondamental  $(U_n)_n$  de voisinage de  $S$  dans la boule  $\mathbb{B}_{\varepsilon_0}$  tel que, pour tout  $n$ , chaque feuille de  $\mathcal{F}_\omega|_{(U_n \setminus S)}$  est incompressible dans  $(\mathbb{B}_{\varepsilon_0} \setminus S)$ .

Remarquons que génériquement les feuilles de  $\mathcal{F}$  dont le groupe fondamental est non-nul forment un ensemble dense. C'est le cas lorsque le groupe d'holonomie d'une composante du diviseur exceptionnel est non résoluble. Il existe alors [1] un ensemble dense de points fixes attractifs d'éléments du pseudo-groupe d'holonomie. Ces points correspondent nécessairement à des lacets tracés dans une feuille homotopiquement non-triviale. La densité pour la topologie de Krull ce type de feuilletage est montrée dans [5].

Les hypothèses que nous donnons ici peuvent être affaiblies ; en particulier il est possible d'adapter l'énoncé et la preuve de ce résultat au cas des feuilletages dicritiques. Afin d'alléger ce texte nous avons préféré ne considérer ici que le cas non-dicritique et traiter du cas dicritique dans un article ultérieur [8] où l'analyse est faite dans le cadre plus général des feuilletages holomorphes au voisinage d'un diviseur compact quelconque.

La structure de l'article est la suivante : Au chapitre 1 nous introduisons une notion très générale, la 1-connexité feuilletée, qui permet de "localiser" le problème, grâce à un théorème de type Van Kampen (1.2.1). On obtient en suite au chapitre 2 une technique d'assemblage feuilleté, qui est le pendant feuilleté des techniques de plombage [4]. Cependant un "algorithme de plombage" ne sera possible qu'en contrôlant la rugosité des bords des blocs, notion introduite en (2.3). Dans ce chapitre nous ramenons la preuve du théorème principal à celle d'un théorème d'existence de blocs "adaptables à rugosité contrôlée" (3.2.2). La preuve de celui-ci occupera les deux autres chapitres.

## 1. NOTIONS DE CONNEXITÉ FEUILLETÉE

**1.1. Notions de 0- et 1-connexité feuilletée.** De manière générale nous considérons une variété différentiable  $M$  munie d'un feuilletage régulier  $\mathcal{F}$  de classe  $C^1$ . On notera aussi  $\mathcal{F}$  l'ensemble des feuilles du feuilletage. Pour tout sous-ensemble  $A$  de  $M$ ,  $\mathcal{F}|_A$  désignera la collection des composantes connexes des intersections  $L \cap A$ ,  $L \in \mathcal{F}$ , des feuilles de  $\mathcal{F}$  avec  $A$ . Pour  $A \subset B$  nous désignons par  $Sat_{\mathcal{F}}(A, B)$  et appelons **saturé de  $A$  par  $\mathcal{F}|_B$** , le sous-ensemble

$$(3) \quad Sat_{\mathcal{F}}(A, B) := \bigcup_{L \in \mathfrak{A}} L \subset B, \quad \mathfrak{A} := \{L \in \mathcal{F}|_B / L \cap A \neq \emptyset\}.$$

Soient  $A, B$  deux sous-ensembles de  $M$ , avec  $A \subset B$ .

**Définition 1.1.1.** Nous dirons que  $A$  est **0- $\mathcal{F}$ -connexe dans  $B$**  et nous noterons  $A \overset{0}{\underset{\mathcal{F}}{\rightsquigarrow}} B$ , si pour tout  $L \in \mathcal{F}|_B$  l'application  $\pi_0(L \cap A) \rightarrow \pi_0(A)$  induite par l'inclusion de  $L \cap A$  dans  $A$  est injective, i.e. pour tout chemin  $\alpha : [0, 1] \rightarrow A$  d'extrémités dans  $L \cap A$ , il existe un chemin  $\beta : [0, 1] \rightarrow L \cap A$  de mêmes extrémités que  $\alpha$ . Nous dirons aussi que  $A$  est **strictement 0- $\mathcal{F}$ -connexe dans  $B$** , si  $A$  est à la fois 0- $\mathcal{F}$ -connexe dans  $B$  et **incompressible dans  $B$** , i.e. l'inclusion naturelle de  $A$  dans  $B$  induit un morphisme injective des groupes fondamentaux  $\pi_1(A, p) \hookrightarrow \pi_1(B, p)$  pour chaque  $p \in A$ .

Pour  $K \subset B$ , notons  $\mathcal{H}(K)$  l'ensemble des classes d'homotopie des chemins tracés dans  $K$ , i.e.  $\mathcal{H}(K)$  est le quotient de  $C^0([0, 1], K)$  par la relation d'équivalence  $a \sim_K b \Leftrightarrow$  il existe  $H : [0, 1]^2 \rightarrow K$  continue telle que :  $H(0, t) = a(t)$ ,  $H(1, t) = b(t)$ ,  $H(s, 0) = a(0) = b(0)$  et  $H(s, 1) = a(1) = b(1)$  pour tout  $s, t \in [0, 1]$ .

**Définition 1.1.2.** Nous dirons que  $A$  est **1- $\mathcal{F}$ -connexe dans  $B$**  et nous noterons  $A \overset{1}{\underset{\mathcal{F}}{\rightsquigarrow}} B$ , si pour toute feuille  $L \in \mathcal{F}$ ,  $L \cap A \neq \emptyset$ , la suite suivante est exacte :

$$\mathcal{H}(L \cap A) \xrightarrow{\alpha} \mathcal{H}(A) \times \mathcal{H}(L \cap B) \begin{array}{c} \xrightarrow{\beta_1} \\ \xrightarrow{\beta_2} \end{array} \mathcal{H}(B),$$

avec  $\alpha([c]_{L \cap A}) := ([c]_A, [c]_{L \cap B})$ ,  $\beta_1([a]_A, [b]_{L \cap B}) := [a]_B$  et  $\beta_2([a]_A, [b]_{L \cap B}) := [b]_B$ . Nous dirons aussi que  $A$  est **strictement 1- $\mathcal{F}$ -connexe dans  $B$**  si  $A \overset{1}{\underset{\mathcal{F}}{\rightsquigarrow}} B$  et  $A$  est incompressible dans  $B$ .

Explicitement cela signifie que pour tout chemins  $a : [0, 1] \rightarrow A$  et  $b : [0, 1] \rightarrow L \cap B$  tels que  $a \sim_B b$ , il existe un chemin  $c : [0, 1] \rightarrow L \cap A$  tel que  $c \sim_A a$  et  $c \sim_{L \cap B} b$ .

**Remarque 1.1.3.** Soit  $(M, \mathcal{F})$  une variété feuilletée et  $A \subset B$  des sous-ensembles de  $M$ . Les assertions suivantes sont évidentes :

(i) La relation  $A \overset{1}{\underset{\mathcal{F}}{\rightsquigarrow}} B$  entre parties de  $M$  est transitive :

$$A \overset{1}{\underset{\mathcal{F}}{\rightsquigarrow}} B \quad \text{et} \quad B \overset{1}{\underset{\mathcal{F}}{\rightsquigarrow}} C \quad \implies \quad A \overset{1}{\underset{\mathcal{F}}{\rightsquigarrow}} C.$$

Il en est de même des relations de 1- $\mathcal{F}$ -connexité stricte, de 0- $\mathcal{F}$ -connexité et de 0- $\mathcal{F}$ -connexité stricte.

(ii) Si  $A$  est réduit à un point,  $A = \{p\}$ , alors  $A \overset{1}{\underset{\mathcal{F}}{\rightsquigarrow}} B$  si et seulement si la feuille  $L_p$  de  $\mathcal{F}|_B$  qui passe par  $p$  est incompressible dans  $B$  :  $\iota_* : \pi_1(L_p, p) \hookrightarrow \pi_1(B, p)$ , où  $\iota_*$  désigne le morphisme induit par l'application d'inclusion  $\iota$  de  $L_p$  dans  $B$ .

(iii)  $A$  est 1- $\mathcal{F}$ -connexe dans  $B$  si et seulement si chacune de ses composantes connexes est 1- $\mathcal{F}$ -connexe dans  $B$ ,

(iv) Si  $A$  est  $\mathcal{F}$ -saturé dans  $B$  alors  $A \overset{1}{\underset{\mathcal{F}}{\rightsquigarrow}} B$ .

**Proposition 1.1.4.** Soit  $\mathcal{F}$  un feuilletage sur  $M$  de dimension réelle 1, défini par un champ de vecteurs ne possédant pas d'orbite périodique, alors tout ouvert  $A$  strictement 0- $\mathcal{F}$ -connexe dans  $M$  est 1- $\mathcal{F}$ -connexe dans  $M$ .

*Preuve.* Soient  $a : [0, 1] \rightarrow A$  et  $b : [0, 1] \rightarrow L \cap B$  tels que  $a \sim_B b$ . Grâce à la 0- $\mathcal{F}$ -connexité de  $A$  dans  $B$ , il existe  $c : [0, 1] \rightarrow L \cap A$  de mêmes extrémités que  $a$  (et que  $b$ ). Comme  $\mathcal{F}$  ne possède pas d'orbites périodiques, chaque composante connexe de  $L \cap B$  est simplement connexe et l'on a :  $c \sim_{L \cap B} b$ . D'où  $c \sim_B a$ . Les images de  $a$  et de  $b$  sont contenues dans  $A$  et  $A$  est incompressible dans  $B$ . Ainsi  $c \sim_A a$ .  $\square$

**1.2. Un théorème de type Van Kampen.** Soit  $T$  une sous-variété fermée de codimension réelle 1, non nécessairement connexe, transversalement orientable, d'une variété différentiable  $M$  et soit  $\mathcal{F}$  un feuilletage (régulier) de classe  $C^1$  sur  $M$ . Considérons deux sous-ensembles connexes  $V_1, V_2$  de  $M$  dont l'intersection est  $T$  et dont l'union  $V$  est un voisinage de  $T$  :

$$T = V_1 \cap V_2 \subset W \subset V := V_1 \cup V_2, \quad W \subset M \text{ ouvert.}$$

**Théorème 1.2.1.** *Supposons que  $T$  est transverse à  $\mathcal{F}$  et est strictement 1- $\mathcal{F}$ -connexe dans  $V_1$  ainsi que dans  $V_2$  :*

$$T \pitchfork \mathcal{F}, \quad T \xrightarrow[\mathcal{F}]{} V_i, \quad \pi_1(T, *) \hookrightarrow \pi_1(V_i, *), \quad i = 1, 2.$$

*Alors chaque  $V_1$  et  $V_2$  sont tous deux strictement 1- $\mathcal{F}$ -connexes dans  $V$  :*

$$V_i \xrightarrow[\mathcal{F}]{} V, \quad \pi_1(V_i, *) \hookrightarrow \pi_1(V, *), \quad i = 1, 2.$$

La preuve de ce théorème consiste en une "chirurgie" d'homotopie. Précisons cette technique.

Soit  $H : [0, 1] \times [0, 1] \rightarrow V$  une homotopie entre deux chemins  $\gamma_0 := H(0, \cdot)$  et  $\gamma_1 := H(1, \cdot)$ .

**Définition 1.2.2.** *Nous dirons ici que  $H$  est  $T$ -admissible si  $H^{-1}(T)$  est une union finie disjointe de courbes de classe  $C^1$  fermées et proprement plongées dans  $[0, 1] \times [0, 1]$ .*

**Remarque 1.2.3.** Si  $H$  est  $C^1$  et transverse à  $T$  et à  $\partial T$ , alors  $H$  est  $T$ -admissible. Ainsi lorsque  $\gamma_0$  et  $\gamma_1$  sont  $C^1$  et transverses à  $T$  et à  $\partial T$ , on peut approcher  $H$  par une homotopie différentiable qui est génériquement  $T$ -admissible.

Supposons que  $H$  est  $T$ -admissible. Désignons par  $\mathcal{I}(H; T)$  l'ensemble des composantes connexes de  $H^{-1}(T)$  homéomorphes à un segment et par  $\mathcal{J}(H; T)$  l'ensemble des composantes connexes de  $H^{-1}(T)$  qui sont des courbes de Jordan. Munissons ces courbes de leur paramétrisation par abscisse curviligne. Si  $\delta \in \mathcal{J}(H; T)$  ne coupe pas le **bord horizontal**  $[0, 1] \times \{0, 1\}$  de  $[0, 1] \times [0, 1]$ , nous noterons  $\Delta_\delta^{\text{ext}}$ , resp.  $\Delta_\delta^{\text{int}}$  la **composante connexe extérieure**, resp. **intérieure** de  $([0, 1] \times [0, 1]) \setminus |\delta|$ , c'est à dire celle qui contient, resp. qui ne contient pas  $[0, 1] \times \{0, 1\}$ . D'autre part nous dirons que  $\theta \in \mathcal{I}(H; T)$  est un **élément extrémal de  $\mathcal{I}(H, T)$** , si ses extrémités sont situées sur  $\{0\} \times [0, 1]$ ; nous les noterons  $(0, s_0(\theta))$ ,  $(0, s_1(\theta))$ , et nous orientons  $\theta$  pour avoir  $s_0(\theta) \leq s_1(\theta)$ . Le lacet simple  $\delta_\theta := \theta \vee \alpha_\theta$  borde un disque conforme,  $\alpha_\theta$  désignant la paramétrisation naturelle de  $I_\theta := [s_0(\theta), s_1(\theta)]$ . Nous notons  $\Delta_\theta^{\text{int}}$  l'intérieur de ce disque et  $\Delta_\theta^{\text{ext}} := ([0, 1] \times [0, 1]) \setminus \overline{\Delta_\theta^{\text{int}}}$ .

**Définition 1.2.4.** Nous dirons qu'une homotopie  $H'$  entre les chemins  $a$  et  $b$  est **obtenue à partir de  $H$  par chirurgie le long d'un lacet simple  $\delta'$**  qui ne coupe pas le bord horizontal de  $[0, 1] \times [0, 1]$ , si l'on a l'égalité des restrictions :

$$H|_{\Delta_{\delta'}^{\text{ext}}} = H'|_{\Delta_{\delta'}^{\text{ext}}}.$$

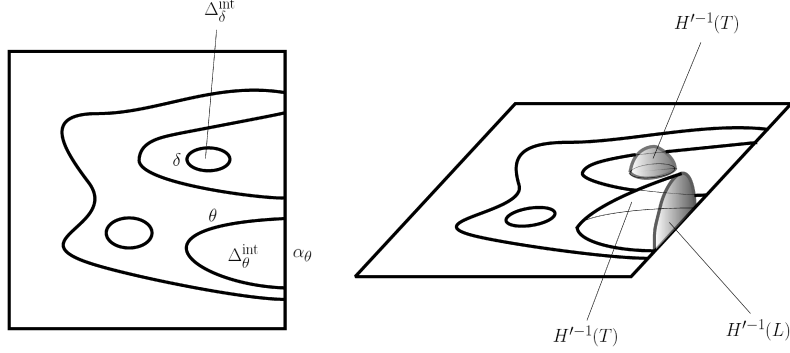


FIG. 1. Chirurgie d'homotopies.

On montre très facilement les assertions suivantes :

**Lemme 1.2.5.** Soit  $\Omega$  une sous-variété (non nécessairement fermée) contenue dans l'adhérence d'une composante connexe de  $V \setminus T$ .

(i) Si  $\delta \in \mathcal{J}(H, T)$  vérifie  $H(|\delta|) \subset \Omega$  et est homotope dans  $\Omega$  à un point, alors il existe une homotopie  $H'$  obtenue par chirurgie le long de  $\delta$  telle que  $H'(\Delta_{\delta}^{\text{int}}) \subset \Omega$ .

(ii) Soit  $\theta$  un chemin extrémal vérifiant  $H(|\theta|) \subset \Omega$  et homotope dans  $\Omega$  à un chemin  $\eta$ . Considérons le chemin  $a'$  égal à  $\eta$  en restriction à  $I_{\theta}$  et égal à  $a$  en restriction à  $[0, 1] \setminus I_{\theta}$ . Alors il existe une homotopie  $H'$  entre  $a$  et  $a'$ , obtenue par chirurgie le long de  $\theta$ , telle que  $H'(\Delta_{\theta}^{\text{ext}}) \subset \Omega$ .

*Preuve du théorème 1.2.1.* Montrons d'abord les relations  $V_i \xrightarrow[\mathcal{F}]{} V$ ,  $i = 1, 2$ . Considérons dans  $V$  une homotopie  $H$  entre un chemin  $a$  tracée dans  $V_i$  dont les extrémités sont dans une même feuille  $L$  de  $\mathcal{F}|_V$  et un chemin  $b$  tracée dans  $L$ . La feuille  $L$  est transverse à  $T$  et quitte à effectuer une petite homotopie dans  $L$  nous supposons  $b$  différentiable et transverse à  $T$ . Grâce à la remarque (1.2.3) nous supposons aussi que  $H$  est  $T$ -admissible. Raisonnons par récurrence sur l'entier  $N(H, T) := \#\mathcal{J}(H, T) + \#\mathcal{I}(H, T)$ . Lorsque  $N(H, T) = 0$ , le chemin  $b$  est contenu dans  $V_i$  et le résultat est trivial. Supposons  $N(H, T) = N + 1$  et le théorème vérifié pour  $N(H, T) \leq N$ . Distinguons deux cas suivant que  $\mathcal{J}(H, T)$  est vide ou non.

- Premier cas :  $\mathcal{J}(H, T) \neq \emptyset$ . Il existe visiblement une courbe de Jordan  $\delta \in \mathcal{J}(H, T)$ , telle que  $\Delta_{\delta}^{\text{int}}$  n'intersecte aucun élément de  $\mathcal{I}(H, T) \cup \mathcal{J}(H, T)$ . Visiblement on a :

$$H(\delta) \subset T, \quad H(\Delta_{\delta}^{\text{int}}) \subset V_j \quad \text{et} \quad H(\Delta_{\delta}^{\text{ext}}) \subset V_k, \quad \text{avec} \quad \{j, k\} = \{1, 2\}.$$

Comme  $T$  est incompressible dans  $V_j$ , le lacet  $\delta$  est homotope à un point dans  $T$ . Le lemme 1.2.5 (i) donne une homotopie  $H'$  telle que  $H'(\overline{\Delta}_\delta^{\text{int}}) \subset T$ . De plus  $\{\overline{\Delta}_\delta^{\text{int}}\} \cup \mathcal{I}(H, T) \cup \mathcal{J}(H, T) \setminus \{\delta\}$  est la collection des composantes connexes de  $H'^{-1}(T)$ . Comme  $T$  est transverse à  $\mathcal{F}$  et transversalement orientable, on peut se donner au voisinage de  $H'(\Delta_\delta^{\text{int}})$  un champ de vecteurs différentiable  $Z$  à support compact tel que :

- (i)  $H'(\overline{\Delta}_\delta^{\text{int}}) \subset \text{supp}(Z) \subset W$ ,
- (ii)  $Z(z)$  est transverse à  $T$  et pointe vers  $V_k$ , pour  $z \in H'(\overline{\Delta}_\delta^{\text{int}})$ ,
- (iii)  $\text{supp}(Z) \cap H(\lambda) = \emptyset$  pour tout  $\lambda \in \mathcal{I}(H, T) \cup \mathcal{J}(H, T) \setminus \{\delta\}$ .

Le composé  $H'_\epsilon$  de  $H'$  avec le flot de  $Z$  est une homotopie entre  $a$  et  $b$  qui vérifie :  $\mathcal{I}(H_\epsilon, T) = \mathcal{I}(H, T)$  et  $\mathcal{J}(H_\epsilon, T) = \mathcal{J}(H, T) \setminus \{\delta\}$  pour un temps  $\epsilon > 0$  assez petit. Ceci achève la récurrence, dans ce cas.

- Deuxième cas :  $\mathcal{J}(H, T) = \emptyset$  et  $\mathcal{I}(H, T) \neq \emptyset$  . Il existe alors un élément extrémal  $\theta$  de  $\mathcal{I}(H, T)$  tel que  $\Delta_\theta^{\text{int}}$  n'intersecte aucun élément de  $\mathcal{I}(H, T)$ . Notons encore  $V_j$  celui des deux ensembles  $V_1$  ou  $V_2$  qui contient  $H(\Delta_\theta^{\text{int}})$  et notons  $V_k$  l'autre. Comme  $T \xrightarrow[\mathcal{F}]{\overset{1}{\alpha_\theta}} V_j$  le chemin  $\alpha_\theta$  est homotope dans  $L \cap V_j$  à un lacet  $\eta$  contenu dans  $T$ . L'injection de  $\pi_1(T)$  dans  $\pi_1(V_j)$  donne une homotopie dans  $T$  entre  $\eta$  et  $\alpha_\theta$ . On conclut grâce au lemme 1.2.5 (ii) et à l'intégration d'un champ de vecteurs, comme dans le premier cas.

Il reste à montrer les injections des groupes fondamentaux de  $\pi_1(V_i)$  dans  $\pi_1(V)$ ,  $i = 1, 2$ . Elles résultent en fait d'un théorème classique de combinatoire des groupes en considérant  $\pi_1(V)$  comme le produit de  $\pi_1(V_1)$  et  $\pi_1(V_2)$  amalgamée sur  $\pi_1(T)$ , cf.[7], théorème 4.3. page 199.  $\square$

## 2. ASSEMBLAGE BORD À BORD FEUILLETÉ

### 2.1. Définition d'assemblage feuilleté et théorème de localisation.

Soit  $V$  une variété à bord réelle de dimension 4, non-nécessairement compacte ni connexe, munie d'un feuilletage régulier  $\mathcal{F}_V$  de classe  $C^1$  et  $(V_j)_{j \in I}$ ,  $I \subset \mathbb{N}$ , une famille de sous-variétés de  $V$  de même dimension que  $V$ , dont les bords  $\partial V_j := V_j \setminus \overset{\circ}{V}_j$  sont transversalement orientables.

**Définition 2.1.1.** *Nous dirons qu'un élément  $V_j$  est un **bloc feuilleté  $\mathcal{F}_V$ -adaptable** s'il satisfait les propriétés suivantes :*

- (1) *chaque composante connexe de  $\partial V_j$  est incompressible dans  $V_j$ ,*
- (2)  *$\mathcal{F}_V$  est transverse à  $\partial V_j$ ,*
- (3) *chaque feuille de  $\mathcal{F}_{|V_j}$  est incompressible dans  $V_j$ ,*
- (4) *chaque composante connexe de  $\partial V_j$  est 1- $\mathcal{F}$ -connexe dans  $V_j$ .*

*Nous dirons que  $V$  est un **assemblage bord à bord des  $V_j$  bien construit**, si pour tout  $j \in I$  la condition (1) et la condition supplémentaire suivante sont satisfaites :*

- (5) pour tout  $i, j \in I$  distincts l'une des deux éventualités suivante est réalisée : ou bien  $V_i \cap V_j = \emptyset$ , ou bien  $V_i \cap V_j$  est une composante connexe de  $\partial V_i$  et est une composante connexe de  $\partial V_j$ .

Si chaque  $V_j$  est  $\mathcal{F}_V$ -adapté et si  $V$  est un assemblage bord à bord des  $V_j$ , nous dirons que  $V$  est un **assemblage bord à bord feuilleté bien construit**.

**Remarque 2.1.2.** Une conséquence immédiate du théorème classique de Seifert-Van Kampen est la suivante. Soient  $A \subset A', B \subset B'$  et  $A \cap B \subset A' \cap B'$  deux sous-ensembles connexes d'un espace topologique tels que chaque inclusion précédente induise un isomorphisme au niveau du groupe fondamental. Alors il est de même pour l'inclusion  $A \cup B \subset A' \cup B'$ .

Par récurrence sur le nombre de blocs, on déduit de cette remarque la proposition suivante :

**Proposition 2.1.3.** Soient  $V = \bigcup_{j \in I} V_j$  et  $V' = \bigcup_{j \in I} V'_j$ ,  $\#I < \infty$ , deux assemblages bord à bord bien construits. Supposons que pour chaque  $j \in I$ ,  $V'_j$  est contenu dans  $V_j$  et que l'application d'inclusion induise un isomorphisme  $\pi_1(V'_j, \cdot) \xrightarrow{\sim} \pi_1(V_j, \cdot)$ . Alors l'application d'inclusion  $V' \hookrightarrow V$  induit aussi un isomorphisme  $\pi_1(V', \cdot) \xrightarrow{\sim} \pi_1(V, \cdot)$ .

**Remarque 2.1.4.** Supposons que les  $V_j$  vérifient les propriétés (1) à (4) et la propriété supplémentaire suivante :

- (5') Pour tout  $i, j \in I$  distincts  $V_i \cap V_j$  est ou bien vide, ou bien égal à  $\partial V_i \cap \partial V_j$  et il existe alors une sous-variété ouverte  $V'_{ij}$  de  $V_i \cap V_j$  qui est incompressible et 1- $\mathcal{F}$ -connexe dans  $(V_i \setminus V_i \cap V_j) \cup V'_{ij}$  et dans  $(V_j \setminus V_i \cap V_j) \cup V'_{ij}$ .

Considérons les variétés à bord

$$V_j^\circ := (V_j \setminus \bigcup_{j \neq i} V_j \cap V_i) \cup \left( \bigcup_{(i,j) \in I \widehat{\times} I} V'_{ij} \right) \subset V_j, \quad j \in I,$$

où  $I \widehat{\times} I$  est l'ensemble des couples  $(i, j)$  tels que  $V_i \cap V_j \neq \emptyset$ . Alors  $V' := \bigcup_{j \in I} V_j^\circ$  est un assemblage bord à bord feuilleté bien construit des  $V_j^\circ$ .

**Théorème 2.1.5 (de localisation).** Si  $V$  est un assemblage bord à bord feuilleté bien construit, alors :

- (1) chaque feuille de  $\mathcal{F}_V$  est incompressible dans  $V$ ,
- (2) chaque union de blocs  $V' := \bigcup_{k \in I'} V_k$ ,  $I' \subset I$ , est 1- $\mathcal{F}_V$ -connexe dans  $V$ ,
- (3) chaque union de blocs est incompressible dans  $V$ .

*Preuve.* Les deux premières assertions sont des conséquences immédiates du théorème (1.2.1). La troisième assertion résulte du théorème de Van Kampen classique précédemment cité : [7], théorème 4.3, page 199.  $\square$

Pour prouver le Théorème Principal énoncé dans l'introduction, nous construirons un voisinage ouvert  $\tilde{U}$  du diviseur total  $\mathcal{D}$  tel que  $\tilde{U}^* := \tilde{U} \setminus \tilde{D}$  se décompose comme un assemblage bord à bord feuilleté bien construit,  $\tilde{U}^* = \bigcup_\alpha \mathcal{B}_\alpha$ . Le théorème de localisation permet immédiatement de conclure. Cette construction sera effectuée à partir d'une décomposition appropriée du diviseur qui sera décrite en (3.1). Certains blocs, correspondant à des singularités de  $\mathcal{D}$ , sont déjà décrits dans les exemples ci-après.



**2.2. Exemples utiles.** Considérons un germe  $\mathcal{G}$  de feuilletage singulier réduit à l'origine de  $\mathbb{C}^2$  donné par un champ de vecteurs holomorphe  $X := x\frac{\partial}{\partial x} + y(\lambda + \dots)\frac{\partial}{\partial y}$ , défini au voisinage de  $\mathbb{K}^\zeta := \{|x| \leq 1, |y| \leq 1, |xy| < \zeta\}$ , avec  $0 < \zeta < 1$ . Désignons par  $\Phi_t^X$  le flot de  $X$  et, pour tout sous-ensemble  $A$  de  $\mathbb{K}^\zeta$ , nous notons

$$(4) \quad A^* := A \setminus \{xy = 0\}, \quad \partial_1 A := A \cap \{|x| = 1\}, \quad \partial_2 A := A \cap \{|y| = 1\}.$$

Supposons  $\mathcal{G}$  à singularité isolée. Soit  $\Sigma \subset \{x_0\} \times \mathbb{D}(\zeta)$ , avec  $|x_0| = 1$ , un disque conforme fermé, de bord analytique par morceaux. Considérons la **suspension de  $\Sigma$**  au dessus du cercle  $\{|x| = 1, y = 0\}$

$$U_\Sigma := \{\Phi_{it}^X(x_0, y) / 0 \leq t \leq 2\pi, (x_0, y) \in \Sigma\}.$$

Cet ensemble est bien défini et contenu dans le tore  $T_1 := \{|x| = 1, |y| < 1\}$  si  $\Sigma$  est assez petit, ce que nous supposons. Nous supposons aussi que  $\Sigma$  et son image  $h(\Sigma)$  par l'application d'holonomie  $h := \Phi_{2\pi i}^X$  sont étoilés. Alors l'ensemble  $U_\Sigma$  est un rétract par déformation du tore  $T_\zeta$ . De plus il se rétracte par déformation sur tout tore  $T_\varepsilon$ , avec  $\varepsilon > 0$  assez petit. En particulier  $U_\Sigma^*$  est incompressible dans  $K^{\zeta^*}$ .

Nous désirons construire des blocs adaptables  $\mathcal{B}$  contenus dans  $\mathbb{K}^{\zeta^*}$  dont les adhérences sont des voisinages des axes dans  $\mathbb{K}^\zeta$

**2.2.1. Exemple 1 :** Supposons le champ  $X$  linéaire :  $X = x\frac{\partial}{\partial x} + \lambda y\frac{\partial}{\partial y}$  avec  $\lambda \in \mathbb{C}^*$ . On a

$$\partial_i \mathbb{K}^{\zeta^*} \underset{\mathcal{G}}{\overset{1}{\dashrightarrow}} \mathbb{K}^{\zeta^*}, \quad i = 1, 2.$$

En effet, considérons le sous-ensemble  $\tilde{\mathbb{K}}^\zeta$  des points  $(z, w)$  dans  $\mathbb{C}^2 = \mathbb{R}^4$  qui vérifient les inégalités suivantes :

$$\operatorname{Re}(z) \leq 0, \quad \operatorname{Re}(w) \leq 0 \quad \text{et} \quad \operatorname{Re}(z + w) < \log(\zeta).$$

Considérons le revêtement universel  $\rho : \tilde{\mathbb{K}}^* \rightarrow \mathbb{K}^{\zeta^*}$  défini par  $\rho(z, w) = (e^z, e^w)$ . Le feuilletage  $\tilde{\mathcal{G}} := \rho^* \mathcal{G}$  admet l'intégrale première linéaire  $w - \lambda z$ . Soient  $a : [0, 1] \rightarrow \partial_i \mathbb{K}^{\zeta^*}$  et  $b : [0, 1] \rightarrow L$ , deux chemins homotopes dans  $\mathbb{K}^{\zeta^*}$  à extrémités fixes, où  $L$  est une feuille de  $\mathcal{G}$  restreint à  $\mathbb{K}^{\zeta^*}$ . On peut choisir  $\tilde{a} : [0, 1] \rightarrow \partial_i \tilde{\mathbb{K}}^\zeta := \rho^{-1}(\partial_i \mathbb{K}^{\zeta^*})$  et  $\tilde{b} : [0, 1] \rightarrow \tilde{L}$  deux  $\rho$ -relèvements de  $a$  et  $b$  avec les mêmes extrémités,  $\tilde{L}$  étant une feuille de  $\tilde{\mathcal{G}}$  telle que  $\rho(\tilde{L}) = L$ . Comme  $\tilde{L}$  est l'intersection d'un 2-plan avec ces trois demi-espaces de  $\mathbb{R}^4$ , l'intersection  $\tilde{L} \cap \partial_i \tilde{\mathbb{K}}^\zeta \neq \emptyset$  est soit une droite, soit une demi-droite. Il est donc clair qu'il existe un chemin linéaire  $\tilde{c} : [0, 1] \rightarrow \tilde{L} \cap \partial_i \tilde{\mathbb{K}}^\zeta$  joignant les deux extrémités communes de  $\tilde{a}$  et  $\tilde{b}$ . Comme  $\partial_i \tilde{\mathbb{K}}^\zeta$  et  $\tilde{L}$  sont simplement connexes,  $\tilde{c}$  est homotope à  $\tilde{a}$  dans  $\partial_i \tilde{\mathbb{K}}^\zeta$  et à  $\tilde{b}$  dans  $\tilde{L}$ . Si on définit  $c := \rho(\tilde{c})$  on peut redescendre ces homotopies à  $\mathbb{K}^{\zeta^*}$  et conclure que  $c \sim_{\partial_i \mathbb{K}^{\zeta^*}} a$  et  $c \sim_L b$ .

Soient maintenant  $\Sigma_1 \subset \{x_0\} \times \mathbb{D}(\zeta)$  et  $\Sigma_2 \subset \mathbb{D}(\zeta) \times \{y_0\}$ ,  $|x_0| = 1$ ,  $|y_0| = 1$ , deux disques conformes sur lesquels les transformations d'holonomie  $h_1 : \Sigma_1 \rightarrow \{x_0\} \times \mathbb{D}(1)$  et  $h_2 : \Sigma_2 \rightarrow \mathbb{D}(1) \times \{y_0\}$ ,

$$h_1(x_0, y) = (x_0, ye^{2i\pi\lambda}), \quad h_2(x, y_0) = (xe^{2i\pi/\lambda}, y_0),$$

sont bien définies. On peut distinguer trois cas :

**A)**  $\lambda \notin \mathbb{Q}$ . Si  $h_i(\Sigma_i) \subset \Sigma_i$  ou si  $\Sigma_i \subset h_i(\Sigma_i)$ , alors la suspension  $U_{\Sigma_i}$  vérifie :  $U_{\Sigma_i}^* \xrightarrow[\mathcal{G}]{1} \partial_i \mathbb{K}^\zeta^*$ . Ceci est une conséquence immédiate de la proposition (1.1.4). D'autre part chaque feuille est contractile. Ainsi, par transitivité de la connexité feuilleté l'ensemble

$$\mathcal{B}_\zeta := \overset{\circ}{\mathbb{K}}^\zeta^* \cup U_{\Sigma_1}^* \cup U_{\Sigma_2}^*$$

est un bloc  $\mathcal{G}$ -adaptable.

**B)**  $\lambda \in \mathbb{R}_{>0}$ . Dans ce cas les hypersurfaces réelles  $\{|x|^{-\lambda} |y| = \kappa\}$ ,  $\kappa \in \mathbb{R}_{>0}$ , sont saturées pour le feuilletage  $\mathcal{G}$  et séparent le polydisque en deux composantes connexes. Pour  $\kappa$  assez grand,  $\Omega_\kappa := \{|x| |y|^{-\frac{1}{\lambda}} > \kappa\} \cap \mathbb{K}$  est un voisinage  $\mathcal{G}$ -saturé dans  $\mathbb{K}$  de l'axe des  $x$  épointé de l'origine. De même pour  $\tau > 0$  assez grand  $\Omega'_\tau := \{|x|^{-\lambda} |y| > \tau\} \cap \mathbb{K}^\zeta$  est un voisinage  $\mathcal{G}$ -saturé dans  $\mathbb{K}^\zeta$  de l'axe des  $y$  épointé. Visiblement ces ensembles se rétractent par déformation sur  $W_\kappa := \Omega_\kappa \cap \{|x| = 1\}$  et  $W'_\tau := \Omega'_\tau \cap \{|y| = 1\}$  respectivement. La rétraction est donnée par une homotopie laissant invariant chaque feuille de  $\mathcal{G}$ . On en déduit immédiatement les relations :

$$W_\kappa^* \xrightarrow[\mathcal{G}]{1} \Omega_\kappa^* \xrightarrow[\mathcal{G}]{1} \mathcal{B}_{\zeta, \kappa, \tau} \quad \text{et} \quad W'_\tau^* \xrightarrow[\mathcal{G}]{1} \Omega'_\tau^* \xrightarrow[\mathcal{G}]{1} \mathcal{B}_{\zeta, \kappa, \tau},$$

avec :

$$\mathcal{B}_{\zeta, \kappa, \tau} := \overset{\circ}{\mathbb{K}}^\zeta^* \cup W_\kappa^* \cup W'_\tau^*.$$

On en déduit que  $\mathcal{B}_{\zeta, \kappa, \tau}$  est un bloc  $\mathcal{G}$ -adaptable. En effet il ne reste à vérifier que l'incompressibilité des feuilles de  $\mathcal{G}|_{\partial_i \mathcal{B}_{\zeta, \kappa, \tau}}$  dans  $\partial_i \mathcal{B}_{\zeta, \kappa, \tau}$ ,  $i = 1, 2$ . Lorsque  $\lambda$  est irrationnel ceci est trivial, car les feuilles sont contractiles. Lorsque  $\lambda = p/q$ ,  $p, q \in \mathbb{N}^*$  les feuilles sont les courbes d'équation  $y^q = Cx^p$ , et leurs traces sur  $\partial_i \mathcal{B}_{\zeta, \kappa, \tau}$  sont les lacets  $(e^{iq\theta}, ce^{ip\theta})$  ou bien  $(ce^{iq\theta}, e^{ip\theta})$ ,  $\theta \in [0, 2\pi]$ ,  $c$  constante  $> 0$ . Elles induisent dans les deux cas l'élément non nul  $(q, p)$  de  $\pi_1(\partial_i \mathcal{B}_{\zeta, \kappa, \tau}) \xrightarrow{\sim} \mathbb{Z} \times \mathbb{Z}$ . Remarquons aussi que chaque composante  $W_\kappa^*$  et  $W'_\tau^*$  du bord de  $\mathcal{B}_{\zeta, \kappa, \tau}$  est de type suspension.

**C)**  $\lambda = -\frac{p}{q} \in \mathbb{Q}_{<0}$ . Le feuilletage possède l'intégrale première  $x^p y^q$ . Le sous-ensemble

$$\mathcal{B}_\zeta := \{|x| \leq 1, |y| \leq 1, 0 < |x^p y^q| < \zeta\}$$

est 1- $\mathcal{G}$ -connexe dans  $\mathbb{K}^\zeta$  pour tout  $\zeta > 0$  car il est  $\mathcal{G}$ -saturé. Il est facile de construire des rétractions par déformation de  $\mathcal{B}_\zeta$  sur  $\partial_1 \mathcal{B}_\zeta$  et sur  $\partial_2 \mathcal{B}_\zeta$ , laissant invariant chaque feuille de  $\mathcal{G}|_{\mathcal{B}_\zeta}$ . Comme précédemment les feuilles des restrictions  $\partial_i \mathcal{B}_\zeta$  induisent l'élément  $(q, -p)$  de  $\pi_1(\partial_i \mathcal{B}_\zeta) \xrightarrow{\sim} \mathbb{Z} \times \mathbb{Z}$ , ce qui montre leur incompressibilité dans dans le bord de  $\mathcal{B}_\zeta$  -et donc aussi dans  $\mathcal{B}_\zeta$ . Ainsi  $\mathcal{B}_\zeta$  est un bloc  $\mathcal{G}$ -adaptable. Notons que les deux composantes du bord sont encore de type suspension.

**2.2.2. Exemple 2 :** Si  $\lambda \in \mathbb{Q}_{<0}$  et  $\mathcal{G}$  n'est pas linéarisable on sait –et cela sera précisé en (21) au paragraphe (5.1)– qu'il existe encore un collier feuilleté  $\Omega$ . Mais maintenant, pour tout disque conforme assez petit  $\Sigma \subset \{x = x_0\} \cap \Omega$ ,  $U_\Sigma^*$  n'est jamais 0-connexe dans  $W := \{|x| = 1\} \cap \Omega$ ; on en déduit facilement que  $U_\Sigma^*$  n'est jamais 1-connexe dans  $W$  ! Ainsi, dans ce cas, pour obtenir un bloc  $\mathcal{G}$ -adaptable on ne peut pas adjoindre à  $\overset{\circ}{\Omega}$  des

bords trop petits. Cette difficulté sera levée au paragraphe 5.

**2.3. Notion de rugosité.** Dans les exemples précédent nous avons construit des ouverts adaptables dont les composantes bord sont des ensembles  $U_\Sigma$  de type suspension. Cette propriété du bord sera essentielle pour construire par induction un assemblage bord à bord feuilleté. Dans tous les exemples  $U_\Sigma^*$  a le type d'homotopie d'un tore  $\mathbb{S}^1 \times \mathbb{S}^1$ , car  $h(\Sigma) \cap \Sigma$  est connexe. S'il n'en était pas ainsi,  $U_\Sigma^*$  aurait le type d'homotopie d'un tore auquel serait attaché un bouquet de cercles. Alors  $U_\Sigma^*$  ne serait pas incompressible dans  $\mathcal{B}$  et la propriété (1) de la définition (2.1.1) de bloc adaptable ne serait pas satisfaite. La notion de rugosité que nous introduisons ici permet de contrôler le caractère étoilé des domaines  $\Sigma$  et  $h(\Sigma)$ , ce qui garanti la connexité de leur intersection.

Notons, pour  $z \in \mathbb{C}$ ,  $|z| = 1$

$$(5) \quad [[z]] := \begin{cases} |\theta|, & \text{si } z = |z| e^{i\theta}, \text{ avec } \theta \in ]-\frac{\pi}{2}, +\frac{\pi}{2}[ , \\ +\infty, & \text{si } z = |z| e^{i\theta}, \text{ avec } \theta \in [\frac{\pi}{2}, \frac{3\pi}{2}]. \end{cases}$$

Tout d'abord considérons un chemin  $\gamma : [0, 1] \rightarrow \mathbb{C}^*$  analytique et lisse, i.e.  $\gamma'(s) \neq 0$ . Pour tout  $s \in [0, 1]$  nous notons :

$$\mathbf{e}(\gamma; s) := \left[ \left[ \frac{\gamma'(s)}{i\gamma(s)} \right] \right].$$

Cette quantité ‘‘mesure’’ l'angle de la courbe orientée  $\text{Im}(\gamma) := \gamma([0, 1])$  avec la tangente au cercle de centre 0 passant par  $\gamma(s)$ .

Appelons ici **chemin analytique lisse par morceaux (a. l. p. m.** en abrégé) tout chemin  $\mu = \mu_1 \vee \cdots \vee \mu_p$  qui est une concaténation de chemins analytiques lisses  $\mu_j$  tels que chaque intersection  $\text{Im}(\mu_i) \cap \text{Im}(\mu_j)$ ,  $1 \leq i < j \leq p$ , est : ou bien un ensemble discret, ou bien une courbe simple sur laquelle les orientations de  $\mu_i$  et de  $\mu_j$  coïncident.

**Définition 2.3.1.** Nous appelons **rugosité de  $\mu$  au point  $\mu(s)$**  et notons encore  $\mathbf{e}(\mu; s)$  le maximum des limites à gauche et à droite en  $s$  de  $\mathbf{e}(\mu; t)$ . Nous appelons **rugosité de  $\mu$**  l'élément  $\mathbf{e}(\mu) := \max\{\mathbf{e}(\mu; s) / s \in [0, 1]\}$  de  $\overline{\mathbb{R}}_+ = \mathbb{R}_+ \cup \{+\infty\}$ .

**Remarque 2.3.2.** Remarquons que  $\mathbf{e}(\mu)$  ne dépend que de la courbe orientée  $\text{Im}(\mu)$ . Notons aussi que si  $\mathbf{e}(\gamma; s) < +\infty$ , alors  $\mathbf{e}(\gamma^{-1}; s) = +\infty$ .

Il est clair qu'un domaine simplement connexe  $\Delta \ni 0$  de bord une courbe a. l. p. m. est étoilé par rapport à l'origine dès que  $\mathbf{e}(\partial\Delta)$  est fini. D'autre part, pour deux domaines  $\Delta, \Delta'$  contenant l'origine on a :

$$(6) \quad \mathbf{e}(\partial(\Delta \cup \Delta')), \quad \mathbf{e}(\partial(\Delta \cap \Delta')) \leq \max\{\mathbf{e}(\partial\Delta), \mathbf{e}(\partial\Delta')\}.$$

Plus généralement supposons  $\mu$  tracée dans une variété analytique réelle  $M$ , non-nécessairement connexe. Soit  $\xi$  une fonction  $\mathbb{R}$ -analytique, définie sur un voisinage ouvert de  $\text{Im}(\mu)$  et à valeurs dans  $\mathbb{C}$  telle que  $\xi \circ \mu$  n'est

pas constant. Visiblement la courbe  $\xi \circ \mu$  est aussi a.l.p.m. Nous appelons  $\xi$ -**rugosité** de  $\mu$  l'élément

$$\mathbf{e}_\xi(\mu) := \mathbf{e}(\xi \circ \mu) \in \overline{\mathbb{R}}_+.$$

Nous adoptons dans tout le texte les notations suivantes :

$$(7) \quad \|\mu\|_\xi := \max_{s \in [0,1]} |\xi \circ \mu(s)| \quad \{\{\theta\}\} := \begin{cases} |\theta| & \text{si } \theta \in ]-\pi/2, +\pi/2[ \\ +\infty & \text{si } \theta \notin ]-\pi/2, +\pi/2[ \end{cases}.$$

Maintenant supposons que  $\mu$  est tracé sur un *secteur fermé*

$$\overline{S}_{R,\alpha,\beta} := \{r e^{i\theta} / 0 \leq r < R, \alpha \leq \theta \leq \beta\} \subset \tilde{\mathbb{C}}, \quad 0 \leq \beta - \alpha \leq 2\pi$$

de la surface de Riemann  $\tilde{\mathbb{C}}$  de  $\mathbb{C}^*$ . Considérons une application holomorphe  $g$  définie sur un secteur ouvert  $S_{R',\alpha',\beta'}$  contenant  $\overline{S}_{R,\alpha,\beta}$  et qui possède sur ce secteur un développement asymptotique s'écrivant  $g(z) := \sum_{j=\nu}^{\infty} c_j z^{j/p}$ , avec  $\nu \geq 1$ ,  $p \in \mathbb{N}^*$  cf. [17].

**Proposition 2.3.3.** *Il existe une constante  $C_g > 0$  dépendant continument de  $g$  telle que :*

$$\mathbf{e}_g(\mu) \leq \{\{\mathbf{e}_z(\mu) + C_g \|\mu\|_z\}\}, \quad \|\mu\|_g \leq C_g \|\mu\|_z$$

*Preuve.* La seconde inégalité est facile. Pour prouver la première inégalité, on peut supposer  $\mu$  lisse et  $c_\nu \neq 0$ . On a :

$$(8) \quad \frac{(g \circ \mu)'}{i \cdot g \circ \mu} = \psi \circ \mu \cdot \frac{\mu'}{i\mu}, \quad \text{avec } \psi(z) := \frac{z g'(z)}{g(z)}.$$

Classiquement [17] lorsque  $z$  tend vers 0 sur  $S_{R,\alpha,\beta}$  et la fonction  $\psi(z)$  possède un développement asymptotique du type  $\nu/p + o(1)$ . Ainsi  $\psi(z)$  tend vers  $\nu/p \in \mathbb{Q}_{>0}$  et  $|\arg(\psi(z)/z)| \leq C'|z|$  pour une constante  $C' > 0$  appropriée et pour  $|z|$  assez petit, disons  $|z| \leq C_1$ . Toute constante  $C_g > 0$  telle que  $C_g \geq C'$  et  $C_g C_1 > \pi/2$  convient. On en déduit sans peine la majoration désirée. Nous laissons au lecteur le soin de vérifier que si  $g$  dépend continument d'un paramètre, on peut choisir la constante  $C_g$  dépendant continument de ce paramètre.  $\square$

Quitte à restreindre  $R$  l'application  $g$  possède une "réciproque"  $g^{-1}$  définie sur un secteur  $S_{R',\alpha',\beta'} \subset \tilde{\mathbb{C}}$  et à valeur sur un ouvert de  $S_{R,\alpha,\beta}$  contenant  $\overline{S}_{R,\alpha,\beta}$ . On en déduit le corollaire suivant.

**Corollaire 2.3.4.** *Il existe une constante  $C'_g > 0$  dépendant continument de  $g$  telle que :*

$$\mathbf{e}_z(\mu) \leq \{\{\mathbf{e}_g(\mu) + C'_g \|\mu\|_g\}\}, \quad \|\mu\|_z \leq C'_g \|\mu\|_g.$$

### 3. RÉDUCTION DE LA PREUVE DU THÉORÈME PRINCIPAL

**3.1. Décomposition du diviseur et construction de bonnes fibrations.** Considérons le diviseur total :

$$\mathcal{D} := E^{-1}(S) = \mathcal{E} \cup \mathcal{S}, \quad \mathcal{E} := E^{-1}(0), \quad \mathcal{S} := \mathcal{S}_1 \cup \dots \cup \mathcal{S}_\varrho.$$

Nous reprenons le vocabulaire habituellement utilisé : la **valence**  $v(D)$  d'une composante irréductible  $D$  de  $\mathcal{E}$  est le nombre de singularité de  $\mathcal{F}$  situées

sur  $D$ , une **chaîne** est une union connexe maximale de composantes de  $\mathcal{E}$  de valence  $\leq 2$ , une **branche morte** est une chaîne de composantes possédant une composante de valence 1, appelée **composante d'extrémité**. Deux unions connexes de composantes de  $\mathcal{D}$  sont dites **adjacentes** si leur intersection est non-vide et réduite à un point, appelée **point d'attache**. Nous appellerons **composante simple de  $\mathcal{E}$**  toute composante  $D$  de  $\mathcal{E}$  qui n'intersecte aucune branche morte, et **bloc agrégé de  $\mathcal{E}$**  toute union connexe maximale de composante non-simples de  $\mathcal{E}$ . Un bloc agrégé est toujours constitué d'une composante de  $\mathcal{E}$  appelée **composante centrale du bloc** et de l'union (non-vide) des branche mortes adjacentes à cette composante.

Visiblement les transformés strictes  $\mathcal{S}_j$ , les composantes simples et les blocs agrégés forment un recouvrement de  $\mathcal{D}$  en sous-ensembles qui, deux à deux, sont ou bien adjacent, ou bien d'intersection vide.

En chaque point singulier  $s \in \mathcal{D}$  de  $\mathcal{F}$  nous nous fixons maintenant des coordonnées  $(x_s, y_s) : K(s) \xrightarrow{\sim} \mathbb{D}(2) \times \mathbb{D}(2)$  telles que  $\mathcal{D} \cap K(s) \subset \{x_s y_s = 0\}$  et que :

- si le germe  $\mathcal{F}_s$  de  $\mathcal{F}$  en  $s$  est linéarisable, alors il est défini par un champ de vecteur linéaire dans ces coordonnées  $X_s = x_s \frac{\partial}{\partial x_s} + \lambda y_s \frac{\partial}{\partial y_s}$
- si  $\mathcal{F}_s$  est résonnant non-linéarisable, alors il est défini par une 1-forme différentielle du type forme normale de Dulac :  $x_s dy_s - y_s (\lambda + x_s y_s (\dots)) dx_s$ ,  $\lambda \in \mathbb{Q}_{<0}$ , cf. [10].

Si  $D$  est une composante irréductible de  $\mathcal{D}$  qui contient  $s$ , alors nous notons

$$D_s := D \cap \{|x_s| < 1, |y_s| < 1\} .$$

Visiblement  $D_s$  un disque conforme ouvert. Quitte à composer les coordonnées construites par des homothéties appropriées, nous supposons que deux disques fermés  $\overline{D}_s$  et  $\overline{D}_{s'}$  contenus dans une même composante  $D$  ne s'intersectent jamais.

Considérons maintenant une composante  $D$  de  $\mathcal{D}$  et désignons par  $s_j$ ,  $j = 1, \dots, v(D)$  les points singuliers de  $\mathcal{F}$  situés sur  $D$ . Supposons pour simplifier l'écriture qu'en chaque point  $y_{s_j} = 0$  est l'équation locale de  $D$  en  $s_j$ . Nous noterons

$$(9) \quad D^* := D \setminus \bigcup_{j=1}^{v(D)} \overline{D}_{s_j} .$$

On sait qu'il existe une fibration holomorphe en disques  $\underline{\pi}_D$  localement triviale, définie sur un voisinage ouvert  $\underline{\Omega}_D$  de  $D$  et à valeur dans  $D$ , qui est l'identité en restriction à  $D$ . Pour chaque  $j = 1, \dots, v(D)$  on construit sans difficulté une submersion surjective  $\underline{\pi}_{D, s_j}$  de classe  $C^\infty$  définie sur  $K(s_j)$  et à valeurs sur  $D \cap \{|x_{s_j}| < 2\}$ , qui est égale à  $\underline{\pi}_D$  en restriction à  $\underline{\Omega}_D \cap K(s_j) \cap \{|x_{s_j}| > \frac{3}{2}\}$  et égale à la projection  $x_{s_j}$  en restriction à  $K(s_j) \cap \{|x_{s_j}| < 1\}$ . Par des recollements appropriés on obtient une fibration en disques

$$(10) \quad \pi_D : \Omega(D) \longrightarrow D$$

de classe  $C^\infty$  définie sur un voisinage ouvert  $\Omega(D)$  de  $D$ , égale à l'identité en restriction à  $D$  et telle que pour chaque  $j = 1, \dots, v(D)$  on a :

- (1)  $\pi_D^{-1}(D_{s_j}) = K(s_j)$ ; et en restriction à cet ouvert  $\pi_D$  est égal à la projection  $x_{s_j}$ ,
- (2)  $\pi_D^{-1}(\tilde{D}^*) = \underline{\pi}_D^{-1}(\tilde{D}^*)$  avec  $\tilde{D}^* := D \setminus \bigcup_{j=1}^{v(D)} \{|x_{s_j}| \leq 2\}$ ; et en restriction à cet ouvert  $\pi_D$  est égal à  $\underline{\pi}_D$ .

Maintenant appelons **bloc élémentaire de  $\mathcal{D}$**  les adhérences des composantes connexes du complémentaire dans  $\mathcal{D}$  de l'union  $\bigcup_{(D,s) \in \mathfrak{A}} \partial D_s$  où

$$\mathfrak{A} := \{(D, s) \in \text{Comp}(\mathcal{D}) \times \text{Sing}(\mathcal{F}) \mid s \in D\}$$

et  $\text{Comp}(\mathcal{D})$  désignant l'ensemble des composantes irréductibles de  $\mathcal{D}$ . Notons

$$(11) \quad F := f \circ E$$

le composé de l'équation  $f$  de la séparatrice totale par l'application de réduction. Pour  $\eta > 0$  assez petit l'hypersurface réelle

$$\mathcal{H} := \bigcup_{(D,s) \in \mathfrak{A}} \pi_D^{-1}(\partial D_s)$$

est transverse aux fibres  $F^{-1}(z)$ ,  $|z| \leq \eta$ . Considérons la famille  $(\mathcal{I}_\eta^j)_{j \in \mathfrak{J}}$  des composantes connexes de  $T_\eta \setminus \mathcal{H}$  où, comme dans l'introduction,  $\mathcal{T}_\eta := E^{-1}(T_\eta)$ . Chaque bloc élémentaire de  $\mathcal{D}$  est contenu dans l'adhérence d'une et une seule composante  $\mathcal{I}_\eta^j$ .

**Définition 3.1.1.** Soit  $A \subset \mathcal{D}$  nous appelons ici **bloc de Milnor de hauteur  $\eta > 0$  associé à  $A$**  l'union des adhérences dans  $\mathcal{T}_\eta$  des composantes  $\mathcal{I}_\eta^j$  de  $\mathcal{T}_\eta \setminus \mathcal{H}$  qui intersectent  $A$  :

$$\mathcal{T}_\eta(A) := \bigcup_{j \in \mathfrak{J}_A} \overline{\mathcal{I}_\eta^j}, \quad \mathfrak{J}_A := \{i \in \mathfrak{J} \mid \mathcal{I}_\eta^i \cap A \neq \emptyset\}.$$

Nous notons aussi  $\mathcal{T}_\eta^*(A) := \mathcal{T}_\eta(A) \setminus \mathcal{D}$ .

Le résultat suivant bien connu de spécialistes se montre facilement à l'aide de la remarque (2.1.2).

**Remarque 3.1.2.** Il existe  $\eta_1 > 0$  tel que pour tout  $A \subset \mathcal{D}$  et  $0 < \eta' \leq \eta \leq \eta_1$ , les inclusions  $\mathcal{T}_{\eta'}^*(A) \subset \mathcal{T}_\eta^*(A)$  et  $\partial \mathcal{T}_{\eta'}^*(A) \subset \partial \mathcal{T}_\eta^*(A)$  induisent des isomorphismes au niveau du groupe fondamental.

**3.2. Blocs feuilletés adaptables à taille et rugosité contrôlées.** Soit  $\mathcal{A}$  l'ensemble dont les éléments sont :

- (i) les points singuliers de  $\mathcal{D}$ ,
- (ii) les composantes simples de  $\mathcal{E}$ , les composantes centrales des blocs agrégés de  $\mathcal{E}$ , les transformées strictes des séparatrices.

Pour chaque  $\alpha \in \mathcal{A}$  considérons le sous-ensemble  $K_\alpha$  de  $\mathcal{D}$  suivant

- dans le cas (i) avec  $\alpha = s \in \text{Sing}(\mathcal{D})$ , on pose  $K_\alpha := \overline{D_s} \cup \overline{D'_s}$ , où  $D$  et  $D'$  sont les deux composantes de  $\mathcal{D}$  qui s'intersectent en  $s$ ,

- dans le cas (ii) :  $K_\alpha = \overline{D}^\sharp \cup \bigcup_{j \in \mathcal{J}_D} \mathfrak{M}_j$  où  $D = \alpha$  est la composante de  $\mathcal{D}$  considéré,  $\{\mathfrak{M}_j\}_{j \in \mathcal{J}_D}$  est la collection (peut-être vide) des branches mortes adjacentes à  $D$ ,  $\{s_j\} = \mathfrak{M}_j \cap D$  et  $D^\sharp = \overline{D}^* \cup \bigcup_{j \in \mathcal{J}_D} D_{s_j}$ .

L'intersection de deux sous-ensembles distincts  $K_\alpha$  et  $K_{\alpha'}$  est ou bien vide, ou bien difféomorphe à un cercle et celui-ci est une composante connexe commune de  $\partial K_{\alpha'}$  et de  $\partial K_\alpha$ .

Pour chaque composante connexe  $\mathcal{C}$  du bord d'un  $K_\alpha$ ,  $\alpha \in \mathcal{A}$ , donnons-nous un champ de vecteur réel régulier  $Z_{\mathcal{C}}$  qui définit le feuilletage  $\mathcal{F}|_{\pi_D^{-1}(\mathcal{C})}$ ,  $D$  désignant la composante de  $\mathcal{D}$  qui contient  $\mathcal{C}$ . En chaque point  $P \in \mathcal{C}$  est défini un germe de fonction “temps de premier retour”  $\tau_P : \pi_D^{-1}(P) \rightarrow \mathbb{R}_{>0}$  qui vérifie, pour tout  $m \in \pi_D^{-1}(P)$  suffisamment proche de  $P$  :

$$\Phi_t^{Z_{\mathcal{C}}}(m) \in \pi_D^{-1}(\mathcal{C} \setminus \{P\}) \quad \text{pour } 0 < t < \tau(m) \quad \text{et} \quad \Phi_{\tau(m)}(m) \in \pi_D^{-1}(P),$$

$\Phi_t^{Z_{\mathcal{C}}}$  désignant le flot de  $Z_{\mathcal{C}}$ . Nous dirons qu'un ensemble  $V \subset \pi_D^{-1}(\mathcal{C})$  est de type **suspension au dessus de  $\mathcal{C}$** , s'il existe un point  $P \in \mathcal{C}$  et un disque conforme ouvert  $\underline{\Sigma} \subset \pi_D^{-1}(P)$  contenant  $P$ , tel qu'en notant  $\Sigma := \underline{\Sigma} \setminus \{P\}$  on a :

$$V = V_\Sigma := \left\{ \Phi_t^{Z_{\mathcal{C}}}(m) / m \in \Sigma, 0 \leq t \leq \tau_P(m) \right\}.$$

Appelons ici **rugosité de  $V$**  et notons  $\mathbf{e}_F(V)$ , la  $F$ -rugosité du bord de  $\overline{\Sigma}$ . De même nous appelons **taille de  $U$**  le réel  $\|U\|_F := \|\Sigma\|_F$ .

La proposition suivante est vraisemblablement bien connue des spécialistes.

**Proposition 3.2.1.** *Si le transformé strict d'un germe de feuilletage ne possède aucun point singulier de type selle-nœud, alors il existe au plus une composante du diviseur exceptionnel adjacente à au moins deux branches mortes.*

Lorsqu'elle existe, nous appellerons cette composante la **composante centrale** du diviseur exceptionnel. Remarquons que toute autre composante, ou bien contient (au moins) deux points singuliers de  $\mathcal{F}$  qui ne sont pas des points d'attache de branches mortes, ou bien est contenue dans une branche morte. Remarquons aussi qu'une composante centrale de  $\mathcal{E}$  est le centre d'un bloc agrégé. C'est donc un élément de  $\mathcal{A}$ .

*Preuve de la proposition.* D'après l'hypothèse l'application  $E$  de réduction de  $\mathcal{F}$  est identique à l'application de réduction de la séparatrice totale [3]. Il suffit démontrer la propriété suivante des germes de courbes  $X \subset (\mathbb{C}^2, 0)$ .

*Le diviseur exceptionnel  $\mathcal{D}_X$  de la réduction de  $X$  possède au plus une composante centrale et dans ce cas le diviseur créé par le premier éclatement est la composante d'extrémité d'une branche morte.*

Raisonnons par récurrence sur le nombre  $N_X$  d'éclatement nécessaires à la réduction de  $X$ . L'assertion est triviale lorsque  $N_X = 1$ . D'autre part l'application de réduction de  $X$  est le composé de l'application d'éclatement de l'origine  $\tilde{E} : \tilde{\mathbb{C}}^2 \rightarrow \mathbb{C}^2$  avec l'application  $E_{X'} : M \rightarrow \tilde{\mathbb{C}}^2$  de réduction de  $X' := \tilde{E}^{-1}(X)$ . En chaque point singulier  $c_j$ ,  $j = 1, \dots, \varrho_X$  de  $X'$  nous pouvons appliquer l'hypothèse de récurrence. Le diviseur  $\mathcal{D}_X$  est l'union des

diviseurs exceptionnels  $\mathcal{D}_j = E_{X'}^{-1}(c_j)$  de la réduction des germes de  $X'$  en  $c_j$  et du transformé strict  $D_0$  de  $\tilde{E}^{-1}(0)$  par  $E_{X'}$ . Chaque  $\mathcal{D}_j$  est adjacent à  $D_0$ . Il est évident que  $\mathcal{D}_X$  ne possède pas de composante centrale si aucun des  $\mathcal{D}_{X', c_j}$  n'en possède, ou bien si  $\varrho_X \geq 2$ . Considérons le cas :  $\varrho_X = 1$  et  $\mathcal{D}_j$  possède deux branches mortes. On voit facilement que,  $\tilde{E}^{-1}(0)$  étant lisse,  $D_0$  est nécessairement adjacent à une composante  $D_1$  contenue dans l'une des branches mortes  $\mathfrak{M}$ . On considère alors séparément les deux éventualités :  $D_1$  est une composante d'extrémité de  $\mathfrak{M}$ , ou non. Dans chaque cas l'hypothèse de récurrence est immédiatement satisfaite.  $\square$

Désignons toujours par  $\eta_1$  la "hauteur d'uniformité" des blocs de Milnor donnée par la remarque (3.1.2).

**Théorème 3.2.2 (d'existence de blocs adaptables).** *Soit  $\alpha \in \mathcal{A}$  et  $\varepsilon > 0$ . Il existe  $\mathcal{B}_\alpha \subset T_{\eta_1}^*(K_\alpha)$  tel que :*

- (1) *pour  $\eta > 0$  assez petit,  $\mathcal{B}_\alpha$  contient  $T_\eta^*(K_\alpha)$  et les applications d'inclusion induisent des isomorphismes*

$$\pi_1(T_\eta^*(K_\alpha), \cdot) \xrightarrow{\sim} \pi_1(\mathcal{B}_\alpha, \cdot) \quad \text{et} \quad \pi_1(\partial T_\eta^*(K_\alpha), p) \xrightarrow{\sim} \pi_1(\partial \mathcal{B}_\alpha, p),$$
*pour tout  $p \in \partial B_{\varepsilon_0, \eta}^\alpha$ ,*
- (2)  *$\mathcal{B}_\alpha$  est un bloc  $\mathcal{F}$ -adaptable,*
- (3) *les composantes connexes  $V_1, \dots, V_{r_\alpha}$  de  $\partial \mathcal{B}_\alpha$  sont des ensembles de type suspension au dessus des composantes connexes de  $\partial K_\alpha$ ,*
- (4)  *$\mathbf{e}_F(V_j) + \|V_j\|_F \leq \varepsilon$ ,  $j = 1, \dots, r_\alpha$ .*

*Si nous supposons de plus que  $\alpha$  n'est pas la composante centrale de  $\mathcal{D}$ , alors il existe des constantes  $C_{\alpha, 0}$ ,  $C_\alpha$ ,  $\xi_\alpha > 0$  et une fonction  $\mathfrak{d}_\alpha : \mathbb{R}_+ \rightarrow \mathbb{R}_+$ ,  $\lim_{r \rightarrow 0} \mathfrak{d}_\alpha(r) = 0$ , telles que pour tout sous-ensemble  $V$  de type suspension au dessus d'une composante de  $\partial K_\alpha$  vérifiant  $\mathbf{e}_F(V) \leq C_{\alpha, 0}$  et  $\|V\|_F \leq C_{\alpha, 0}$ , il existe  $\mathcal{B}_\alpha \subset T_{\eta_1}^*(K_\alpha)$  qui satisfait les propriétés (1), (2) et (3) précédentes, ainsi que :*

$$(3') \quad V_1 \xrightarrow[\mathcal{F}]{\cong} V,$$

$$(4') \quad \mathbf{e}_F(V_j) \leq \{\{\mathbf{e}_F(V) + \mathfrak{d}_\alpha(\|V\|_F)\}\} \quad \text{et} \quad \|V_j\|_F \leq C_\alpha \|V\|_F^{\xi_\alpha}, \quad j = 1, \dots, r_\alpha.$$

Fixons maintenant un élément  $\alpha_0$  de  $\mathcal{A}$ , que nous choisirons égal à la composante centrale de  $\mathcal{D}$  si celle-ci existe. Considérons la filtration croissante du diviseur

$$K_{\alpha_0} =: \mathcal{K}_0 \subset \mathcal{K}_1 \subset \dots \subset \mathcal{K}_\kappa = \mathcal{D}, \quad \mathcal{K}_{j+1} := \mathcal{K}_j \cup \bigcup_{\alpha \in \mathcal{A}_j} K_\alpha,$$

où  $\mathcal{A}_j$  est l'ensemble des  $\alpha \in \mathcal{A}$  tels que  $K_\alpha \cap \mathcal{K}_j \neq \emptyset$ .

Le théorème ci-dessous permet de construire par induction des ensembles  $\mathcal{B}_\alpha \subset T_{\eta_1}^*$ ,  $\alpha \in \mathcal{A}$  de manière que l'union  $U' := \bigcup_{\alpha \in \mathcal{A}} \mathcal{B}_\alpha$  est un assemblage bord à bord feuilleté bien construit, son adhérence est un voisinage de  $\mathcal{D}$  contenant  $\mathcal{T}_\eta$  pour  $\eta$  assez petit et  $\overline{U'} \setminus \mathcal{D} = U'$ . L'image  $U := E(\overline{U'})$  satisfait les conclusion du théorème principal. En effet les assertions (2) et (3) sont une conséquence immédiate du théorème (3.2.2) ci-dessus, du théorème de localisation (2.1.5) et de la remarque (2.1.4). Les assertion (1) et (2)



du théorème d'existence montre que les composantes connexes du bord de chaque  $\mathcal{T}_\eta^*(K_\alpha)$ , sont incompressibles dans  $\mathcal{T}_\eta^*(K_\alpha)$ . Ainsi  $\mathcal{T}_\eta^*$  est un assemblage bord à bord bien construit des  $\mathcal{T}_\eta^*(K_\alpha)$ . La proposition (2.1.3) donne l'isomorphisme  $\pi_1(\mathcal{T}_\eta^*) \xrightarrow{\sim} \pi_1(U')$  induit par l'inclusion. On en déduit l'isomorphisme  $\pi_1(\mathcal{T}_\eta \setminus S) \xrightarrow{\sim} \pi_1(U \setminus S)$  et l'assertion (1) du théorème principal de "la propriété d'uniformité" (3.1.2).

**Remarque 3.2.3.** En appliquant de façon récurrente le théorème de Seifert-Van Kampen aux blocs  $\{\mathcal{T}_\eta^*(K_\alpha)\}_{\alpha \in \mathcal{A}}$  et la présentation (17) du groupe fondamental de  $\pi_1(\mathcal{T}_\eta^*(K_D))$  qu'on démontrera à la section 4, on obtient une présentation explicite de  $\pi_1(U \setminus S)$  ayant comme système de générateurs un ensemble de lacets  $\{a_D\}$ , indexé par les composantes irréductibles  $D \subset \mathcal{D}$ , vérifiant  $\frac{1}{2i\pi} \int_{a_D} \frac{dF}{F} = \text{ord}_D F$  et ayant pour relations

$$\prod_{D \subset \mathcal{D}} a_D^{(D,E)} = 1, \quad [a_D, a_E]^{(D,E)} = 1, \quad E \subset \mathcal{E}, \quad D \subset \mathcal{D}.$$

Le reste de l'article est maintenant consacré à la preuve de ce théorème. Plus précisément le chapitre 4 est consacré au cas où  $\alpha$  est une composante  $D$  de  $\mathcal{D}$ . Le bloc  $\mathcal{B}_\alpha$  sera appelé **bloc de type Seifert**, car il est munit par construction d'une (pseudo)-fibration de Seifert  $\mathcal{B}_\alpha \rightarrow D^\sharp$ . L'existence de cette fibration joue un rôle clé dans la preuve de la 1- $\mathcal{F}$ -connexité du bord de  $\mathcal{B}_\alpha$ . Le cas où  $\alpha$  est un point singulier de  $\mathcal{F}$  est traité au chapitre 5. Lorsque la singularité est linéarisable, il suffira de reprendre les exemples traités en (2.2). Il reste uniquement le cas où la singularité est une selle résonante non-linéarisable. On construit alors un voisinage-collier et on introduit une technique "de rabotage" qui permet de lever la difficulté évoquée dans l'exemple 2 de (2.2).

#### 4. BLOCS FEUILLETÉS ADAPTÉS DE TYPE SEIFERT

Dans ce chapitre nous démontrons le théorème d'existence de blocs adaptables (3.2.2) dans le cas où  $\alpha \in \mathcal{A}$  est une composante irréductible  $D$  du diviseur  $\mathcal{D}$  non-contenue dans une branche morte. Dans le paragraphe (4.1) nous construisons le bloc  $\mathcal{B}_D$  et nous prouvons les propriétés (1),(3),(3'),(4) et (4') du théorème (3.2.2). Il restera seulement à prouver la propriété (2) de  $\mathcal{F}$ -adaptabilité du bloc  $\mathcal{B}_D$ . Nous montrons comment la 1- $\mathcal{F}$ -connexité du bord de  $\mathcal{B}_D$  implique (2). Avant de prouver cette propriété nous introduisons préalablement, dans le paragraphe (4.2), les constructions et les descriptions auxiliaires nécessaires. Finalement, dans (4.3) nous prouvons la 1- $\mathcal{F}$ -connexité du bord de  $\mathcal{B}_D$ , ce qui achève la démonstration.

**4.1. Construction du bloc et réduction de la preuve de (3.2.2).** À partir d'un disque ouvert  $\Sigma$  contenu dans la fibre de  $\pi_D$  au dessus d'un point fixé  $P_0$  de  $D^*$ , nous allons construire dans la première étape un voisinage fermé  $\overline{\mathcal{B}}_\Sigma(D^*)$  de  $D^*$  dans  $\pi_D^{-1}(D^*)$ . À la fin de cette étape (4.1.3) nous indiquerons comment un bon choix de  $\Sigma$  et l'existence de "bons" voisinages  $\overline{\mathcal{B}}_\Sigma(\mathfrak{M}_j)$  des branches mortes  $\mathfrak{M}_j$  adjacentes à  $D$  permettent de définir, par une construction bord à bord adéquate, un bloc  $\mathcal{B}_D$  qui satisfait le théorème

(3.2.2). À l'étape 2 nous construirons les voisinages  $\overline{\mathcal{B}}_\Sigma(\mathfrak{M}_j)$ , puis à l'étape 3 nous réduirons la preuve du théorème (3.2.2) à une forme faible de l'assertion (2) de son énoncé. Enfin celle-ci est prouvée à l'étape 4.

**Étape 1 : construction de  $\mathcal{B}_\Sigma(D^*)$ .** Choisissons la numérotation des points singuliers  $s_0, \dots, s_n$  de  $\mathcal{F}$  sur  $D$ , avec  $n := v(D) - 1$ , pour que  $s_{k+1}, \dots, s_n$  ( $0 \leq k \leq n$ ) soient les points d'attache des branches mortes  $\mathfrak{M}_{k+1}, \dots, \mathfrak{M}_n$  adjacentes à  $D$ . Considérons les sous-ensembles de  $D$  suivants :

$$(12) \quad D^\sharp := D \setminus \bigcup_{j=0}^k D_{s_j}, \quad D^* := D^\sharp \setminus \bigcup_{j=k+1}^n \overline{D}_{s_j}.$$

Donnons-nous des chemins simples réguliers analytiques réels

$$\sigma_j : [0, 1] \rightarrow D^\sharp, \quad j = 0, \dots, n$$

dont les images  $|\sigma_j|$  vérifient :

- $|\sigma_j| \cap |\sigma_k| = \emptyset$ , pour  $j \neq k$  ;
- $|\sigma_j| \cap \overline{D}_{s_k} = \emptyset$ , pour  $k \neq 0, j$  ;
- $|\sigma_j| \cap \overline{D}_{s_j} = \{\sigma_j(0)\} \subset \partial D_{s_j}$  si  $j = 1, \dots, k$  et  $|\sigma_j| \cap \overline{D}_{s_j}$  est un chemin radial de  $\sigma_j(0) = s_j$  à  $\sigma_j(1/2) \in \mathcal{C}_j$  si  $j = k+1, \dots, n$  ;
- $|\sigma_j| \cap \overline{D}_{s_0} = \{\sigma_j(1)\} \subset \partial D_{s_0}$ .

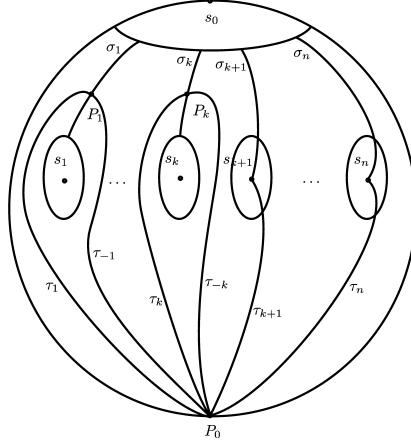


FIG. 2. Numérotation des points singuliers et description des courbes auxiliaires.

Considérons aussi le sous-ensemble de  $D$  défini par

$$D^\circ = D^* \setminus \bigcup_{j=1}^n |\sigma_j|.$$

Fixons un point de base un point base  $P_0 \in D^\circ$  et notons encore  $\pi_D : \mathcal{T}_{\eta_1}(D^*) \rightarrow D^*$  la restriction au bloc de Milnor  $\mathcal{T}_{\eta_1}(D^*)$ , cf. (3.1.1), de la fibration (10) construite en (3.1). Soit  $\Sigma \subset \pi_D^{-1}(P_0)$  un disque ouvert dont le bord  $\partial\Sigma = \overline{\Sigma} \setminus \overset{\circ}{\Sigma}$  est lisse par morceaux. La restriction  $\mathcal{F}_{D^\circ} := \mathcal{F}|_{\pi_D^{-1}(D^\circ)}$  du feuilletage  $\mathcal{F}$  à  $\pi_D^{-1}(D^\circ)$  est triviale, car  $D^\circ$  est simplement connexe. Plus précisément, il existe une constante  $C > 0$  telle que si  $|F(Q)| \leq C$ , la restriction de  $\pi_D$  à la feuille de  $\mathcal{F}_{D^\circ}$  passant par  $Q \in \pi_D^{-1}(P_0)$  est un difféomorphisme sur  $D^\circ$ . Supposons que l'on a :

$$\|\Sigma\|_F := \max\{|F(Q)|, Q \in \overline{\Sigma}\} < C.$$

Considérons la réunion  $\mathcal{B}_\Sigma(D^\circ) = \text{Sat}(\Sigma, \pi_D^{-1}(D^\circ))$  des feuilles de  $\mathcal{F}_{D^\circ}$  qui intersectent  $\Sigma$ . Par relèvement des chemins dans les feuilles suivant  $\pi_D$ , on construit un biholomorphisme  $\varphi^\circ : D^\circ \times \Sigma \rightarrow \mathcal{B}_\Sigma(D^\circ) \subset \pi_D^{-1}(D^\circ)$  qui conjugue le feuilletage horizontal (i.e. dont les feuilles sont  $D^\circ \times \{Q\}$  avec  $Q \in \Sigma$ ) à  $\mathcal{F}_{D^\circ}$  et qui vérifie :

$$\pi_D(\varphi^\circ(P, Q)) = P \quad \text{et} \quad \varphi^\circ(P_0, Q) = Q \quad \text{pour tout} \quad P \in D^\circ \text{ et } Q \in \Sigma.$$

Comme le bord de  $D^\circ$  est lisse par morceaux, il existe une uniformization  $\psi^\circ : \mathbb{D} \xrightarrow{\sim} \overset{\circ}{D}$  de l'intérieur de  $D^\circ$  dans  $D$  qui s'étend continûment au bord. Ainsi le biholomorphisme  $\phi^\circ := \varphi^\circ \circ (\psi^\circ \times \text{id}_\Sigma) : \mathbb{D} \times \Sigma \rightarrow \mathcal{B}_\Sigma(\overset{\circ}{D})$  s'étend continûment à  $\phi : \overline{\mathbb{D}} \times \Sigma \rightarrow \overline{\mathcal{T}_\eta(D^*)}$ . Soit  $\overline{\mathcal{B}}_\Sigma(D^*)$  l'image de  $\phi$  et

$$\mathcal{B}_\Sigma(D^*) = (\overline{\mathcal{B}}_\Sigma(D^*) \cap \pi_D^{-1}(D^*)) \setminus D.$$

Le type d'homotopie  $\mathcal{B}_\Sigma(D^*)$  dépend de la taille et de la rugosité de  $\Sigma$ . En effet, pour  $P \in D^\circ$ , la fibre  $\pi_D^{-1}(P) \cap \mathcal{B}_\Sigma(D^*)$  est l'image de  $\Sigma$  par l'application d'holonomie  $h_\alpha : \pi_D^{-1}(P_0) \rightarrow \pi_D^{-1}(P)$  du feuilletage le long d'un chemin  $\alpha$  tracé dans  $D^\circ$  joignant  $P_0$  à  $P$ . Par contre si  $P$  est un point d'une courbe  $|\sigma_j|$ , alors  $\pi_D^{-1}(P) \cap \mathcal{B}_\Sigma(D^*)$  est égal à l'union  $h_\alpha(\Sigma) \cup h_\beta(\Sigma)$  où  $\alpha$  et  $\beta$  sont des chemins d'origine  $P_0$  contenu dans  $D^\circ$ , sauf leur extrémité qui est commune, égale à  $P$  et atteinte par des cotés différents de la courbe  $|\sigma_j|$ . A priori cette union pourrait ne pas être simplement connexe. Une conséquence directe de la proposition (2.3.3) est

**Remarque 4.1.1.** Suivant les notations de (5) et (7), il existe une constante  $C_D > 0$  telle que pour tout  $P \in \overline{D^*}$ , la fibre  $\Sigma_P := \pi_D^{-1}(P) \cap \overline{\mathcal{B}}_\Sigma(D^*)$  vérifie les estimations suivantes :

$$(13) \quad \mathbf{e}_F(\Sigma_P) \leq \{\{\mathbf{e}_F(\partial\Sigma) + C_D\|\Sigma\|_F\}\} \quad \text{et} \quad \|\Sigma_P\|_F \leq C_D\|\Sigma\|_F.$$

On en déduit que si  $\max\{\mathbf{e}_F(\Sigma), \|\Sigma\|_F\}$  est assez petit alors toutes les fibres  $\Sigma_P$  ont une rugosité finie et sont donc étoilées. Plus précisément,

**Lemme 4.1.2.** *Il existe une constante  $C' > 0$  telle que si  $\max\{\mathbf{e}_F(\Sigma), \|\Sigma\|_F\} \leq C'$ , alors pour tout  $0 < \eta < \eta_1$  assez petit  $\mathcal{B}_\Sigma(D^*)$  se rétracte sur  $\mathcal{T}_\eta^*(D^*)$ . En particulier, l'inclusion  $\mathcal{T}_\eta^*(D^*) \subset \mathcal{B}_\Sigma(D^*)$  induit un isomorphisme au niveau des groupes fondamentaux et ceux-ci qui admettent la présentation suivante :*

$$(14) \quad \langle a_0, \dots, a_n, c \mid a_0 \cdots a_n = c^\nu, [a_r, c] = 1, r = 0, \dots, n \rangle \simeq \mathbb{Z}^{*n} \times \mathbb{Z},$$

où  $\{a_j\}_{j=0}^n$  sont les relevés par une section de la fibration triviale  $\pi_D : \mathcal{B}_\Sigma(D^*) \rightarrow D^*$  d'un système de générateurs géométriques de  $\pi_1(D^*)$ ;  $c$  est le générateur du groupe fondamental de la fibre générique qui s'identifie à  $\mathbb{D}^*$  et  $-\nu$  est égal à l'auto-intersection  $(D, D)$ . D'autre part, chaque composante connexe du bord de  $\mathcal{T}_\eta^*(D^*)$  est contenue dans une composante connexe du bord de  $\overline{\mathcal{B}}_\Sigma(D^*)$ . Cette inclusion induit un isomorphisme au niveau des groupes fondamentaux, ceux-ci admettant pour présentation :  $\langle a_j, c \mid [a_j, c] = 1 \rangle$ ,  $j = 0, \dots, n$ .

*Démonstration.* Supposons  $C' > 0$  assez petit pour que les fibres  $\Sigma_P$  soient toutes étoilées. Pour définir la rétraction, il suffit d'intégrer un relèvement du champ radial  $\partial/\partial z$  par  $F : \mathcal{T}_{\eta_1} \rightarrow \mathbb{D}_{\eta_1}$ , qui est tangent aux fibres de  $\pi_D$ . Remarquons que par définition les lacets  $\{\underline{\sigma}_j \vee \partial D_{s_j} \vee \underline{\sigma}_j^{-1}\}_{j=0}^n$  forment un système de générateurs géométriques de  $\pi_1(D^*)$ , où  $\underline{\sigma}_j = \sigma_j$  si  $j = 0, \dots, k$  et  $\underline{\sigma}_j = \sigma_{j|[1/2, 1]}$  si  $j = k+1, \dots, n$ . Le seul point de la présentation (14) qui n'est pas évident est le fait que l'exposant  $\nu$  de  $c$  dans la relation  $a_0 \cdots a_n = c^\nu$  soit égal à  $-(D, D)$ . Ceci est facile à voir dans le cas  $\nu = 1$ ;  $c'$  est une conséquence directe de la description de  $\mathcal{O}_{\mathbb{P}^1}(-\nu)$  comme le quotient  $\mathcal{O}_{\mathbb{P}^1}(-1)/\mathbb{Z}_\nu$  dans le cas général, voir aussi [13].  $\square$

Notons que chaque composante connexe

$$\partial_j \mathcal{B}_\Sigma(D^*) := \mathcal{B}_\Sigma(D^*) \cap \pi_D^{-1}(\partial D_{s_j})$$

du bord  $\partial \mathcal{B}_\Sigma(D^*) = \bigsqcup_{j=0}^k \partial_j \mathcal{B}_\Sigma(D^*)$  est de type suspension si  $j = 1, \dots, k$  et de type multi-suspension si  $j = 0$ , cf. (5.1.1). En effectuant le procédé du “rabotage” décrit dans (5.2.5) on construit un sous-ensemble de type suspension  $\partial_0 \mathcal{B}_D$  qui est 1- $\mathcal{F}$ -connexe dans  $\partial_0 \mathcal{B}_\Sigma(D^*)$ .

**Remarque 4.1.3.** A l'étape suivante nous construisons un voisinage  $\mathcal{B}_\Sigma(\mathfrak{M}_j) \sqcup (\mathfrak{M}_j \cup D_{s_j}) \subset \mathcal{T}_{\eta_1}(\mathfrak{M}_j)$  de chaque branche morte  $\mathfrak{M}_j$ ,  $j = k+1, \dots, n$ , adjacente à  $D$  tel que :

- (i)  $\mathcal{B}_\Sigma(\mathfrak{M}_j)$  est  $\mathcal{F}$ -saturé dans  $\mathcal{T}_{\eta_1}^*(\mathfrak{M}_j)$ ,
- (ii) le bord  $\partial \mathcal{B}_\Sigma(\mathfrak{M}_j)$  est contenu dans  $\pi_D^{-1}(\partial D_{s_j}) \cap \overline{\mathcal{B}}_\Sigma(D^*)$  et est invariant par l'holonomie  $h_j$  de  $\partial D_{s_j} \subset D$ ,
- (iii)  $\mathcal{B}_\Sigma(\mathfrak{M}_j)$  est maximal pour la inclusion parmi les sous-ensembles de  $\mathcal{T}_{\eta_1}^*(\mathfrak{M}_j)$  qui vérifient les propriétés (i) et (ii).

Cela nous permet de définir :

$$\mathcal{B}_\Sigma(D) := \mathcal{B}_\Sigma(D^*) \cup \bigcup_{j=k+1}^n \mathcal{B}_\Sigma(\mathfrak{M}_j)$$

et

$$(15) \quad \mathcal{B}_D := (\mathcal{B}_\Sigma(D) \setminus \partial_0 \mathcal{B}_\Sigma(D)) \cup \partial_0 \mathcal{B}_D,$$

en choisissant le disque  $\Sigma$  de la manière suivante :

- si  $D$  n'est pas la composante centrale de  $\mathcal{D}$ , alors  $k \geq 1$  et on numérote les singularités pour avoir  $\pi_D(V) \subset \partial D_{s_1}$ ; on prend pour  $\sigma_1(0) \in \partial D_{s_1}$  le “point de rupture” de la suspension  $V$ ; on choisit  $P_0$  sur  $\partial D_{s_1} \setminus \{\sigma_1(0)\}$  et on considère  $\Sigma := \pi_D^{-1}(P_0) \cap V$ ;

- si  $D$  est la composante centrale de  $\mathcal{D}$ , on prend pour  $P_0$  un point quelconque de  $D^\circ$  et  $\Sigma$  assez petit de rugosité nulle.

Il est clair que  $\partial\mathcal{B}_D = \bigcup_{i=0}^k V_i$  est de type suspension et  $V_1 = V$  dans le cas

où  $D$  n'est pas la composante centrale de  $\mathcal{D}$ . Cela prouve les propriétés (3), (3') du théorème (3.2.2). Quant aux propriétés (4) et (4'), elles résultent immédiatement de la remarque (4.1.1).

**Etape 2 : construction et description de  $\mathcal{B}_\Sigma(\mathfrak{M}_j)$ .** Il est bien connu que l'holonomie  $h_j$  de  $\mathcal{F}$  le long du lacet  $\partial D_{s_j} \subset D$  est périodique. Notons  $p_j$  la période positive minimale de  $h_j$ . Il est aussi bien connu que  $\mathcal{F}$  possède au voisinage de chaque branche morte  $\mathfrak{M}_j$ , une intégrale première holomorphe  $f_j$ , avec  $f_j|_{\mathfrak{M}_j} \equiv 0$ . D'après la proposition (2.3.3) et les propriétés (6) il existe une constante  $C'' > 0$  telle que si  $\max\{\mathbf{e}_F(\Sigma), \|\Sigma\|\} \leq C''$  alors, pour chaque  $j = k+1, \dots, n$ , l'ensemble

$$\Sigma_j := \Sigma_{\sigma_j(0)} \cap h_j(\Sigma_{\sigma_j(0)}) \cap \dots \cap h_j^{p_j-1}(\Sigma_{\sigma_j(0)})$$

est un disque conforme, invariant par l'holonomie  $h_j$ , dont le bord est de  $F$ -rugosité finie. Considérons  $C_{D,0} := \min\{C, C', C''\} > 0$  et définissons

$$\mathcal{B}_\Sigma(\mathfrak{M}_j) := f_j^{-1}(\Delta_j^*) \setminus \pi_D^{-1}(D \setminus \overline{D}_{s_j}),$$

où  $\Delta_j$  est l'image du disque ouvert  $\Sigma_j$  par une intégrale première holomorphe et primitive  $f_j$  de  $\mathcal{F}$  définie au voisinage de  $\mathfrak{M}_j \cup \overline{D}_{s_j} = f_j^{-1}(0) \setminus (D \setminus \overline{D}_{s_j})$ .

Remarquons que  $\mathcal{T}_\eta^*(\mathfrak{M}_j)$  est de la forme  $\mathcal{B}_\Sigma(\mathfrak{M}_j)$  pour le feuilletage donné par  $dF$  et pour un disque  $\Sigma$  tel que  $F(\Sigma) = \mathbb{D}_\eta$ .

**Proposition 4.1.4.** *Si  $\max\{\mathbf{e}_F(\Sigma), \|\Sigma\|\} \leq C''$ , alors  $\mathcal{B}_\Sigma(\mathfrak{M}_j)$  vérifie les propriétés suivantes :*

- $\partial\overline{\mathcal{B}}_\Sigma(\mathfrak{M}_j) = \overline{\mathcal{B}}_\Sigma(\mathfrak{M}_j) \cap \pi_D^{-1}(\overline{D}^*) = \overline{\mathcal{B}}_\Sigma(\mathfrak{M}_j) \cap \pi_D^{-1}(\partial D_{s_j})$  est une 3-variété à bord qui est un voisinage de  $\partial D_{s_j}$  dans  $\pi_D^{-1}(\partial D_{s_j})$  ;
- il existe une carte holomorphe  $\tau_j = (x_j, y_j) : \mathcal{T}_{\eta_1}(s_j) \rightarrow \overline{\mathbb{D}} \times \overline{\mathbb{D}}^*$  telle que  $D_{s_j} = \tau_j^{-1}(\{y_j = 0\})$ ,  $x_j \circ \pi_D = x_j$  et la restriction à  $\mathcal{T}_{\eta_1}(s_j)$  de la intégrale première holomorphe  $f_j$  s'écrit sous la forme  $f_j(x_j, y_j) = x_j^{q_j} y_j^{p_j}$ , où  $-q_j/p_j \in \mathbb{Q}_{<0}$  est la fraction réduite de l'indice de Camacho-Sad du feuilletage  $\tilde{\mathcal{F}}$  par rapport à  $D$  au point singulier  $s_j$  ;
- il existe un  $C^1$ -difféomorphisme  $\Phi_j : \overline{\mathcal{B}}_\Sigma^*(\mathfrak{M}_j) \rightarrow \overline{\mathbb{D}} \times \overline{\mathbb{D}}^*$ ,  $\overline{\mathcal{B}}_\Sigma^*(\mathfrak{M}_j) := \overline{\mathcal{B}}_\Sigma(\mathfrak{M}_j) \setminus \mathcal{D}$ , qui conjugue la restriction de  $\mathcal{F}$  au feuilletage horizontal et qui envoie  $\partial\mathcal{B}_\Sigma(\mathfrak{M}_j)$  sur  $\partial\overline{\mathbb{D}} \times \overline{\mathbb{D}}^*$ . En particulier, la restriction de  $\mathcal{F}$  à  $\partial\mathcal{B}_\Sigma(\mathfrak{M}_j)$  est un feuilletage en cercles dont chaque feuille est le bord d'une feuille de  $\mathcal{F}|_{\mathcal{B}_\Sigma(\mathfrak{M}_j)}$  ;
- les générateurs  $a_j$  et  $c$  du groupe fondamental de la composante connexe de  $\partial\overline{\mathcal{B}}_\Sigma(D^*)$  qui se rétracte sur  $\partial\mathcal{B}_\Sigma(\mathfrak{M}_j)$  s'identifient respectivement aux classes d'homotopie des lacets (positivement orientés)  $\tau_j^{-1}(\{|x_j| = \varepsilon_j, y_j = \varepsilon_j\})$  et  $\tau_j^{-1}(\{x_j = \varepsilon_j, |y_j| = \varepsilon_j\})$ , avec  $\varepsilon_j > 0$  assez petit. De plus, le groupe fondamental de  $\mathcal{B}_\Sigma(\mathfrak{M}_j)$  admet la présentation suivante :

$$(16) \quad \pi_1(\mathcal{B}_\Sigma(\mathfrak{M}_j)) \cong \langle a_j, c \mid [a_j, c] = 1, a_j^{p_j} = c^{q_j} \rangle = \mathbb{Z}\langle a_j^{m_j} c^{-n_j} \rangle,$$

où  $m_j, n_j \in \mathbb{N}$ ,  $n_j < p_j$ , vérifient la relation  $m_j p_j - n_j q_j = 1$ .

(e) la restriction de  $\pi_D$  à  $\partial\overline{\mathcal{B}}_\Sigma^*(\mathfrak{M}_j)$  se prolonge en une  $\overline{\mathbb{D}}^*$ -fibration de Seifert  $\sigma_{\mathfrak{M}_j} : \mathcal{B}_\Sigma(\mathfrak{M}_j) \rightarrow \overline{D}_{s_j}$  de classe  $C^1$  et transverse à  $\mathcal{F}$ , avec exactement une fibre exceptionnelle  $\sigma_{\mathfrak{M}_j}^{-1}(s_j)$ , qui est de type  $(p_j, n_j)$ .

**Remarque 4.1.5.** La notion de  $\overline{\mathbb{D}}^*$ -fibration Seifert que nous considérons ici est l'analogie à la définition classique de fibration Seifert en cercles. Plus précisément, une application différentiable  $\sigma : V \rightarrow S$  de une 4-variété à bord  $V$  sur une surface  $S$  est appelée  **$\overline{\mathbb{D}}^*$ -fibration de Seifert** si tout point  $P$  de  $S$  admet un voisinage  $U$  tel que la restriction de  $\sigma$  à  $\sigma^{-1}(U)$  est équivalente au modèle local  $\sigma_{a,b} : \mathbb{D} \times \overline{\mathbb{D}}^* \rightarrow \mathbb{D}$  défini par  $\sigma_{a,b}(x, y) = x^a(y/|y|)^{-b}$ , pour certains entiers  $0 \leq b < a$  premiers entre eux. Remarquons que la restriction de  $\sigma$  à  $\mathbb{D} \times \partial\overline{\mathbb{D}}$  (i.e. à  $|y| = 1$ ) est une  $\mathbb{S}^1$ -fibrations de Seifert au sens classique, cf. [14]. On dit que la fibre correspondant à  $\{x = 0\}$  est **exceptionnelle de type**  $(a, b)$ . Toutes les autres fibres de  $\sigma^{-1}(U)$  admettent des voisinages tubulaires modelés par  $\sigma_{1,0}$ , c'est à dire sur lesquels  $\sigma$  est une  $\overline{\mathbb{D}}^*$ -fibration localement triviale. Comme dans le cas classique, pour toute  $\overline{\mathbb{D}}^*$ -fibration Seifert  $\sigma : V \rightarrow S$  il existe un revêtement ramifié  $\rho : \widehat{S} \rightarrow S$  tel que le pull-back  $\widehat{\sigma} := \rho^*\sigma$  de  $\widehat{V} := \rho^*V$  en  $\widehat{S}$  est une  $\overline{\mathbb{D}}^*$ -fibration localement triviale. En effet, il suffit de considérer le modèle local  $\sigma_{a,b}$  et le revêtement ramifié  $\rho_a : \mathbb{D} \rightarrow \mathbb{D}$  donné par  $\rho_a(x) = x^a$ .

*Preuve de la proposition (4.1.4).* Les assertions (a) et (b) sont évidentes à partir de la définition de  $\mathcal{B}_\Sigma(\mathfrak{M}_j)$ . Pour montrer (c), remarquons d'abord que si  $D' \subset \mathfrak{M}_j$  est la composante extrême de valence 1, alors il existe un  $C^1$ -difféomorphisme  $\mathcal{B}_\Sigma(\mathfrak{M}_j) \cap \mathcal{T}_{\eta_1}(D') \xrightarrow{\sim} \mathbb{D} \times \mathbb{D}^*$  qui conjugue  $\mathcal{F}$  au feuilletage horizontal. Si  $D' \subset \mathfrak{M}_j$  est une composante de valence 2 ayant pour singularités du feuilletage  $s', s'' \in D'$  alors  $D'^* := D' \setminus (D'_{s'} \cup D'_{s''})$  est une couronne et possède un champ de vecteurs réel dont chaque orbite relie un des cercles de son bord  $\partial D'_{s'}$  à l'autre  $\partial D'_{s''}$ . En intégrant le relevé de ce champ aux feuilles de  $\mathcal{F}$  via  $\pi_{D'}$  on obtient des  $C^1$ -difféomorphismes

$$\begin{aligned} \mathcal{B}_\Sigma(\mathfrak{M}_j) \cap \mathcal{T}_{\eta_1}(D') &\xrightarrow{\sim} \left( \mathcal{B}_\Sigma(\mathfrak{M}_j) \cap \rho_{D'}^{-1}(\partial D'_{s'}) \right) \times [0, 1] \\ &\xrightarrow{\sim} \left( \mathcal{B}_\Sigma(\mathfrak{M}_j) \cap \rho_{D'}^{-1}(\partial D'_{s''}) \right) \times [0, 1]. \end{aligned}$$

D'autre part, pour toute singularité  $s$  du feuilletage située sur  $\mathfrak{M}_j$ , nécessairement point d'intersection de deux composantes  $D'$  et  $D''$  de  $\mathcal{E}$ , la restriction de  $\mathcal{F}$  est décrite par l'exemple 1.C) de la section 2.2. On obtient donc des difféomorphismes

$$\begin{aligned} \mathcal{B}_\Sigma(\mathfrak{M}_j) \cap \mathcal{T}_{\eta_1}(s) &\xrightarrow{\sim} \left( \mathcal{B}_\Sigma(\mathfrak{M}_j) \cap \rho_{D'}^{-1}(\partial D'_s) \right) \times [0, 1] \\ &\xrightarrow{\sim} \left( \mathcal{B}_\Sigma(\mathfrak{M}_j) \cap \rho_{D''}^{-1}(\partial D''_s) \right) \times [0, 1]. \end{aligned}$$

Il est clair que les feuilles de  $\mathcal{F}|_{\mathcal{B}_\Sigma(\mathfrak{M}_j)}$  sont obtenues en collant bord à bord un disque avec une succession des couronnes. En fait les difféomorphismes précédents se recollent pour donner un  $C^1$ -difféomorphisme global

$$\Phi_j : \overline{\mathcal{B}}_\Sigma^*(\mathfrak{M}_j) \xrightarrow{\sim} \overline{\mathbb{D}} \times \overline{\mathbb{D}}^*$$

satisfaisant les propriétés requises. Nous laissons les détails de cette construction au lecteur.

La description des générateurs  $a_j$  et  $c$  dans l'assertion (d) est évidente d'après le lemme (4.1.2). D'autre part, il est clair que la restriction de  $f_j$  à  $\mathcal{B}_\Sigma(\mathfrak{M}_j)$  est une fibration localement triviale en disques (car elle est homotope à  $\text{pr}_2 \circ \Phi_j$ ). On déduit de la suite exacte d'homotopie que  $\gamma \mapsto \frac{1}{2i\pi} \int_\gamma \frac{df_j}{f_j}$  induit un isomorphisme entre  $\pi_1(\mathcal{B}_\Sigma(\mathfrak{M}_j))$  et  $\mathbb{Z}$ . D'après la description locale des générateurs  $a_j$  et  $c$ , on a :  $\frac{1}{2i\pi} \int_{a_j} \frac{df_j}{f_j} = q_j$  et  $\frac{1}{2i\pi} \int_c \frac{df_j}{f_j} = p_j$ . D'où  $a_j^{p_j} = c^{q_j}$  dans  $\pi_1(\mathcal{B}_\Sigma(\mathfrak{M}_j)) \cong \mathbb{Z}$  et ce groupe admet  $a_j^{m_j} c^{-n_j}$  comme générateur dès que  $m_j p_j - n_j q_j = 1$ .

Pour prouver l'assertion (e) considérons l'application  $\phi_j : \mathbb{S}^1 \times \overline{\mathbb{D}}^* \rightarrow \mathbb{S}^1 \times \overline{\mathbb{D}}^*$  donnée par  $\phi_j(e^{i\theta_1}, r e^{i\theta_2}) = \left( e^{i(m_j \theta_1 + n_j \theta_2)}, r^{q_j} e^{i(q_j \theta_1 + p_j \theta_2)} \right)$ , où  $\mathbb{S}^1 = \partial \overline{\mathbb{D}}$ . C'est un difféomorphisme dont l'inverse est :

$$\phi_j^{-1}(e^{i\theta_1}, r e^{i\theta_2}) = \left( e^{i(p_j \theta_1 - n_j \theta_2)}, r^{\frac{1}{q_j}} e^{i(-q_j \theta_1 + m_j \theta_2)} \right).$$

La restriction de  $\Phi_j$  à  $\partial \mathcal{B}_\Sigma(\mathfrak{M}_j)$  coïncide avec  $\phi_j \circ \tau_j : \partial \mathcal{B}_\Sigma(\mathfrak{M}_j) \rightarrow \mathbb{S}^1 \times \overline{\mathbb{D}}^*$ . L'application  $\varsigma_j := x_j \circ \pi_D \circ \Phi_j^{-1} : \mathbb{S}^1 \times \overline{\mathbb{D}}^* \rightarrow \mathbb{S}^1$ , qui s'écrit aussi sous la forme  $\varsigma_j(e^{i\theta_1}, r e^{i\theta_2}) = e^{i(p_j \theta_1 - n_j \theta_2)}$ , admet un prolongement  $\underline{\varsigma}_j : \overline{\mathbb{D}} \times \overline{\mathbb{D}}^* \times \overline{\mathbb{D}}$  obtenu en posant  $\underline{\varsigma}_j(x, r e^{i\theta_2}) := x^p e^{-in\theta_2} = \sigma_{p,n}(x, y)$ ,  $y = r e^{i\theta_2} \in \overline{\mathbb{D}}^*(1)$ . Celui-ci satisfait visiblement les propriétés suivantes :

- (a) la restriction de  $\underline{\varsigma}_j$  à chaque feuille  $\overline{\mathbb{D}} \times \{r e^{i\theta_2}\}$  du feuilletage horizontal  $\mathcal{H}$  est un revêtement ramifié avec l'origine comme unique point de ramification (non-triviale, sauf si  $p_j = 1$ ),
- (b) chaque fibre de  $\underline{\varsigma}_j$ , y compris la fibre exceptionnelle  $\underline{\varsigma}_j^{-1}(0)$ , est une courbe lisse  $C^\infty$  transverse à chaque feuille de  $\mathcal{H}$ .

Posons  $\sigma_{\mathfrak{M}_j} := \underline{\varsigma}_j \circ \Phi_j$ . Pour achever la preuve il suffit de voir que  $p_j \neq 1$ . Visiblement  $p_j$  est la période de l'application d'holonomie  $h_j$  du feuilletage  $\tilde{\mathcal{F}}$  le long du lacet  $\partial D_{s_j}$ . Or on sait que l'holonomie au point de branchement d'une branche morte n'est jamais l'identité, cf. [11] lemme (6.2.5).  $\square$

**Etape 3 : réduction de la preuve du théorème (3.2.2).** Les assertions (3), (3'), (4), (4') ont été prouvées en (4.1.3). Montrons l'assertion (1). D'après la présentation (16), si  $\max\{e_F(\Sigma), \|\Sigma\|\} \leq C''$  et si  $0 < \eta < \eta_1$  est assez petit, alors les inclusions  $\mathcal{T}_\eta^*(\mathfrak{M}_j) \subset \mathcal{B}_\Sigma(\mathfrak{M}_j)$  et  $\partial \mathcal{T}_\eta^*(\mathfrak{M}_j) \subset \partial \mathcal{B}_\Sigma(\mathfrak{M}_j)$  induisent des isomorphismes à niveau des groupes fondamentaux. Remarquons aussi que l'on a :  $\partial \mathcal{T}_\eta^*(\mathfrak{M}_j) = \mathcal{T}_\eta^*(\mathfrak{M}_j) \cap \mathcal{T}_\eta^*(D^*)$  et  $\partial \mathcal{B}_\Sigma(\mathfrak{M}_j) = \mathcal{B}_\Sigma(\mathfrak{M}_j) \cap \overline{\mathcal{B}}_\Sigma(D^*)$ . Ainsi l'assertion (1) de (3.2.2) découle de la remarque (2.1.2) et du lemme (4.1.2).

Pour achever la preuve du théorème (3.2.2) il ne reste plus qu'à prouver l'assertion (2) de  $\mathcal{F}$ -adaptabilité du bloc  $\mathcal{B}_D$ , i.e.

- (i) le bord  $\partial \mathcal{B}_D$  est incompressible,
- (ii)  $\mathcal{F}$  est transverse à  $\partial \mathcal{B}_D$ ,
- (iii) chaque feuille de  $\mathcal{F}|_{\mathcal{B}_D}$  est incompressible dans  $\mathcal{B}_D$ ,
- (iv)  $\partial \mathcal{B}_D \overset{1}{\underset{\mathcal{F}}{\dashrightarrow}} \mathcal{B}_D$ .

En appliquant le théorème de Seifert-Van Kampen et en utilisant les présentations (14) et (16) on obtient la présentation explicite suivante du groupe fondamental  $\pi_1(\mathcal{B}_D)$  :

$$(17) \quad \left\langle a_0, \dots, a_n, c \mid a_0 \cdots a_n = c^\nu, [a_r, c] = 1, a_j^{p_j} = c^{q_j}, \right. \\ \left. r = 0, \dots, n, j = k+1, \dots, n \right\rangle.$$

Visiblement le groupe fondamental  $\pi_1(V_j) \cong \langle a_j, c \mid [a_j, c] = 1 \rangle$  de chaque composante connexe  $V_j$  du bord de  $\mathcal{B}_D$ ,  $j = 0, \dots, k$ , s'injecte dans  $\pi_1(\mathcal{B}_D)$ ; D'où (i). La propriété (ii) est évidente par construction. Nous allons voir maintenant que l'assertion (iii) est une conséquence de (iv).

Soit  $L$  une feuille de  $\mathcal{F}|_{\mathcal{B}_D}$ . Comme par construction de  $\mathcal{B}_D$ ,  $L$  intersecte  $\partial\mathcal{B}_D$ , on peut considérer un point  $p \in L \cap \partial\mathcal{B}_D$ . Soit  $s$  la singularité de  $D$  associée à la composante  $\partial_p\mathcal{B}_D$  de  $\partial\mathcal{B}_D$  qui contient le point  $p$ . On distingue deux cas :

- si  $\lambda_s \in \mathbb{Q}_{<0}$  et  $s$  est linéarisable, alors la description finale de l'exemple 1.C. implique que  $L \cap \partial_p\mathcal{B}_D$  est incompressible dans  $\partial_p\mathcal{B}_D$  ;
- sinon, ou bien  $\lambda_s \notin \mathbb{Q}_{<0}$  auquel cas  $s$  est linéarisable d'après les hypothèses du théorème principal, ou bien  $s$  est une singularité résonante. Dans les deux cas,  $L \cap \partial_p\mathcal{B}_D \cong \mathbb{R}$  est simplement connexe, donc incompressible dans  $\partial_p\mathcal{B}_D$ .

En combinant l'incompressibilité de  $L \cap \partial_p\mathcal{B}_D$  dans  $\partial_p\mathcal{B}_D$  avec l'assertion (iv) et la transitivité de la relation  $\overset{1}{\underset{\mathcal{F}}{\dashrightarrow}}$  on obtient les relations

$$\{p\} \overset{1}{\underset{\mathcal{F}}{\dashrightarrow}} \partial_p\mathcal{B}_D \overset{1}{\underset{\mathcal{F}}{\dashrightarrow}} \mathcal{B}_D,$$

c'est à dire l'incompressibilité de  $L$  dans  $\mathcal{B}_D$ .

Effectuons une dernière réduction du problème en utilisant la relation  $\partial_0\mathcal{B}_D \overset{1}{\underset{\mathcal{F}}{\dashrightarrow}} \partial_0\mathcal{B}_\Sigma(D)$  : par transitivité, la propriété (iv) est impliquée par la proposition suivante :

**Proposition 4.1.6.** *Le bord de  $\mathcal{B}_\Sigma(D)$  est 1- $\mathcal{F}$ -connexe dans  $\mathcal{B}_\Sigma(D)$ , i.e.*

$$\partial\mathcal{B}_\Sigma(D) \overset{1}{\underset{\mathcal{F}}{\dashrightarrow}} \mathcal{B}_\Sigma(D).$$

Finalement, pour achever la preuve du théorème (3.2.2) il suffit de prouver (4.1.6). Le reste de ce chapitre est consacré à cette démonstration, mais il nous faut préalablement introduire quelques constructions auxiliaires.

**4.2. Constructions et descriptions auxiliaires.** Considérons l'application l'application

$$\sigma : \mathcal{B}^\# := \mathcal{B}_\Sigma(D) \longrightarrow D^\#$$

qui est égale à  $\sigma_{\mathfrak{M}_j}$  en restriction à chaque voisinage  $\mathcal{B}_\Sigma(\mathfrak{M}_j)$ ,  $j = k+1, \dots, n$  et à  $\pi_D$  ailleurs. Elle satisfait toutes les conditions des fibrations de Seifert, sauf peut-être la locale trivialité aux points de recollement, c'est à dire aux points de  $\Xi := (\partial D^* \cup \bigcup_{j=1}^k |\sigma_j|)$ . En fait, comme chaque fibre de  $\sigma_D$  est étoilée,  $\sigma$  est une pseudo-fibration (de Seifert) singulière dans  $\Xi$  dans le sens suivant :



**Définition 4.2.1.** *Nous dirons qu'une submersion surjective entre deux variétés différentiables  $\pi : E \rightarrow B$  est une **pseudo-fibration (de Seifert) singulière dans  $S \subset B$** , s'il existe  $E' \subset E$  tel que la restriction  $\pi|_{E'} : E' \rightarrow B$  est une fibration de Seiffert dont aucune fibre singulière n'est contenue dans  $S$ , s'il existe une rétraction par déformation de  $E$  sur  $E'$  donnée par une homotopie qui commute avec  $\pi$  et si de plus  $E'$  et  $E$  coïncident au dessus du complémentaire d'un voisinage ouvert de  $S$  dans  $B$ , que l'on peut choisir arbitrairement petit.*

**A. Revêtement ramifié adapté à la pseudo-fibration.** Nous allons définir un revêtement ramifié qui trivialisera  $\sigma$  au voisinage de la fibre singulière. Il est bien connu que la base  $D^\sharp$  de  $\sigma$  admet une structure d'orbifold ayant comme points de ramification  $s_{k+1}, \dots, s_n$  d'ordres respectifs  $p_{k+1}, \dots, p_n$ . D'où l'isomorphisme

$$\pi_1^{\text{orb}}(D^\sharp) = \langle a_0, \dots, a_n \mid \prod_{i=0}^n a_i = 1, a_j^{p_j} = 1, j = k+1, \dots, n \rangle \cong \pi_1(D^*)/\mathcal{K},$$

où  $\mathcal{K}$  est le sous-groupe normal de  $\pi_1(D^*) = \langle a_0, \dots, a_n \mid \prod_{i=0}^n a_i = 1 \rangle$  engendré

par les éléments  $a_j^{p_j}, j = k+1, \dots, n$ . Soit  $\rho^* : \widehat{D}^* \rightarrow D^*$  le revêtement associé à  $\mathcal{K}$ . Il existe une extension  $\rho : \widehat{D} \rightarrow D^\sharp$  de  $\rho^*$  qui est un revêtement ramifié d'ordre  $p_j$  au dessus de  $s_j$ , pour  $j = k+1, \dots, n$ . Remarquons que  $\widehat{D}$  est simplement connexe car  $\rho^*$  déroule tous les lacets de  $D^*$  sauf les lacets  $a_j^{p_j}$  et par construction ces derniers bordent des disques dans  $\widehat{D}$ . Considérons le pull-back  $\widehat{\mathcal{B}} := \widehat{D} \times_{(\rho, \sigma)} \mathcal{B}^\sharp$  de la pseudo-fibration de Seiffert par  $\rho : \widehat{D} \rightarrow D^\sharp$ , défini par le diagramme cartésien :

$$\begin{array}{ccc} \widehat{\mathcal{B}} & \xrightarrow{\widehat{\rho}} & \mathcal{B}^\sharp \\ \widehat{\sigma} \downarrow & & \sigma \downarrow \\ \widehat{D} & \xrightarrow{\rho} & D^\sharp \end{array}$$

Visiblement  $\widehat{\sigma} : \widehat{\mathcal{B}} \rightarrow \widehat{D}$  n'a pas de fibres singulière. On verra dans le paragraphe suivant que  $\widehat{D}$  est contractile et que par conséquent  $\widehat{\sigma}$  est une pseudo-fibration triviale, dans un sens clair.

**B. Graphe adapté au revêtement ramifié précédent.** Afin d'unifier les notations nous écrirons

$$\mathcal{F}^\sharp = \widetilde{\mathcal{F}}|_{\mathcal{B}^\sharp} \quad \text{et} \quad \widehat{\mathcal{F}} = \widehat{\rho}^* \mathcal{F}^\sharp.$$

Soient  $P_0 \in D^\circ$  et  $P_j \in |\sigma_j| \cap D^*$ ,  $j = 1, \dots, k$ . On notera aussi  $P_j = s_j$  si  $j = k+1, \dots, n$ . Considérons des chemins réguliers simples (analytiques)  $\tau_j : [0, 1] \rightarrow D^\sharp$ ,  $j = -k, \dots, -1, 1, \dots, n$  tels que, si on désigne par  $]\tau_j[$  l'image de  $\tau_j$  privée de ses extrémités, les propriétés suivantes sont satisfaites :

- $\tau_j(0) = P_0$  et  $\tau_j(1) = P_j$  ;
- $]\tau_j[ \subset D^\circ$  ;
- $]\tau_j[ \cap ]\tau_\ell[ = \emptyset$  si  $j \neq \ell$  ;
- $\text{ind}_{s_j}(\tau_\ell \cdot \tau_{-\ell}^{-1}) = \delta_{j\ell}$  si  $1 \leq j, \ell \leq k$ .

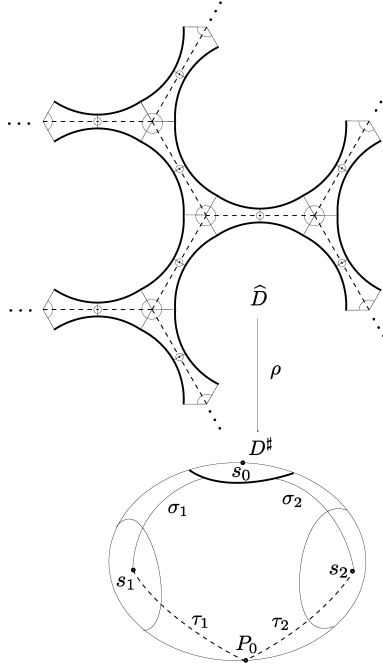


FIG. 3. Le revêtement ramifié  $\rho : \widehat{D} \rightarrow D^\sharp$ , pour  $k = 0$ ,  $n = 2$ ,  $p_1 = 2$ ,  $p_2 = 3$ . Les graphes  $\mathcal{G}$  et  $\widehat{\mathcal{G}}$  sont en pointillé.

Considérons la structure de graphe combinatoire  $\mathcal{G}$  définie sur l'ensemble

$$|\mathcal{G}| = \bigcup_{j=-k}^n |\tau_j|$$

en décrétant que ses sommets sont les points  $P_0, P_1, \dots, P_n$  et ses arêtes les courbes  $|\tau_j|$ . Nous laissons au lecteur le soin de prouver le lemme suivant, à l'aide d'un champ de vecteur approprié par exemple.

**Lemme 4.2.2.** *Il existe une rétraction par déformation  $q : D^\sharp \rightarrow |\mathcal{G}|$  telle que  $q(|\sigma_j|) = \{P_j\}$ ,  $j = 1, \dots, n$  et telle que la restriction de  $q$  à chaque composante connexe de*

$$\partial D^\sharp \setminus \{\sigma_1(0), \dots, \sigma_k(0), \sigma_1(1), \dots, \sigma_n(1)\}$$

*est injective.*

Relevons cette rétraction par  $\rho$ , c'est à dire considérons l'unique rétraction par déformation  $\widehat{q} : \widehat{D} \rightarrow |\widehat{\mathcal{G}}| := \rho^{-1}(|\mathcal{G}|)$  qui vérifie la relation de commutation  $\rho \circ \widehat{q} = \widehat{q} \circ \rho$ . Il existe un unique graphe combinatoire  $\widehat{\mathcal{G}}$  dont  $|\widehat{\mathcal{G}}|$  est la représentation géométrique et telle que  $\rho$  est la représentation géométrique d'un revêtement de graphes  $\widehat{\mathcal{G}} \rightarrow \mathcal{G}$ . Comme  $\widehat{D}$  est simplement connexe,  $\widehat{\mathcal{G}}$  est un arbre et  $\widehat{D}$  est contractile.

**C. Description des feuilles de  $\widehat{\mathcal{F}}$ .** Appelons **plaque de  $\widehat{D}$**  l'adhérence dans  $\widehat{D}$  de toute composante connexe de l'image réciproque

$$\rho^{-1} \left( D^\# \setminus \bigcup_{j=1}^n |\sigma_j| \right) \subset \widehat{D}.$$

Appelons **partie sécable** d'une plaque  $\mathcal{M}$  de  $\widehat{D}$  toute composante connexe de l'ouvert

$$\rho^{-1} \left( \bigcup_{j=k+1}^n D_{s_j} \right) \cap \mathcal{M}.$$

Appelons **sous-plaque de la plaque  $\mathcal{M}$** , toute différence  $\mathcal{N} := \mathcal{M} \setminus \mathcal{S}$ , où  $\mathcal{S}$  est une union non-vidée de parties sécables de  $\mathcal{M}$ . La plaque  $\mathcal{M} \supset \mathcal{N}$  sera dite **plaque associée à la sous-plaque  $\mathcal{N}$**  et sera notée  $\mathcal{N}^c$ . Remarquons que l'on a :

$$(18) \quad \widehat{q}(\mathcal{N}) = \widehat{q}(\mathcal{N}^c), \quad \widehat{q}^{-1}(\widehat{q}(\mathcal{N})) = \mathcal{N}^c \quad \text{et} \quad \mathcal{N}^c \cap \partial \widehat{D} = \mathcal{N} \cap \partial \widehat{D}.$$

Appelons maintenant **plaque d'une feuille  $\widehat{L}$**  de  $\widehat{\mathcal{F}}$ , toute composante connexe  $\mathcal{M}'$  de l'image réciproque par  $\widehat{\sigma}$  d'une plaque  $\mathcal{M} \subset \widehat{D}$ .

**Lemme 4.2.3.** *La restriction de  $\widehat{\sigma}$  à une plaque de  $\widehat{L}$  est injective et son image est une plaque ou bien une sous-plaque de  $\widehat{D}$ .*

*Démonstration.* L'holonomie autour du point d'attache d'une branche morte n'est jamais l'identité, i.e.  $p_j > 1$  pour tout  $j = k+1, \dots, n$ , cf. [11].  $\square$

Si l'image par  $\widehat{\sigma}$  d'une plaque  $\mathcal{M}'$  de  $\widehat{L}$  est une sous-plaque, nous dirons que  $\mathcal{M}'$  est une **petite plaque**.

Considérons une composante connexe  $\Gamma$  de  $\widehat{L} \cap (\rho \circ \widehat{\sigma})^{-1}(\partial D_{s_j})$ ,  $j = k+1, \dots, n$ . Une et une seule des deux éventualités suivante est réalisée :

- (1)  $\Gamma$  est un cercle ; alors  $\Gamma \subset \overset{\circ}{\widehat{L}}$  borde un disque dans  $\widehat{L}$  et la restriction de  $\widehat{\sigma}$  à  $\Gamma$  est injective,
- (2)  $\Gamma$  est un segment ; alors  $\Gamma$  est contenu dans  $\partial \widehat{L}$ , il existe des petites plaques  $\mathcal{N}_1, \dots, \mathcal{N}_r$ ,  $r < p_j$ , deux à deux distinctes telles que :  $\Gamma = \Gamma_1 \cup \dots \cup \Gamma_r$ ,  $\Gamma_j \subset \partial \mathcal{N}_j$ ,  $\#(\Gamma_j \cap \Gamma_{j+1}) = 1$ ,  $\Gamma_k \cap \Gamma_l = \emptyset$  si  $|k-l| \neq 1$ , et la restriction de  $\widehat{\sigma}$  à  $\bigcup_{j=1}^r \mathcal{N}_j$  est injective.

Dans l'éventualité (2), nous appellerons **pièce associée à  $\Gamma$**  l'ensemble

$$\mathcal{P}(\Gamma) := \overline{\bigcup_{j=1}^r (\widehat{\sigma}(\mathcal{N}_j)^c \setminus \widehat{\sigma}(\mathcal{N}_j))}$$

Remarquons que  $\mathcal{P}(\Gamma)$  est un secteur du disque  $\rho^{-1}(D_{s_j})$  pour un  $j \in \{k+1, \dots, n\}$  approprié. Il est ainsi clair que  $\widehat{\sigma}(\Gamma)$  (qui est homéomorphe à  $\Gamma$ ), est un rétracte par déformation de  $\mathcal{P}(\Gamma)$ .

Notons  $(\Gamma_\alpha)_{\alpha \in \mathfrak{A}}$  la collection des composantes  $\Gamma$  du type (2). Nous appelons **complété de la feuille  $\widehat{L}$**  et le quotient

$$\widehat{L}^c := \left( \widehat{L} \cup \bigsqcup_{\alpha \in \mathfrak{A}} \mathcal{P}(\Gamma_\alpha) \right) / \approx$$

où  $\sqcup$  est le symbole de l'union disjointe et  $\approx$  est la relation d'équivalence suivante :

- (a) Si  $a \in \widehat{L}$  et  $b \in \mathcal{P}(\Gamma_\alpha)$ , alors  $a \approx b$  ssi  $a \in \Gamma_\alpha$  et  $b = \widehat{\rho}(a)$
- (b)  $a \in \mathcal{P}(\Gamma_\alpha)$  est équivalent à  $b \in \mathcal{P}(\Gamma_\beta)$  ssi  $\alpha = \beta$  et  $a = b$ .

**Remarque 4.2.4.**  $\widehat{L}$  se plonge proprement sur un fermé de  $\widehat{L}^c$  qui est un rétract par déformation de  $\widehat{L}^c$ . Considérons donc désormais  $\widehat{L}$  comme un sous-ensemble de  $\widehat{L}^c$ . La restriction  $\widehat{\sigma}_{\widehat{L}}$  de l'application  $\widehat{\sigma}$  à  $\widehat{L}$  se prolonge à  $\widehat{L}^c$  en une application, notée  $\widehat{\sigma}_{\widehat{L}}^c$ , dont l'image est l'union des plaques de  $\widehat{D}$  qui intersectent  $\widehat{\rho}(\widehat{L})$ . Ce prolongement est un difféomorphisme local : plus précisément, sa restriction à chaque composante connexe de l'image réciproque  $(\widehat{\sigma}_{\widehat{L}}^c)^{-1}(\mathcal{M})$  d'une plaque  $\mathcal{M}$  de  $\widehat{D}$  est un difféomorphisme sur  $\mathcal{M}$ . En effet, avec les notations de l'éventualité (2), on voit que la restriction de  $\widehat{\sigma}_{\widehat{L}}^c$  à  $\mathcal{P}(\Gamma) \cup \bigcup_{j=1}^r \mathcal{N}_j$  est un difféomorphisme sur l'union des plaques  $\bigcup_{j=1}^r \widehat{\sigma}(\mathcal{N}_j)^c$ .

Nous appellerons **plaque de  $\widehat{L}^c$**  toute composante connexe de  $(\widehat{\sigma}_{\widehat{L}}^c)^{-1}(\mathcal{M})$ , où  $\mathcal{M}$  est une plaque de  $\widehat{D}$ .

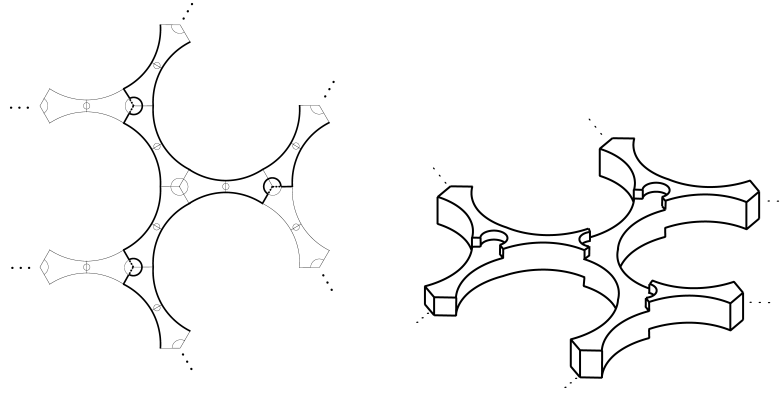


FIG. 4. La feuille  $\widehat{L}$  et la feuille complétée  $\widehat{L}^c$  vues comme réunion de plaques. Image symbolique de  $\widehat{\mathcal{B}}^\sharp$ .

**Lemme 4.2.5.**  $\widehat{\sigma}_{\widehat{L}}^c : \widehat{L}^c \rightarrow \widehat{D}$  est injective et  $\widehat{L}^c$  ainsi que  $\widehat{L}$  sont contractiles.

**Sous-Lemme 4.2.6.** Soit  $h : \mathcal{G} \rightarrow \mathcal{A}$  un morphisme localement injectif d'un graphe connexe  $\mathcal{G}$  dans un arbre  $\mathcal{A}$ , i.e. la restriction de  $h$  à l'étoile  $\text{star}(s)$  de chaque sommet  $s$  de  $\mathcal{G}$  est injective. Alors  $\mathcal{G}$  est un arbre et  $h$  est injective.

*Preuve.* En considérant une exhaustion de  $\mathcal{A}$  par des parties connexes finies, on peut supposer que  $\mathcal{A}$  est un arbre fini. On raisonne alors par récurrence sur le nombre de sommets de  $\mathcal{A}$ . Si  $\mathcal{A}$  n'a qu'un seul sommet alors  $\mathcal{G}$  aussi. Ainsi  $\mathcal{G}$  est un arbre et  $h$  est injectif. Sinon, il existe un sommet d'extrémité  $s'$  de  $\mathcal{A}$ . Comme  $h$  est localement injectif, tout  $s \in h^{-1}(s')$  est un sommet

d'extrémité de  $\mathcal{G}$ . Si on enlève les sommets d'extrémités et leurs arêtes adjacentes aux graphes  $\mathcal{A}$  et  $\mathcal{G}$ , on obtient un nouveau morphisme localement injectif  $h' : \mathcal{G}' \rightarrow \mathcal{A}'$ , où  $\mathcal{A}'$  est un arbre avec un sommet de moins que  $\mathcal{A}$  et  $\mathcal{G}'$  est toujours connexe.  $\square$

*Preuve du lemme (4.2.5).* Soit  $|\mathcal{G}_{\widehat{L}}|$  la pré-image par  $\widehat{\sigma}_{\widehat{L}}^c$  de  $|\widehat{\mathcal{G}}|$ . Comme  $\widehat{\sigma}_{\widehat{L}}^c$  est un difféomorphisme local, cf. (4.2.3), il existe un graphe combinatoire  $\mathcal{G}_{\widehat{L}}$  dont  $|\mathcal{G}_{\widehat{L}}|$  est la représentation géométrique et un morphisme localement injectif  $h : \mathcal{G}_{\widehat{L}} \rightarrow \mathcal{G}$  dont la représentation géométrique  $|h|$  est égale à la restriction de  $\widehat{\sigma}_{\widehat{L}}^c$  à  $|\mathcal{G}_{\widehat{L}}|$ . Or  $|\mathcal{G}_{\widehat{L}}|$  est l'image par la rétraction  $\widehat{q}$  de la feuille complétée  $\widehat{L}^c$  qui elle, est connexe. On en déduit que  $\mathcal{G}_{\widehat{L}}$  est un graphe connexe. D'autre part, on a déjà remarqué que  $\widehat{\mathcal{G}}$  est un arbre. Le sous-lemme (4.2.6) implique que  $h$  est injectif et que  $\mathcal{G}_{\widehat{L}}$  est un arbre. Ainsi  $\widehat{L}^c$ , qui se rétracte sur  $|\widehat{\mathcal{G}}|$ , est contractile et  $|h|$  est injectif. En utilisant de nouveau (4.2.3), l'injectivité locale de  $\widehat{\sigma}_{\widehat{L}}^c$  donne l'injectivité de  $\widehat{\sigma}_{\widehat{L}}^c$ . D'autre part la contractibilité de  $\widehat{L}$  résulte directement de celle de  $\widehat{L}^c$ , ce qui achève la démonstration.  $\square$

**Lemme 4.2.7.** *La restriction de la rétraction  $\widehat{q}$  à toute composante connexe  $H$  de  $\partial\widehat{D}$  est injective et  $H \cong \mathbb{R}$ .*

*Preuve.* Il découle du lemme (4.2.2) que la restriction de  $\widehat{q}$  à l'intersection de  $H$  et d'une plaque de  $\widehat{D}$  est injective. Ainsi il existe un graphe combinatoire  $\mathcal{H}$  dont  $H$  est la représentation géométrique et un morphisme localement injectif  $\widehat{q}_{\mathcal{H}} : \mathcal{H} \rightarrow \widehat{\mathcal{G}}$  dont  $\widehat{q}$  est la représentation géométrique. Le sous-lemme (4.2.6) implique que  $\widehat{q}_{\mathcal{H}}$  est injectif et  $\mathcal{H}$  est un arbre. L'injectivité de  $\widehat{q}$  en découle. En fait  $H$  est une copie de  $\mathbb{R}$  car  $H$ , étant une composante du bord de la 2-variété  $\widehat{D}$ , est une 1-variété lisse.  $\square$

**Lemme 4.2.8.** *Le bord de  $\widehat{\mathcal{B}}$  est 0- $\widehat{\mathcal{F}}$ -connexe dans  $\widehat{\mathcal{B}}$ , i.e.  $\partial\widehat{\mathcal{B}} \xrightarrow[\widehat{\mathcal{F}}]{0} \widehat{\mathcal{B}}$ .*

*Preuve.* Considérons un chemin  $\widehat{a} : [0, 1] \rightarrow \partial\widehat{\mathcal{B}}$  dont les extrémités sont dans une feuille  $\widehat{L}$  de  $\widehat{\mathcal{F}}$  et montrons qu'il existe un chemin  $\widehat{c} : [0, 1] \rightarrow \partial\widehat{\mathcal{B}} \cap \widehat{L}$  de mêmes extrémités que  $\widehat{a}$ . Par définition, l'image de  $|\widehat{a}|$  par  $\widehat{\sigma}$  est contenue dans une seule composante connexe de  $\partial\widehat{D}$ . Celle-ci étant une copie de  $\mathbb{R}$  d'après (4.2.7), considérons le chemin géodésique  $\check{c}$  joignant dans  $\partial\widehat{D}$  les extrémités de  $\widehat{\sigma} \circ \widehat{a}$ . Le lemme (4.2.7) implique aussi que  $\widehat{q} \circ \check{c}$  est un chemin géodésique de  $|\widehat{\mathcal{G}}|$ . Ce chemin joint deux points de  $\widehat{q} \circ \widehat{\sigma}(\widehat{L})$ . Cet ensemble est connexe et, comme  $\widehat{\sigma}(\widehat{L})$  est une union de plaques ou de sous-plaques, il est d'après (18) la représentation géométrique d'un sous-arbre de  $\widehat{\mathcal{G}}$ . Ainsi  $|\widehat{q} \circ \check{c}|$  est nécessairement contenu dans  $\widehat{q} \circ \widehat{\sigma}(\widehat{L})$ . Toujours d'après (18) on a :  $\widehat{q}^{-1}(\widehat{q}(\widehat{\sigma}(\widehat{L}))) \cap \partial\widehat{D} = \widehat{\sigma}(\widehat{L}) \cap \partial\widehat{D}$ , cette égalité étant vraie pour toute union de plaques et de sous-plaques. Il vient l'inclusion :  $\check{c} \subset \widehat{\sigma}(\widehat{L})$ . D'après le lemme (4.2.5),  $\check{c}$  se relève dans  $\widehat{L}$  en un chemin  $\widehat{c}$  de mêmes extrémités que  $\widehat{a}$ .  $\square$

**4.3. Preuve de la proposition (4.1.6).** Pour montrer la 1- $\mathcal{F}^\sharp$ -connexité feuilletée de  $\partial\mathcal{B}^\sharp$  dans  $\mathcal{B}^\sharp$  fixons une feuille  $L^\sharp$  de  $\mathcal{F}^\sharp$  et considérons deux chemins de mêmes extrémités

$$a : [0, 1] \rightarrow \partial\mathcal{B}^\sharp \quad \text{et} \quad b : [0, 1] \rightarrow L^\sharp,$$

qui sont homotopes dans  $\mathcal{B}^\sharp$ . Dans  $L^\sharp$  on peut homotoper  $b$  à un chemin, qu'on continuera à noter  $b$ , ne passant pas par les disques conformes  $\sigma^{-1}(\overline{D}_{s_j}) \cap \widehat{L}^\sharp$ ,  $j = k+1, \dots, n$ ,

$$|a|, |b| \subset B^* = B^\sharp \setminus \bigcup_{j=k+1}^n \sigma^{-1}(\overline{D}_{s_j}).$$

Comme la restriction  $\widehat{\rho}|_{\widehat{\mathcal{B}}^*} : \widehat{\mathcal{B}}^* := \widehat{\rho}^{-1}(\mathcal{B}^*) \rightarrow \mathcal{B}^*$  est un revêtement, il existe des  $\widehat{\rho}$ -relèvements  $\widehat{a} : [0, 1] \rightarrow \partial\widehat{\mathcal{B}}$  et  $\widehat{b} : [0, 1] \rightarrow \widehat{L}$  de  $a$  et  $b$ , de même origine. Le lacet  $b^{-1}\vee a = \widehat{\rho}(\widehat{b}^{-1}\vee\widehat{a})$  est homotope dans  $\mathcal{B}^\sharp$  à un lacet constant et son image par  $\sigma$  est contenue dans l'ensemble  $D^*$ , cf. (12). D'après (4.1.2) et (17) on a les isomorphismes

$$\pi_1(\mathcal{B}^*)/\langle c \rangle \cong \pi_1^{\text{orb}}(D^\sharp) \cong \pi_1(D^*)/\mathcal{K}.$$

On dispose donc du diagramme commutatif

$$\begin{array}{ccc} \pi_1(\mathcal{B}^*) & \longrightarrow & \pi_1(\mathcal{B}^\sharp) \\ \downarrow & & \downarrow \\ \pi_1(D^*) & \longrightarrow & \pi_1(D^*)/\mathcal{K} \end{array}$$

dont les flèches horizontales sont le morphisme induit par l'inclusion  $\mathcal{B}^* \subset \mathcal{B}^\sharp$  et le morphisme de passage au quotient, les flèches verticales étant induites par  $\sigma$ . On voit ainsi que la classe d'homotopie de  $\sigma(b^{-1}\vee a)$  appartient à  $\mathcal{K}$  et donc  $\widehat{\sigma} \circ \widehat{a}$  et  $\widehat{\sigma} \circ \widehat{b}$  possèdent les mêmes extrémités. Par construction (pull-back) la restriction de  $\widehat{\rho}$  à toute fibre de  $\widehat{\sigma}$  est injective. Il en résulte que  $\widehat{a}$  et  $\widehat{b}$  ont mêmes extrémités.

Il suffit maintenant d'appliquer le lemme 4.2.8 pour trouver un chemin  $\widehat{c}$  tracé dans  $\widehat{L} \cap \partial\widehat{\mathcal{B}}$  de mêmes extrémités que  $\widehat{a}$  et  $\widehat{b}$ . En effet, comme d'après le lemme (4.2.5)  $\widehat{L}$  est contractile, les chemins  $\widehat{c}$  et  $\widehat{b}$  sont homotopes dans  $\widehat{L}$ . Leurs images  $c := \widehat{\rho} \circ \widehat{c}$  et  $b$  par  $\widehat{\rho}$  sont homotopes dans  $L$ . Ceci permet de conclure, car l'existence d'une homotopie dans  $\partial\mathcal{B}^\sharp$  reliant  $c$  à  $a$ , résulte de l'incompressibilité de  $\partial\mathcal{B}^\sharp$  dans  $\mathcal{B}^\sharp$ , déjà démontrée à l'étape 3.

## 5. BLOCS FEUILLETÉS ADAPTÉS ATTACHÉS À UNE SINGULARITÉ

Dans les exemples (2.2) nous avons donné des manières de construire des blocs feuilletés adaptables en un point  $s$  où le feuilletage est linéarisable. Considérons maintenant le cas où  $\mathcal{F}$  n'est pas linéarisable en  $s$ . D'après les hypothèses du théorème principal,  $\mathcal{F}$  est un col résonnant. Pour simplifier l'écriture nous notons  $x := x_s$  et  $y := y_s$  les coordonnées définies en (3.1) et nous identifions le sous-ensemble  $\{|x| < 1, |y| < 1\}$  au polydisque  $\mathbb{D} \times \mathbb{D}$  de

$\mathbb{C}^2$ , où  $\mathbb{D}$  désigne le disque unité  $\mathbb{D}(1) := \{|z| < 1\}$  de  $\mathbb{C}$ . Sur ce polydisque  $\mathcal{F}$  est défini par un champ de vecteur  $X$  qui s'écrit :

$$X = x \frac{\partial}{\partial x} - y(\lambda + xyA(x, y)) \frac{\partial}{\partial y}, \quad \lambda = \frac{p_0}{q_0} \in \mathbb{Q}_{>0}, \quad (p_0, q_0) = 1.$$

Nous allons d'abord donner la construction de voisinages des axes  $\{xy = 0\}$  de type "collier feuilletés". Ensuite, au paragraphe suivant, nous montrerons le théorème (3.2.2) d'existence de blocs adaptés pour  $\alpha = s$ , en admettant la proposition (5.1.3). Enfin les paragraphes (5.2)–(5.2) seront consacrés à la preuve de cette proposition.

### 5.1. Construction de colliers et réduction de la preuve de (3.2.2).

Pour  $t \in \mathbb{R}i$ , le flot  $\phi_t^X$  de  $X$  laisse invariant les cylindres  $\{|x| = c\}$ ,  $c \in \mathbb{R}_{>0}$ . De plus le difféomorphisme  $\phi_{2\pi i}^X$  laisse invariant chaque germe de droite  $(\{x\} \times \mathbb{C}, (x, 0))$  et, en restriction à ces droites, il est égal au germe d'holonomie de  $\mathcal{F}$  le long du lacet  $\theta \mapsto e^{i\theta}x$ ,  $\theta \in [0, 2\pi]$ . Fixons  $0 < \varepsilon_3 < 1$  tel que  $\phi_{it}^X(x, y)$  appartient à  $\overline{\mathbb{D}} \times \overline{\mathbb{D}}$  pour tout  $(x, y) \in \overline{\mathbb{D}} \times \overline{\mathbb{D}}(\varepsilon_3)$  et  $|t| \leq 2\pi$ .

Dans tout le texte nous notons :

$$(19) \quad \begin{aligned} C &:= \partial\mathbb{D} \times \{0\}, & \mathcal{I}_{\theta', \theta''} &:= \{(e^{i\theta}, 0) \mid \theta' \leq \theta \leq \theta''\} \subset C, \\ C' &:= \{0\} \times \partial\mathbb{D}, & \mathcal{I}'_{\theta', \theta''} &:= \{(0, e^{i\theta}) \mid \theta' \leq \theta \leq \theta''\} \subset C'. \end{aligned}$$

Soit  $\Delta \subset \{e^{i\theta_0}\} \times \mathbb{D}(\varepsilon_3)$  et  $\theta_0 < \theta_1 \leq \theta_0 + 2\pi$ . L'ensemble :

$$U_\Delta := \left\{ \phi_{it}^X(m) \mid m \in \Delta, 0 \leq t \leq \theta_1 - \theta_0 \right\} \subset \mathcal{I}_{\theta_0, \theta_1} \times \mathbb{D},$$

est appelé  **$\mathcal{F}$ -suspension de  $\Delta$  au dessus de  $\mathcal{I}_{\theta_0, \theta_1}$  (suivant la projection  $(x, y) \mapsto x$ ).**

**Définition 5.1.1.** *Nous dirons qu'un ensemble  $U \subset \partial\mathbb{D} \times \mathbb{D}$  est une  $\mathcal{F}$ -multi-suspension de longueur  $r$  au dessus de  $\mathcal{I}_{\theta_0, \theta_r}$ ,  $\theta_r \leq \theta_0 + 2\pi$ , s'il est égal à une union  $\bigcup_{j=0}^{r-1} U_j$  de  $\mathcal{F}$ -suspension  $U_j$  au dessus de  $\mathcal{I}_{\theta_j, \theta_{j+1}}$ , avec  $\theta_0 < \theta_1 < \dots < \theta_r$ .*

Il est clair qu'une multi-suspension au dessus de  $\mathcal{I}_{\theta_0, \theta_r}$  est un voisinage de  $\mathcal{I}_{\theta_0, \theta_r}$  dans  $\mathcal{I}_{\theta_0, \theta_1} \times \mathbb{D}$ , lorsque  $\Delta$  est un disque conforme ouvert contenant  $(e^{i\theta_0}, 0)$ . D'autre part, pour  $\varepsilon'_3 < 0$  assez petit, nous définissons de la même manière la notion de  **$\mathcal{F}$ -suspension ou de  $\mathcal{F}$ -multi-suspension au dessus de  $\mathcal{I}'_{\theta_0, \theta_1}$  suivant la projection  $(x, y) \mapsto y$** , d'un sous-ensemble  $\Delta'$  de  $\mathbb{D}(\varepsilon'_3)$ .

Considérons maintenant le champ

$$Y = x \left( \frac{p_0}{q_0} + xyA(x, y) \right)^{-1} \frac{\partial}{\partial x} - y \frac{\partial}{\partial y}.$$

Pour les temps  $t$  réel son flot  $\phi_t^Y$  laisse invariant les hyperplans réels  $\{\arg y = c\}$ ,  $c \in [0, 2\pi[$ . On sait, cf. [6] page 149, que si  $\varepsilon_4 > 0$  est assez petit, il existe une (unique) fonction analytique  $\tau : \overline{\mathbb{D}}(\varepsilon_4)^* \times \partial\mathbb{D} \rightarrow \mathbb{R}$ , telle que pour  $0 < |x| \leq \varepsilon_4$  et pour  $0 \leq \theta < 2\pi$  on a :

$$(i) \quad \phi_t^Y(x, e^{i\theta}) \in \mathbb{D}^* \times \mathbb{D}^* \text{ pour tout } t \in ]0, \tau(x, e^{i\theta})[,$$

- (ii)  $\phi_{\tau(x, e^{i\theta})}^Y(x, e^{i\theta}) \in \partial\mathbb{D} \times \mathbb{D}^*$ ,
- (iii) la distance entre  $\phi_{\tau(x, e^{i\theta})}^Y(x, e^{i\theta})$  et  $C$  tend uniformément vers 0 lorsque  $x$  tend vers 0.

Fixons désormais  $\varepsilon_4 > 0$  tel que ces propriétés soient vérifiées. Donnons nous aussi est un disque conforme fermé  $\Delta \subset \{e^{i\theta_0}\} \times \mathbb{D}(\varepsilon_3)$  de bord un lacet simple a. l. p. m. d'indice 1 autour de l'origine. Supposons que la taille  $\|\Delta\|_y$  définie en (7) est suffisamment petite pour que la suspension  $U_\Delta$  de  $\Delta$  au dessus du cercle  $C$  soit contenue dans l'image de l'application suivante :

$$\Psi : \overline{\mathbb{D}(\varepsilon_4)}^* \times \partial\mathbb{D} \longrightarrow \partial\mathbb{D} \times \overline{\mathbb{D}}^*, \quad \Psi(x, e^{i\theta}) := \phi_{\tau(x, e^{i\theta})}^Y(x, e^{i\theta}).$$

**Définition 5.1.2.** *Le plongement  $\Psi$  s'appellera application passage du col dans le sens  $x \rightarrow y$  et l'ensemble :*

$$\text{Col}(\Delta) := \{\phi_t^Y(m) / m \in \overline{\mathbb{D}(\varepsilon_4)}^* \times \partial\mathbb{D}, \Psi(m) \in U_\Delta, 0 \leq t \leq \tau(m)\},$$

*sera appelé  $\mathcal{F}$ -collier de gabarit  $\Delta$ .*

Il est clair que  $\text{Col}(\Delta) \cup Z$  est un voisinage fermé de  $Z := \{xy = 0\} \cap \mathbb{K}$  dans le polydisque fermé  $\mathbb{K} := \overline{\mathbb{D}} \times \overline{\mathbb{D}}$ . L'intersection  $\text{Col}(\Delta) \cap \partial\mathbb{K}$  est constitué exactement des deux composantes connexes suivantes :

$$U_\Delta^* := U_\Delta - C \quad \text{et} \quad V_\Delta^* := \Psi^{-1}(U_\Delta^*).$$

Visiblement on a :

$$(20) \quad V_\Delta := \overline{V_\Delta^*} = V_\Delta^* \cup C'$$

et cet ensemble est un voisinage de  $C'$  dans  $\mathbb{D}(\varepsilon_4) \times \partial\mathbb{D}$ . L'appellation ‘‘collier’’ est justifiée par le fait que **l'application de rectification**

$$(21) \quad R_\Delta : U_\Delta^* \times [0, 1] \longrightarrow \text{Col}(\Delta), \quad R_\Delta(m, t) := \phi_{-t \cdot \tau \circ \Psi^{-1}(m)}^Y(m),$$

est un difféomorphisme analytique réel qui conjugue le feuilletage produit  $\mathcal{F}|_{U_\Delta^*} \times [0, 1]$  au feuilletage  $\mathcal{F}|_{\text{Col}(\Delta)}$ . Visiblement  $R_\Delta$  est égale à l'identité en restriction à  $U_\Delta^* \times \{0\}$  et égale à  $\Psi^{-1}$  en restriction à  $U_\Delta^* \times \{1\}$ . Ainsi l'on a trivialement les relations de connexité feuilletée :

$$(22) \quad U_\Delta^* \overset{1}{\underset{\mathcal{F}}{\rightsquigarrow}} \text{Col}(\Delta) \quad \text{et} \quad V_\Delta^* \overset{1}{\underset{\mathcal{F}}{\rightsquigarrow}} \text{Col}(\Delta).$$

**Proposition 5.1.3.** *Il existe des constantes  $c_0, c > 0$  et une fonction  $\mathfrak{d} : \mathbb{R}_{\geq 0} \rightarrow \mathbb{R}_{\geq 0}$ ,  $\lim_{r \rightarrow 0} \mathfrak{d}(r) = 0$ , telles que, si  $\|\Delta\|_y$  et  $\mathbf{e}_y(\partial\Delta)$  sont tous  $\leq c_0$ , alors il existe un compact  $\Delta' \subset \mathbb{D} \times \{1\}$  vérifiant les assertions suivantes :*

- (1) le bord de  $\Delta'$  est un lacet simple analytique lisse par morceaux, d'indice 1 par rapport à l'origine,
- (2) la suspension  $U'_{\Delta'}$  de  $\Delta'$  au dessus de  $C'$  suivant la projection  $(x, y) \mapsto y$ , est contenue dans  $V_\Delta$ ,
- (3)  $U'_{\Delta'} := (U'_{\Delta'} - C')$  est 1- $\mathcal{F}$ -connexe dans  $V_\Delta^*$ ,
- (4)  $\mathbf{e}_x(\Delta') \leq \{\{\mathbf{e}_y(\Delta) + \mathfrak{d}(\|\Delta\|_x)\}\}$  et  $\|\Delta'\|_x \leq c\|\Delta\|_x^\lambda$ .

*Preuve du théorème (3.2.2) dans le cas  $\alpha = s \in \text{Sing}(\mathcal{F})$ .* Soit  $\varepsilon > 0$ . Traitons d'abord le cas où  $\mathcal{F}$  est linéarisable en  $s$ . Considérons les blocs  $\mathcal{B}_\alpha$  ou  $\mathcal{B}_{\eta, \kappa, \tau}$  que nous avons construit aux exemples (2.2). Dans le cas A choisissons

$$(23) \quad \Sigma_1 = \{x = x_0, |y| < \varepsilon_1\} \quad \text{et} \quad \Sigma_2 = \{y = y_0, |x| < \varepsilon_2\}$$



avec  $\epsilon_1 < \zeta/|x_0|$  et  $\epsilon_2 < \zeta/|y_0|$ . Ces blocs satisfont les assertions (1), (2) et (3) du théorème (3.2.2). Dans les trois cas A, B et C, leurs bords sont des suspension d'ensembles  $\Sigma_i$  du type (23) ci-dessus. Pour prouver l'assertion (4) il suffit de voir que la  $F$ -rugosité et la taille des  $\Sigma_i$  tend vers 0 lorsque  $\zeta$  tend vers 0. Cela découle de la proposition (2.3.3) avec  $g = F$ , car  $\mathbf{e}_y(\Sigma_1) = \mathbf{e}_x(\Sigma_2) = 0$ . Remarquons aussi que les deux bords peuvent être construits de manière complètement indépendante; ceci rend trivial la preuve des assertions (3') et (4').

Examinons maintenant le cas où  $\mathcal{F}$  est résonnant non-linéarisable en  $s$ . Appliquons la proposition (5.1.3) en choisissant  $\Sigma$  de  $F$ -rugosité nulle. On obtient un bloc  $\mathcal{F}$ -adaptable en posant  $\mathcal{B}_\alpha := \text{Col}(\Sigma) \cup U_\Sigma^* \cup U'_{\Sigma'}$ . L'assertion (1) du théorème (3.2.2) résulte directement de la construction. Les propositions (2.3.3) et (2.3.4) permettent de traduire les inégalités (4) de (5.1.3) en terme de  $F$ -rugosité. Il vient :

$$\mathbf{e}_F(\Sigma') \leq K_1 \|\Sigma\|_F, \quad \|\Sigma'\| \leq K_2 \|\Sigma\|_F^\lambda,$$

pour des constantes  $K_1, K_2$  appropriées. Ainsi, avec les notation du théorème (3.2.2),  $\mathbf{e}_F(U_\Sigma^*) = 0$  et  $\mathbf{e}_F(U'_{\Sigma'})$ ,  $\|U_\Sigma^*\|_F, \|U'_{\Sigma'}\|_F$  tendent encore vers 0 pour  $\|\Sigma\|_F \rightarrow 0$ ; ce qui prouve l'assertion (4). Les assertions (3') et (4') sont encore une retranscription de la proposition (5.1.3), en posant  $V_1 = V := U_\Sigma^*$ . Nous en laissons les détails au lecteur.  $\square$

## 5.2. Description de $V_\Delta$ et du procédé de rabotage. Notons

$$h := \phi_{2\pi i}^X |_{1 \times \mathbb{D}(\epsilon_3)}: \{1\} \times \mathbb{D}(\epsilon_3) \longrightarrow \{1\} \times \mathbb{C}$$

l'application d'holonomie de  $\mathcal{F}$  le long de  $\partial\mathbb{D} \times \{0\}$ . Si la rugosité de  $\partial\Delta$  est assez petite, les compacts  $\Delta$  et  $h(\Delta)$  sont étoilés. Ils sont distincts car  $h$  ne possède pas de domaine invariant. La “différence symétrique”

$$\Delta \Delta h(\Delta) := (\Delta - h(\overset{\circ}{\Delta})) \cup (h(\Delta) - \overset{\circ}{\Delta})$$

est une union de “lunules” délimitées par des courbes simples. Plus précisément nous avons une subdivision de  $[\theta_0, \theta_0 + 2\pi]$  :

$$(24) \quad \theta_0 < \theta_1 < \dots < \theta_q = \theta_0 + 2\pi, \quad q \geq 1,$$

et des courbes simples a.l.p.m. à valeur dans  $\partial\Delta \cup h(\partial\Delta)$ ,

$$\gamma_j(\theta) = \rho_j(\theta) e^{i\theta}, \quad \tilde{\gamma}_j(\theta) = \tilde{\rho}_j(\theta) e^{i\theta}, \quad 0 < \rho_j(\theta) \leq \tilde{\rho}_j(\theta), \quad \theta \in I_j := [\theta_{j-1}, \theta_j],$$

avec  $j = 1, \dots, q$ , vérifiant :

$$(25) \quad \begin{aligned} \gamma_j(\theta_{j-1}) &= \tilde{\gamma}_j(\theta_{j-1}) = \gamma_{j-1}(\theta_j) = \tilde{\gamma}_{j-1}(\theta_j), \quad j = 1, \dots, q, \\ \gamma_1(\theta_0) &= \tilde{\gamma}_1(\theta_0) = \gamma_q(\theta_q) = \tilde{\gamma}_q(\theta_q) ., \end{aligned}$$

et telles que  $\Delta \Delta h(\Delta)$  est l'union des **lunules** :

$$(26) \quad \mathcal{L}_j = \{r e^{i\theta} / \theta \in I_j, \rho_j(\theta) \leq r \leq \tilde{\rho}_j(\theta)\}, \quad j = 1, \dots, q.$$

Eventuellement  $\mathcal{L}_j$  peut être réduit à l'image  $\text{Im}(\gamma_j)$  de  $\gamma_j$ , si  $\gamma_j \equiv \tilde{\gamma}_j$ , et dans ce cas **l'intérieur de  $\mathcal{L}_j$**

$$\overset{\circ}{\mathcal{L}}_j := \{r e^{i\theta} / \theta \in I_j, \rho_j(\theta) < r < \tilde{\rho}_j(\theta)\}$$

est vide. Quitte à modifier la subdivision, nous supposons qu'il existe un sous-ensemble d'indice  $\mathfrak{K}$  tel que :

$$\overset{\circ}{\mathcal{L}}_k \neq \emptyset \quad \text{pour } k \in \mathfrak{K} \quad \text{et} \quad \gamma_j \equiv \tilde{\gamma}_j \quad \text{pour } k \notin \mathfrak{K}$$

Le bord de  $\Delta$  est une concaténation  $\mu_1 \vee \cdots \vee \mu_q$  avec :  $\mu_j = \gamma_j$  ou bien  $\mu_j = \tilde{\gamma}_j$ . Il en est de même du bord de  $h(\Delta)$ . Comme l'holonomie ne possède pas de domaine invariant, on ne peut pas avoir  $\gamma_j \equiv \tilde{\gamma}_j$  pour tout  $j$  et il existe des lunules d'intérieur non-vide.

L'holonomie  $h$  vérifie aussi  $h(\Delta) \not\subset \Delta$  et  $\Delta \not\subset h(\Delta)$ . Il en résulte

$$\#\mathfrak{K} \geq 2.$$

Nous pouvons décomposer le bord de  $U_\Delta$  en l'union disjointe

$$\partial U_\Delta = \mathcal{L} \cup \partial^{\text{sat}} U_\Delta$$

avec  $\mathcal{L} := \bigcup_{k \in \mathfrak{K}} \mathcal{L}_k$  et  $\partial^{\text{sat}} U_\Delta$  désignant l'ouvert de  $\partial U_\Delta$  constitué des points  $m$  satisfaisant la **propriété de saturation** suivante :

- ( $\star$ ) *Il existe un voisinage  $W_m$  de  $m$  et  $\varepsilon_m > 0$  tel que  $\phi_{it}^X(m') \in \partial U_\Delta$  pour tout  $m' \in W_m \cap \partial U_\Delta$  et tout  $|t| < \varepsilon_m$ .*

Nous dirons que  $m$  est un **point de saturation générique de  $U_\Delta$  pour  $\mathcal{F}|_{U_\Delta}$** . Visiblement on a :

$$\partial \mathcal{L} = \partial(\overline{\partial^{\text{sat}} U_\Delta}) = \bigcup_{k \in \mathfrak{K}} (\text{Im}(\gamma_k) \cup \text{Im}(\tilde{\gamma}_k)),$$

Remarquons que les **lunules dégénérées** époinçées de leurs extrémités

$$\overset{\circ}{\mathcal{L}}_j := \{\gamma_j(\theta) \mid \theta_{j-1} < \theta < \theta_j\}, \quad j \notin \mathfrak{K},$$

sont contenues dans  $\partial^{\text{sat}} U_\Delta$ . D'autre part les points  $m$  de

$$\overset{\circ}{\mathcal{L}} := \bigcup_{j \in \mathfrak{K}} \overset{\circ}{\mathcal{L}}_j$$

sont caractérisés par la propriété suivante :

- ( $\star\star$ ) *L'une des assertions suivantes est satisfaite pour  $t > 0$  assez petit :*

- (a)  $\phi_{it}^X(m) \in \overset{\circ}{U}_\Delta$  et  $\phi_{-it}^X(m) \notin \overset{\circ}{U}_\Delta$ ,  
(b)  $\phi_{-it}^X(m) \in \overset{\circ}{U}_\Delta$  et  $\phi_{it}^X(m) \notin \overset{\circ}{U}_\Delta$ .

Nous dirons que  $m$  est un **point de non-saturation générique de  $U_\Delta$** .

**Remarque 5.2.1.** Il est clair que pour chaque  $\overset{\circ}{\mathcal{L}}_j$ ,  $j \in \mathfrak{K}$ , une seule des deux éventualités (a) ou (b) est réalisée en tout point.

Le difféomorphisme  $\mathbb{R}$ -analytique  $\Psi^{-1}$  définie en (5.1.2) conjugue les restrictions de  $\mathcal{F}$  à  $\overline{\mathbb{D}}(\varepsilon_4)^* \times \partial \mathbb{D}$  et à  $\partial \mathbb{D} \times \overline{\mathbb{D}}^*$ . Ainsi il vérifie

$$\Psi^{-1}(\partial U_\Delta) = \partial V_\Delta \quad \text{et} \quad \Psi^{-1}(\partial^{\text{sat}} U_\Delta) = \partial^{\text{sat}} V_\Delta,$$

où  $\partial^{\text{sat}} V_\Delta$  est défini par la propriété de saturation analogue à la propriété ( $\star$ ) mais relativement au champ  $Y$  et à l'ensemble  $\partial V_\Delta$ . Comme  $\Psi$  laisse invariant les hyperplans  $\{\arg y = c\}$ ,  $c \in \mathbb{R}_{>0}$ , les restriction de  $\Psi^{-1}$  induisent des difféomorphismes

$$U_\Delta^* \cap (\partial \mathbb{D} \times \{\arg y \in I_k\}) \xrightarrow{\sim} V_\Delta^* \cap \mathcal{T}(I_k),$$

où  $\mathcal{T}(I_k)$  désigne le “3-tube”  $\mathcal{T}(I_k) := \overline{\mathbb{D}}(\varepsilon_4)^* \times \{e^{i\theta} / \theta \in I_k\}$ . Ainsi chaque image réciproque  $\Psi^{-1}(\mathcal{L}_k)$ ,  $k \in \mathfrak{K}$ , est contenue dans  $\mathcal{T}(I_k)$ . On a la décomposition :

$$\partial V_\Delta = \mathcal{L}' \sqcup \partial^{\text{sat}} V_\Delta, \quad \text{avec} \quad \mathcal{L}' := \bigcup_{k \in \mathfrak{K}} \mathcal{L}'_k, \quad \mathcal{L}'_k := \Psi^{-1}(\mathcal{L}_k).$$

De même les points intérieurs de  $\mathring{\mathcal{L}}' = \Psi^{-1}(\mathring{\mathcal{L}})$  sont caractérisés par l’analogie pour  $Y$  et  $\partial V_\Delta$  de la propriété  $(\star\star)$ .

Pour tout sous-ensemble  $\Omega$  de  $\mathbb{C} \times \partial\mathbb{D}$ , ou de  $\partial\mathbb{D} \times \mathbb{C}$ , pour  $I \subset \mathbb{R}$ , et pour  $\theta \in \mathbb{R}$ , nous adoptons maintenant les notations suivantes :

$$(27) \quad \Omega(I) := \Omega \cap \{\arg y \in I\}, \quad \Omega(\theta) := \Omega \cap \{\arg y = \theta\}.$$

Fixons  $1 \leq k \leq q$  et considérons maintenant les restrictions de  $\mathcal{F}$  aux ensembles  $V_\Delta(I_k)$ . Visiblement on a :

$$\left(\partial(V_\Delta(I_k))\right)(\mathring{I}_k) = (\partial V_\Delta)(\mathring{I}_k) = \left(\Psi^{-1}(\partial U_\Delta)\right)(\mathring{I}_k) = \Psi^{-1}\left((\partial U_\Delta)(\mathring{I}_k)\right)$$

Supposons d’abord  $k \notin \mathfrak{K}$ . On a l’égalité  $(\partial U_\Delta)(\mathring{I}_k) = (\partial^{\text{sat}} U_\Delta)(\mathring{I}_k)$ . Comme  $\Psi$  préserve la propriété de saturation générique, les égalités ci-dessus donnent :

$$(\partial V_\Delta)(\mathring{I}_k) = (\partial^{\text{sat}} V_\Delta)(\mathring{I}_k), \quad k \notin \mathfrak{K}.$$

Ainsi dans ce cas, chaque feuille est une courbe simple dont l’une des extrémités est située sur  $V_\Delta(\theta_{j-1})$ , l’autre extrémité étant située sur  $V_\Delta(\theta_j)$ . D’où :

**Remarque 5.2.2.** L’ensemble  $V_\Delta(I_k)$  est une suspension au dessus de  $I_k$ , pour  $k \notin \mathfrak{K}$ .

Supposons maintenant  $k \in \mathfrak{K}$ . Le même raisonnement montre que les extrémités des feuilles de  $\mathcal{F}|_{V_\Delta(I_k)}$  sont situées sur  $\mathcal{L}'_j \cup V_\Delta(\theta_{k-1}) \cup V_\Delta(\theta_k)$ .

**Lemme 5.2.3.** *Il n’existe pas de feuille de  $\mathcal{F}|_{V_\Delta(I_k)}$  dont les deux extrémités sont situées sur  $\mathring{\mathcal{L}}'_k$ .*

*Preuve.* Raisonnons par contraposée. Une feuille  $L' \in \mathcal{F}|_{V_\Delta(I_k)}$  telle que  $\partial L' \subset \mathring{\mathcal{L}}'_k$  est l’image inverse par  $\Psi$  d’une partie connexe d’une feuille de  $\mathcal{F}|_{U_\Delta}$ , qui est paramétrisée par  $t \mapsto \phi_{it}^X(m)$ ,  $t \in [0, 2\pi]$  et telle que  $m$  et  $\phi_{i2\pi}(m)$  appartienne à  $\mathcal{L}_k \cap \{\arg y \neq \theta_k, \theta_{k+1}\}$ . Mais ceci est impossible d’après (5.2.1).  $\square$

**Remarque 5.2.4.** Chaque feuille de  $\mathcal{F}|_{V_\Delta(I_k)}$ ,  $k \in \mathfrak{K}$ , dont l’une des extrémités  $m$  est située sur  $\mathring{\mathcal{L}}'_k$  a son autre extrémité, que nous notons  $l_k(m)$ , située sur  $V(\theta_k)$  ou sur  $V(\theta_{k-1})$ . Par un argument de continuité on voit qu’il existe  $\theta_+(k) \in \{\theta_{k-1}, \theta_k\}$  tel que  $l_k(m) \in V_\Delta(\theta_+(k))$ , pour tout  $m \in \mathring{\mathcal{L}}'_k$ . Par extension on obtient une application analytique réelle  $l_k : \mathring{\mathcal{L}}'_k \rightarrow V(\theta_+(k))$ ,  $m \mapsto l_k(m)$ . Toutes feuilles de  $\mathcal{F}|_{V_\Delta(I_k)}$  qui n’intersectent pas

$\mathcal{L}'_k$  ont une de leurs extrémités située sur  $V(\theta_k)$  et l'autre sur  $V(\theta_{k-1})$ . Finalement on obtient une application  $\mathbb{R}$ -analytique “de transport holonome” que nous notons encore  $l_k$

$$l_k : V_\Delta(I_k) \longrightarrow V_\Delta(\theta_+(k)), \quad \{l_k(m)\} := L_k(m) \cap V_\Delta(\theta_+(k)),$$

avec  $L_k(m)$  désignant la feuille de  $\mathcal{F}|_{V_\Delta(I_k)}$  qui contient le point  $m$ .

Considérons un intervalle  $I = [\theta', \theta'']$ ,  $0 < \theta'' - \theta' \leq 2\pi$  et un sous-ensemble connexe fermé  $\Omega$  de  $\mathbb{D} \times \partial\mathbb{D}$  dont l'image par la projection  $(x, y) \mapsto y$  est l'arc de cercle  $\mathcal{I} := \{(e^{i\theta}, 0) \mid \theta \in I\}$ . Nous supposons que  $\mathcal{F}|_\Omega$  est un feuilletage en courbes lisses réelles. Considérons le sous-ensemble  $\Omega^0 \subset \Omega$  des points  $m$  qui sont intérieurs à  $\Omega$  pour la topologie feuilletée, i.e. il existe  $\epsilon_m > 0$  tel que  $\phi_{it}^Y(m) \in \Omega$  pour  $-\epsilon_m \leq t \leq \epsilon_m$ . Notons

$$\partial_{\mathcal{F}}\Omega := \Omega \setminus \Omega^0 \quad \text{et} \quad \Omega^\Delta := \Omega \setminus (\Omega(\theta') \cup \Omega(\theta'')) = \overset{\circ}{\Omega}(I).$$

**Définition 5.2.5.** *Nous appelons **raboté de**  $\Omega$  au dessus de  $I$  l'ensemble :*

$$\text{Rab}_I(\Omega) := \overline{\Omega^\Delta \setminus \text{Sat}\left(\partial_{\mathcal{F}}\Omega \setminus (\Omega(\theta') \cup \Omega(\theta'')), \Omega^\Delta\right)}.$$

Visiblement  $\text{Rab}_I(\Omega)$  est visiblement une suspension (cf. (5.1.1)) au dessus de  $\mathcal{I}$  pour la projection  $(x, y) \mapsto y$ , si  $\theta'' - \theta' < 2\pi$ . C'est en fait le plus grand<sup>1</sup> sous-ensemble de  $\Omega$  de type suspension au dessus de  $\mathcal{I}$ . Pour  $\theta'' - \theta' = 2\pi$ , c'est une suspension au dessus du cercle  $C'$ , pointée en  $P_0 := (0, e^{i\theta'})$ .

D'après (5.2.4) pour  $k \in \mathfrak{K}$  on a l'égalité

$$\text{Rab}_{I_k}(V_\Delta(I_k)) = \overline{V_\Delta(\overset{\circ}{I}_k) - \text{Sat}_{\mathcal{F}}(\mathcal{L}'_k(\overset{\circ}{I}_k); V_\Delta(\overset{\circ}{I}_k))}.$$

Cet ensemble est la suspension de  $V_\Delta(\theta_-(k))$  au dessus de  $\mathcal{I}_k := \{0\} \times \{e^{i\theta} \mid \theta \in I_k\}$ , où  $\theta_-(k)$  est l'élément de  $\{\theta_{k-1}, \theta_k\}$  autre que  $\theta_+(k)$ . D'autre part, pour  $k \notin \mathfrak{K}$ ,  $V_\Delta(I_k)$  est déjà une suspension et  $\text{Rab}_{I_k}(V_\Delta(I_k)) = V_\Delta(I_k)$ .

Ainsi l'ensemble

$$W_\Delta^0 := \bigcup_{k=1}^q W_{\Delta, k}^0, \quad \text{avec} \quad W_{\Delta, k}^0 := \text{Rab}_{I_k}(V_\Delta(I_k))$$

est une multi-suspension de longueur  $\leq q$  au dessus du cercle  $C'$ , cf. (5.1.1). Notons que d'après la remarque (5.2.4) on a :

$$(28) \quad \left\{ W_{\Delta, k}^0(\theta_{k-1}), W_{\Delta, k}^0(\theta_k) \right\} = \left\{ V_\Delta(\theta_-(k)), l_k(V_\Delta(\theta_-(k))) \right\}.$$

Supposons  $\varepsilon_4 > 0$  assez petit pour que les difféomorphismes d'holonomies  $\phi_{2\pi i}^X$  et  $\phi_{2\pi i}^Y$  ne possèdent pas point périodique dans  $U_\Delta^*$  et  $V_\Delta^*$  respectivement. L'ensemble  $W_\Delta^{0*} := W_\Delta^0 \setminus C'$  est 0-connexe dans  $V_\Delta^*$ , car chaque feuille de la restriction de  $\mathcal{F}$  à  $\text{Sat}_{\mathcal{F}}(\mathcal{L}'_k; V_\Delta(I_k))$  contient une extrémité d'une feuille de  $\mathcal{F}|_{V_\Delta^*}$ . En appliquant la proposition (1.1.4) on obtient :  $W_\Delta^{0*} \xrightarrow[\mathcal{F}]{} V_\Delta^*$ .

<sup>1</sup>Il est clair que l'union de deux ensemble de type suspension au dessus de  $\mathcal{I}$  est aussi de type suspension au dessus de  $\mathcal{I}$ .

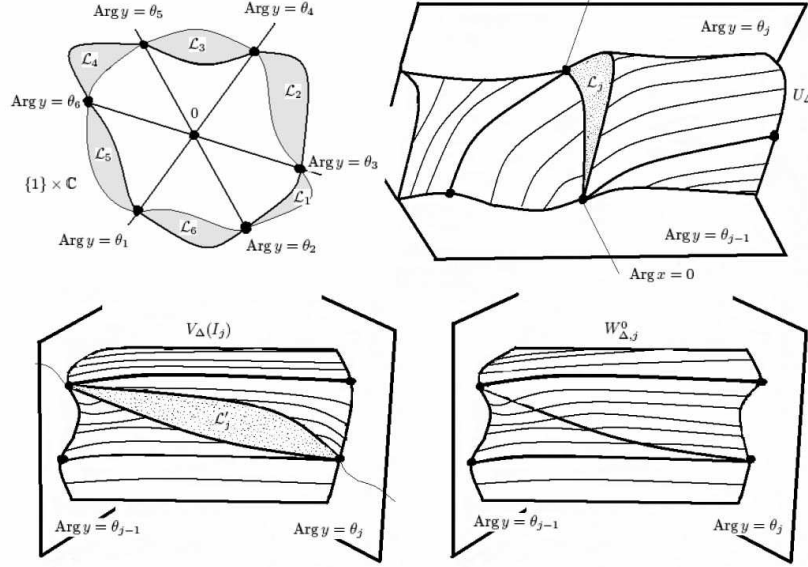


FIG. 5. Description des lunules et du procédé de rabotage.

Nous allons maintenant construire une multi-suspension  $W_{\Delta}^{(1)*} \subset W_{\Delta}^{0*}$  de longueur  $\leq q - 1$  au dessus de  $C'$ , qui sera 1- $\mathcal{F}$ -connexe dans  $W_{\Delta}^{0*}$ . Considérons la restriction de  $\mathcal{F}$  à  $W_{\Delta, q-1}^0 \cup W_{\Delta, q}^0$ . Les feuilles sont des courbes homéomorphes à un intervalle fermé dont les extrémités sont : ou bien toutes deux situées sur  $W_{\Delta, q-1}^0(\theta_{q-2}) \cup W_{\Delta, q}^0(\theta_q)$ , ou bien l'une est située sur  $W_{\Delta, q-1}^0(\theta_{q-2}) \cup W_{\Delta, q}^0(\theta_q)$  et l'autre sur la différence symétrique  $W_{\Delta, q-1}^0(\theta_{q-1}) \Delta W_{\Delta, q}^0(\theta_{q-1})$ . Ainsi on a :

$$\text{Rab}_{I_{q-1} \cup I_q}(W_{\Delta, q-1}^0 \cup W_{\Delta, q}^0) = \text{Sat}(W_{\Delta, q-1}^0(\theta_{q-1}) \cap W_{\Delta, q}^0(\theta_{q-1}), W_{\Delta, q-1}^0 \cup W_{\Delta, q}^0).$$

Cet ensemble que nous notons  $W_{\Delta, q-1}^1$  est une suspension au dessus de  $I_{q-1}^1 := I_{q-1} \cup I_q$ . L'ensemble

$$W_{\Delta}^1 := \overline{W_{\Delta}^0 - (W_{\Delta, q-1}^0 \cup W_{\Delta, q}^0)} \cup W_{\Delta, q-1}^1$$

est une multi-suspension de longueur  $\leq q - 1$ . Par le même argument que précédemment la 0- $\mathcal{F}$ -connexité de  $W_{\Delta}^{1*} := W_{\Delta}^1 \setminus C'$  dans  $W_{\Delta}^{0*}$  est évidente et il vient :  $W_{\Delta}^{1*} \xrightarrow[\mathcal{F}]{} W_{\Delta}^{0*}$ .

En itérant ce procédé on obtient une succession de multi-suspension  $W_{\Delta}^j \subset W_{\Delta}^{j-1}$  de longueur  $\leq q - j$  vérifiant :

$$W_{\Delta}^{q-1} \xrightarrow[\mathcal{F}]{} \dots \xrightarrow[\mathcal{F}]{} W_{\Delta}^j \xrightarrow[\mathcal{F}]{} \dots \xrightarrow[\mathcal{F}]{} W_{\Delta}^0 \xrightarrow[\mathcal{F}]{} V_{\Delta}^*.$$

Ainsi  $W_{\Delta}^{q-1}$  est une suspension au dessus du cercle  $C'$  pointée en  $P_0 := (0, e^{i\theta_0})$ , d'un ensemble  $\tilde{\Delta}' \subset \mathbb{D} \times \{P_0\}$  qui vérifie les propriétés (1), (2) et (3) de la proposition (5.1.3). Si  $\theta_0 = 0$ , nous posons  $\Delta' := \tilde{\Delta}'$  et  $U'_{\Delta'} := W_{\Delta}^{q-1}$ . Si  $\theta_0$  n'est pas nul, pour obtenir une suspension pointée en  $(0, 1)$ ,

nous effectuons une opération de rabotage supplémentaire : nous posons  $J := [0, 2\pi]$ , l'ensemble :

$$U'_{\Delta'} := \text{Rab}_J(W_{\Delta}^{q-1}) \xrightarrow[\mathcal{F}]{1} W_{\Delta}^{q-1} \xrightarrow[\mathcal{F}]{1} V_{\Delta}^*.$$

convient.

Il reste maintenant à prouver l'assertion (4). Pour cela nous allons estimer les "pertes de rugosité" à chaque étape de l'induction.

### 5.3. Estimation de la rugosité.

**Étape 1 : perte de rugosité par opérations de rabotage.** Reprenons les notations (27) du paragraphe précédent. Pour  $I = [\theta', \theta'']$  et pour  $\Omega \subset \mathbb{D} \times \{e^{i\theta}, \theta' \leq \theta \leq \theta''\}$ , posons :

$$\mathbf{e}_{I,x}(\Omega) := \max\{\mathbf{e}_x(\partial(\Omega(\theta'))), \mathbf{e}_x(\partial(\Omega(\theta'')))\},$$

$$\|\Omega\|_{I,x} := \max\{\|\partial(\Omega(\theta'))\|_x, \|\partial(\Omega(\theta''))\|_x\},$$

en convenant que  $\mathbf{e}_{I,x}(\partial(\Omega(\theta))) = +\infty$ , si  $\partial(\Omega(\theta))$  n'est pas un chemin a. l. p. m..

D'après (28) on a pour tout  $k = 1, \dots, q$

$$\mathbf{e}_{I_k,x}(W_{\Delta,k}^0) = \max\{\mathbf{e}_x(V_{\Delta}(\theta_-(k))), \mathbf{e}_x(l_k(V_{\Delta}(\theta_-(k))))\},$$

$$\|W_{\Delta,k}^0\|_{I_k,x} = \max\{\|V_{\Delta}(\theta_-(k))\|_x, \|(l_k(V_{\Delta}(\theta_-(k))))\|_x\}.$$

La proposition (2.3.3) appliquée à la restriction du transport holonome  $l_k|_{V_{\Delta}(\theta_-(k))} : V_{\Delta}(\theta_-(k)) \rightarrow V_{\Delta}(\theta_+(k))$  donne :

$$\mathbf{e}_{I_k,x}(W_{\Delta,k}^0) \leq \{\{\mathbf{e}_x(V_{\Delta}(\theta_-(k))) + c_1^{(0)}\|V_{\Delta}(\theta_-(k))\|_x\}\},$$

$$\|W_{\Delta,k}^0\|_{I_k,x} \leq c_2^{(0)}\|V_{\Delta}(\theta_-(k))\|_x,$$

pour des constantes  $c_1^{(0)}, c_2^{(0)} > 0$  appropriées. Il vient :

$$(29) \quad \mathbf{e}_{I_k,x}(W_{\Delta,k}^0) \leq \{\{\max_{j=1,\dots,q} \mathbf{e}_x(V_{\Delta}(\theta(j))) + c_1^{(0)} \max_{j=1,\dots,q} \|V_{\Delta}(\theta_j)\|_x\}\},$$

$$\|W_{\Delta,k}^0\|_{I_k,x} \leq c_2^{(0)} \max_{j=1,\dots,q} \|V_{\Delta}(\theta_j)\|_x.$$

Appliquons de même les inégalités (6) et la proposition (2.3.3) aux applications de transport holonome :

$$W_{\Delta,q-1}^0(\theta_{q-1}) \cap W_{\Delta,q}^0(\theta_{q-1}) \rightarrow W_{\Delta,q-1}^0(\theta_{q-2}),$$

$$W_{\Delta,q-1}^0(\theta_{q-1}) \cap W_{\Delta,q}^0(\theta_{q-1}) \rightarrow W_{\Delta,q}^0(\theta_q).$$

On obtient aisément l'inégalité

$$(30) \quad \mathbf{e}_{I_{q-1},x}(W_{\Delta,q-1}^1) \leq \{\{\max\{\mathbf{e}_x(W_{\Delta,q-1}^0(\theta_{q-1})), \mathbf{e}_x(W_{\Delta,q}^0(\theta_{q-1}))\}\} + \tilde{c}_1^{(1)} \max\{\|W_{\Delta,q-1}^0(\theta_{q-1})\|_x, \|W_{\Delta,q}^0(\theta_{q-1})\|_x\}\}.$$

Ce qui donne grace à (29)

$$\mathbf{e}_{I_{q-1},x}(W_{\Delta,k}^1) \leq \{\{\max_{j=1,\dots,q} \mathbf{e}_x(V_{\Delta}(\theta(j))) + c_1^{(1)} \max_{j=1,\dots,q} \|V_{\Delta}(\theta_j)\|_x\}\},$$

pour une constantes  $c_1^{(1)} > 0$  appropriée. On montre de même une inégalité :

$$\|W_{\Delta, k}\|_{I_{q-1}^1, x} \leq c_2^{(2)} \max_{j=1, \dots, q} \|V_{\Delta}(\theta_j)\|_x.$$

En itérant ces majorations tout au long de l'induction précédente, on aboutit à des inégalités similaires pour  $U'_{\Delta'}$  :

$$\begin{aligned} \mathbf{e}_{I_k^{q-1}, x}(U'_{\Delta'}) &\leq \left\{ \max_{j=1, \dots, q} \mathbf{e}_x(V_{\Delta}(\theta_j)) + c_1^{(q-1)} \max_{j=1, \dots, q} \|V_{\Delta}(\theta_j)\|_x \right\}, \\ \|U'_{\Delta'}\|_{I_k^{q-1}, x} &\leq c_2^{(q-1)} \max_{j=1, \dots, q} \|V_{\Delta}(\theta_j)\|_x. \end{aligned}$$

Pour obtenir les majorations (4) de la proposition (5.1.3) il suffit de prouver l'existence de constantes  $c_j$  et de fonctions  $\mathfrak{d}_j : \mathbb{R}_+ \rightarrow \mathbb{R}_+$ ,  $\lim_{r \rightarrow 0} \mathfrak{d}_j(r) = 0$  telles que :

$$(31) \quad \mathbf{e}_x(V_{\Delta}(\theta_j)) \leq \left\{ \mathbf{e}_y(\Delta) + \mathfrak{d}_j(\|\Delta\|_y) \right\}, \quad \|V_{\Delta}(\theta_j)\|_x \leq c_j \|\Delta\|_y^{\lambda}.$$

Pour cela fixons nous allons utiliser les propriétés de “l'application de Dulac” du passage du col. Nous rappellerons brièvement cette notion et, pour plus de détails, nous renvoyons au chapitre 7.2. du livre de F. Loray [6].

**Étape 2 : perte de rugosité par l'application de Dulac.** Fixons  $j$  et désignons par  $\zeta_j : V_{\Delta} \setminus V_{\Delta}(\theta_j) \rightarrow \mathbb{D} \times \{e^{i\theta_j}\}$  l'application de transport holonome  $\zeta_j(x, e^{i\theta}) := \phi_{i(\theta_j - \theta)}^Y(x, e^{i\theta})$ . Désignons aussi par  $\tilde{\mathbb{D}}(\varepsilon_4)$  la surface de Riemann du disque fermé épointé  $\{1\} \times \tilde{\mathbb{D}}(\varepsilon_4)^*$ . Nous notons  $r\underline{e}^{i\theta}$ ,  $0 < r \leq \varepsilon_4$ ,  $\theta \in \mathbb{R}$  les points de  $\tilde{\mathbb{D}}(\varepsilon_4)$  et  $\chi(r\underline{e}^{i\theta}) := (1, r\underline{e}^{i\theta})$ , l'application de revêtement. L'application holomorphe

$$\mathfrak{D}_j := \zeta_j \circ \Psi^{-1} \circ \chi|_{\mathcal{S}_j} : \mathcal{S}_j := \{r\underline{e}^{i\theta} \mid 0 < r \leq \varepsilon_4, \theta_j < \theta < \theta_j + 2\pi\} \rightarrow V_{\Delta}(\theta_j),$$

avec  $\Psi$  désignant toujours l'application de passage du col (5.1.2), se prolonge au bord du domaine. Plus précisément, on voit facilement que  $\mathfrak{D}_j(r\underline{e}^{i\theta})$  tend vers  $\Psi^{-1}(r\underline{e}^{i\theta_j})$  pour  $\theta \rightarrow \theta_j$  et  $\mathfrak{D}_j(r\underline{e}^{i\theta})$  tend vers  $h_j(\Psi^{-1}(r\underline{e}^{i\theta_j}))$  pour  $\theta \rightarrow \theta_j + 2\pi$ , où  $h_j := \phi_{2i\pi}^Y$  est l'holonomie de  $\mathcal{F}$  le long du cercle  $C'$ . Ainsi en posant

$$\tilde{\mathfrak{D}}_j(1, r\underline{e}^{i(\theta+2\pi n)}) := h_j^{\circ n}(\mathfrak{D}_j(r\underline{e}^{i\theta})), \quad n \in \mathbb{Z}, \quad h_j := \phi_{2i\pi}^Y,$$

on obtient un prolongement analytique de  $\mathfrak{D}_j$ , noté  $\tilde{\mathfrak{D}}_j$ , qui peut être défini au voisinage d'un fermé  $\tilde{\mathcal{S}}_j \supset \mathcal{S}_j$  du type suivant :

$$\tilde{\mathcal{S}}_j := \{r\underline{e}^{i\theta} \mid 0 < r \leq \xi_j(\theta)\} \subset \tilde{\mathbb{D}}(\varepsilon_4), \quad \text{avec } \xi_j : \mathbb{R} \rightarrow \mathbb{R}_{>0} \text{ continue.}$$

L'application  $\tilde{\mathfrak{D}}_j : \tilde{\mathcal{S}}_j \rightarrow V_{\Delta}(\theta_j)$  s'appelle **application de Dulac de  $\mathcal{F}$ , réalisée sur la transversale  $\tilde{\mathcal{S}}_j$  et à valeurs dans  $\mathbb{D} \times \{e^{i\theta_j}\}$** . Il est clair que pour tout  $r\underline{e}^{i\theta} \in \tilde{\mathcal{S}}_j$  les points  $(1, r\underline{e}^{i\theta})$  et  $\tilde{\mathfrak{D}}_j(r\underline{e}^{i\theta})$  sont sur une même feuille du collier  $Col(\mathcal{F})$ .

**Lemme 5.3.1.** *Soit  $G : \Omega \rightarrow V_{\Delta}(\theta_j)$  une application continue vérifiant les propriétés : a)  $\Omega$  est un sous-ensemble connexe de  $\tilde{\mathcal{S}}_j$ , b) pour tout  $m \in \Omega$  les points  $\chi(m)$  et  $G(m)$  appartiennent à la même feuille de  $Col(\mathcal{F})$ , c) il existe un point  $P_0 \in \Omega$  tel que  $G(P_0) = \tilde{\mathfrak{D}}_j(P_0)$ . Alors  $G \equiv \tilde{\mathfrak{D}}_j|_{\Omega}$ .*

*Preuve.* On sait que chaque feuille de  $\mathcal{F}|_{\text{Col}(\mathcal{F})}$  intersecte  $V_\Delta(\theta_j)$  suivant l'orbite de  $h_j$  qui est un ensemble discret. Ainsi, si l'on se donne la valeur de  $G$  ou de  $\tilde{\mathcal{D}}_j$  en un point, les valeurs aux points voisins sont entièrement déterminées par la propriété b). L'ensemble des points de  $\Omega$  où  $G$ , et  $\tilde{\mathcal{D}}_j$  coïncident est donc un ouvert. La connexité de  $\Omega$  permet de conclure.  $\square$

Désignons par  $\alpha_j(\theta) =: (1, \varrho_j(\theta)e^{i\theta})$ ,  $\theta \in [\theta_j, \theta_j + 2\pi]$  un chemin a. l. p. m. qui paramétrise simplement  $\partial\Delta$  dans le sens direct et par  $\tilde{\alpha}_j : \mathbb{R} \hookrightarrow \tilde{\mathbb{D}}(\varepsilon_4)$ , son relevé  $\tilde{\alpha}_j(\theta) := \varrho_j(\theta)\underline{e}^{i\theta}$ . Nous allons admettre provisoirement les lemmes ci-dessous et prouver les inégalités (31).

**Lemme 5.3.2.** *Pour  $\|\Delta\|_x$  assez petit, il existe  $\vartheta_j \in \mathbb{R}_{>0}$  tels que  $\tilde{\mathcal{D}}_j \circ \tilde{\alpha}_j([\theta_j, \theta_j + \vartheta_j]) = \partial V_\Delta(\theta_j)$  et  $0 < \vartheta_j \leq 2\pi(\lambda + 1)$ .*

**Lemme 5.3.3.** *Lorsque  $y = r\underline{e}^{i\theta}$  tend vers 0 avec  $\theta$  variant dans un intervalle compact,  $(e^{i\theta_j}\tilde{\mathcal{D}}_j(y)/y^\lambda)$  tend vers uniformément vers 1 et  $(y\tilde{\mathcal{D}}'_j(y)/\tilde{\mathcal{D}}_j(y))$  tend uniformément vers  $\lambda$ .*

Le bord de  $V_\Delta(\theta_j)$  est l'image du chemin  $\tilde{\alpha}_j$  par l'application  $\tilde{\mathcal{D}}_j$ , d'après le premier lemme ci-dessus. La seconde inégalité de (31) résulte donc directement du second lemme. La formule de composition analogue à (8) donne la première inégalité de (31) en prenant pour  $\mathfrak{d}_j(r)$  le maximum de la valeur absolue de l'argument de  $y\tilde{\mathcal{D}}'_j(y)/\tilde{\mathcal{D}}_j(y)$  pour  $y = r\underline{e}^{i\theta}$ , avec  $|y| \leq |r|$  et  $\theta_j \leq \theta \leq \theta_j + 2\pi(\lambda + 1)$ . D'après (5.3.3) comme  $\lambda$  est réel  $> 0$ ,  $\mathfrak{d}_j(r)$  tend vers 0 lorsque  $r$  tend vers 0.

*Preuve du Lemme 5.3.2.* Les feuilles de la restriction de  $\mathcal{F}$  à  $\partial\mathbb{D} \times \mathbb{D}^*$  sont transverses aux surfaces  $T_\theta := \{e^{i\theta}\} \times \mathbb{C}^*$ ,  $\theta \in [0, 2\pi[$ . Elles sont aussi transverses aux surfaces  $T^\theta \subset \partial\mathbb{D} \times \mathbb{D}^*$  d'équation  $\arg(y) = \theta$ ; pour le voir on peut remarquer que  $\mathcal{F}|_{\mathbb{D}^* \times \partial\mathbb{D}}$  est transverse aux surfaces  $T'_\theta \subset \mathbb{D}^* \times \partial\mathbb{D}$  d'équations  $\arg(y) = \theta$  et que l'application  $\Psi$  de passage du col échange ces deux feuilletages et transforme  $T'_\theta$  en  $T^\theta$ . Ainsi, étant donné un chemin

$$(32) \quad t \mapsto \phi_{it}^X(1, y_0), \quad t \in [0, t_1]$$

d'extrémités  $(1, y_0) \in T_0$  et  $m_1 = \phi_{it_1}^X(1, y_0) \in T^{\theta_j}$ , il existe une unique fonction analytique réelle  $\varsigma$ , définie sur un voisinage de  $m_0$  dans  $T^{\theta_j}$  et à valeurs dans  $\mathbb{R}_{<0}$ , telle que  $\phi_{i\varsigma(m)}^X(m) \in T_0$  et  $\varsigma(m_1) = -t_1$ . L'application  $m \mapsto \phi_{i\varsigma(m)}^X(m)$  est un difféomorphisme local  $\mathbb{R}$ -analytique de  $(T_0, m_0)$  sur  $(T^{\theta_j}, m_1)$ .

D'autre part  $\partial^{\text{sat}}U_\Delta$  est l'ensemble des points  $\phi_{it}^X(1, y)$  avec  $(1, y) \in \partial\Delta$  et  $0 < t < 2\pi$ . Ainsi tout point de  $\Gamma_j := \partial^{\text{sat}}U_\Delta \cap T^{\theta_j}$  est relié dans  $\partial\mathbb{D} \times \mathbb{D}^*$  à un point de  $\partial\Delta$ , par un chemin du type (32) ci-dessus, avec  $0 < t_1 < 2\pi$ . On déduit de ce qui précède que  $\Gamma_j$  est localement difféomorphe à  $\partial\Delta$ . Plus précisément  $\Gamma_j$  est un chemin analytique par morceaux, homéomorphe à un intervalle ouvert, tracé dans  $T^{\theta_j}$ . Le transport holonome induit une application "localement injective"  $\beta_j : \Gamma_j \rightarrow \partial\Delta$ . Notons  $P_j$  le point de  $\partial\Delta$  d'argument  $\theta_j$ . Visiblement  $\{P_j\} = \overline{\Gamma_j} \cap T_0 = \partial U_\Delta \cap T^{\theta_j}$ . Soit  $\hat{\Gamma}_j$  la compactification de  $\Gamma_j$  homéomorphe à un intervalle fermé. Nous pouvons noter  $\hat{\Gamma}_j := \Gamma_j \sqcup \{P_j, P'_j\}$ , avec l'application  $\beta_j$  qui se prolonge continument



en une application  $\widehat{\beta}_j : \widehat{\Gamma}_j \rightarrow \partial\Delta$  telle que  $\widehat{\beta}_j(P_j) = \widehat{\beta}_j(P'_j) = P_j$ . Celle-ci se factorise en une injection  $\widetilde{\beta}_j : \widehat{\Gamma}_j \hookrightarrow \widetilde{\mathcal{S}}_j$ , si  $\Delta$  est de taille assez petite.

Remarquons que l'application

$$\mathcal{D} := (\Psi^{-1} \circ \widetilde{\beta}_j^{-1}) : \Omega \longrightarrow V_\Delta(\theta_j), \quad \Omega := \widetilde{\beta}_j(\widehat{\Gamma}_j),$$

satisfait les hypothèses du lemme (5.3.1). En effet a) et b) sont évidentes par construction et c) résulte de la remarque suivante :  $\Psi^{-1}(re^{i\theta}) = \widetilde{\mathfrak{D}}_j(\underline{e}^{i\theta})$  si  $\theta = \theta_j$ . Ainsi  $\widetilde{\mathfrak{D}}_j(\Omega) = \Psi^{-1}(\widehat{\Gamma}_j)$ . Mais par construction  $\Psi^{-1}(\widehat{\Gamma}_j) = \partial V_\Delta(\theta_j)$ . Pour obtenir une égalité  $\widetilde{\mathfrak{D}}_j \circ \widetilde{\alpha}_j([\theta_j, \theta_j + \vartheta_j]) = \partial V_\Delta(\theta_j)$ , il suffit de remarquer que  $\Omega$  est l'image d'un intervalle par  $\widetilde{\alpha}_j$ .

La longueur  $\vartheta_j$  de cet intervalle est majoré par  $2\pi d_j$ , où  $d_j$  est le nombre maximum de points d'une fibre de l'application  $\beta_j$ . Celui-ci se majore par la variation de l'argument de  $y$  dans un chemin  $\gamma_{y_0} : t \mapsto \phi_{it}^X(1, y_0)$ ,  $t \in [0, 2\pi]$ , avec  $y_0 \in \partial\Delta$ . Ce qui donne :

$$d_j \leq \operatorname{Re} \left( \frac{1}{2i\pi} \int_{\gamma_{y_0}} \frac{dy}{y} \right) = \operatorname{Re} \left( \frac{1}{2i\pi} \int_{\gamma_{y_0}} (\lambda + xyA(x, y)) \frac{dx}{x} \right) \leq \lambda + \epsilon_\Delta,$$

où  $\epsilon_\Delta$  est le maximum de  $|yA(x, y)|$  pour  $(x, y) \in U_\Delta$ . D'où la conclusion.  $\square$

*Preuve du Lemme (5.3.3).* Remarquons d'abord que si l'on compose  $\widetilde{\mathfrak{D}}_j$  par l'application de transport holonome  $\phi_{-i\theta_j}^Y$ , on obtient l'application de Dulac réalisée encore sur  $\widetilde{\mathcal{S}}_j$  mais à valeur dans  $\mathbb{D} \times \{1\}$ . Toujours d'après (2.3.3) et (2.3.4) il revient au même de prouver le lemme pour  $\widetilde{\mathfrak{D}}_j$  ou pour  $\mathfrak{D}$ . Ainsi nous supposons  $\theta_j = 0$ . L'application  $\widetilde{\mathfrak{D}}_j$  est alors l'application de Dulac décrite dans le chapitre 7 de [6] et la première affirmation du lemme est énoncé à la page 148 de cette référence.

Considérons la forme normale formelle, du germe de  $\mathcal{F}$  au point singulier. Elle est donnée par une 1-forme qui s'écrit :

$$(33) \quad \omega_{p_0/q_0, k, \alpha} := q_0 x (1 + \alpha x^{kp_0} y^{kq_0}) dy + p_0 y (1 + (\alpha - 1) x^{kp_0} y^{kq_0}) dx,$$

avec  $\alpha \in \mathbb{C}$ ,  $k \in \mathbb{N}^*$ , définissant un feuilletage noté  $\mathcal{F}_{p_0/q_0, k, \alpha}$ . D'après [9] il existe des applications  $\Phi_l : U_l(r_0, \varepsilon) \rightarrow \mathcal{C}ol(\Delta)$ ,  $l = 0, \dots, 2k - 1$ , définies et différentiables (au sens de Whitney) sur les secteurs fermés

$$U_l(r_0, \varepsilon) := u^{-1} \left\{ re^{i\theta} / 0 \leq r \leq r_0, \left| \theta - \frac{\pi}{2k} - l \frac{\pi}{k} \right| \leq \pi/k \right\} \cap \mathbb{D} \times \mathbb{D},$$

holomorphes sur les secteurs ouvert  $\overset{\circ}{U}_l(r_0, \varepsilon)$ , tangentes à l'identité en chaque point des axes et qui conjuguent  $\mathcal{F}_{p_0/q_0, k, \alpha}$  à  $\mathcal{F}_{|\mathcal{C}ol(\Delta)}$ . Soit  $m, n \in \mathbb{N}$  des entiers qui satisfont :  $mp_0 - nq_0 = 1$ . L'application multiforme

$$H := x^n y^m (x^{p_0} y^{q_0})^{\frac{\alpha - mp_0}{p_0 q_0}} \exp \left( \frac{-1}{p_0 q_0 u(x, y)^k} \right)$$

est, sur  $\mathbb{C}^2$  privé des axes, une intégrale première de  $\mathcal{F}_{k, \alpha}$ . Elle est uniforme sur  $U_l(r_0, \varepsilon)$  et sépare les feuilles de la restriction de  $\mathcal{F}_{p_0/q_0, k, \alpha}$  à  $U_l(r_0, \varepsilon)$ , cf.

[9] page 598. Ainsi, si deux points  $(1, y)$  et  $(x, e^{i\theta_0})$  appartiennent à  $U_l(r_0, \varepsilon)$  et satisfont l'équation

$$(34) \quad H(1, y) = H(x, e^{i\theta_0}),$$

alors il existe un chemin dans une feuille de  $\mathcal{F}_{p_0/q_0, k, \alpha}|_{U_l(r_0, \varepsilon)}$  qui joint ces deux points. On en déduit que toute solution de (34) est une détermination de l'application de Dulac de  $\mathcal{F}_{p_0/q_0, k, \alpha}$ . Il en résulte aussi que les applications de conjugaison  $\Phi_l$ ,  $l = 0, \dots, 2k - 1$ , induisent un système complet de conjugaisons sectorielles (à la source et au but) entre des déterminations de l'application de Dulac de  $\mathcal{F}_{p_0/q_0, k, \alpha}$  et de  $\mathcal{F}$ . Ces conjugaisons sont holomorphes sur les secteurs ouverts et possèdent un développement asymptotique tangent à l'identité à l'origine. On en déduit, grâce à (2.3.3) et (2.3.4), qu'il suffit de prouver le lemme (5.3.3) pour le feuilletage  $\mathcal{F}_{p_0/q_0, k, \alpha}$ .

Supposons désormais  $\mathcal{F} = \mathcal{F}_{p_0/q_0, k, \alpha}$ . Pour simplifier les calculs, remarquons d'abord que l'on peut se ramener au cas  $p_0 = q_0 = k = 1$ . En effet  $\mathcal{F}_{p_0/q_0, k, \alpha}$  est l'image réciproque de  $\mathcal{F}_{1, 1, \alpha}$  par l'application  $R(x, y) := (x^{kp_0}, y^{kq_0})$ . Celle-ci est un revêtement en restriction à  $\mathbb{C}^* \times \mathbb{C}^*$  et ses restrictions à des secteurs appropriés contenus dans des transversales aux axes conjuguent les applications de Dulac respectives. Les conjugantes  $g$  sont du type  $\varphi(z) = cz^\beta$  avec  $z = x$  ou  $y$  et  $\beta \in \mathbb{Q}_{>0}$ , qui ne modifient pas la rugosité des courbes. Il en découle que le lemme (5.3.3) est satisfait par  $\mathcal{F}_{p_0/q_0, k, \alpha}$  dès qu'il l'est par  $\mathcal{F}_{1, 1, \alpha}$ .

Supposons finalement  $\mathcal{F} = \mathcal{F}_{1, 1, \alpha}$  et  $\theta_j = 0$ . En dérivant la relation (34) on voit que le graphe l'application de Dulac  $x = \tilde{\mathcal{D}}_j(y)$  est une solution de l'équation différentielle :

$$(35) \quad \frac{ydx}{xdy} = \frac{x(1 + \alpha y)}{y(1 + (\alpha - 1)x)}.$$

Comme  $\tilde{\mathcal{D}}_j(y)$  tend vers 0 lorsque  $y$  tend vers 0 avec un argument borné, on déduit de cette équation que  $(y\tilde{\mathcal{D}}_j'(y)/\tilde{\mathcal{D}}_j(y))$  converge alors et possède la même limite 1, que  $(\tilde{\mathcal{D}}_j(y)/y)$ .  $\square$

#### RÉFÉRENCES

- [1] M. BELLIART, I. LIOUSSE ET F. LORAY, *Sur l'existence de points fixes attractifs pour les sous-groupes de  $\text{Aut}(\mathbb{C}, 0)$* , C. R.Acad. sci. Paris. I Math., **t. 324**, no. 4, pages 443 à 446, (1997)
- [2] C. CAMACHO AND P. SAD, *Invariant varieties through singularities of holomorphic vector fields*, Annals of mathematics, **t. 115**, pages 579 à 595, (1982)
- [3] C. CAMACHO, A. LINS NETO AND P. SAD, *Topological invariants and equidesingularization for holomorphic vector fields*, Journal of Differential Geometry, **t. 20**, pages 143 à 174, (1984)
- [4] D. EISENBUD ET W. NEUMANN, *Three dimensional link theory and invariants of plane curves singularities*, Annals of Math. Studies, Princeton University Press 110, (1985)
- [5] L. LE FLOCH, *Rigidité générique des feuilletages singuliers*, Annales Scientifiques de l'E.N.S.(4), **t. 31 (6)**, pages 765 à 785, (1998)
- [6] F. LORAY, *Pseudo-groupe d'une singularité de feuilletage holomorphe en dimension deux*, preprint Université de Rennes, (2005)

- [7] W. MAGNUS, A. KARRASS ET D. SOLITAR, *Combinatorial Group Theory*, Dover Books On Advances mathematics, New York, (2004)
- [8] D. MARÍN ET J.-F. MATTEI, *Sur la topologie des feuilles d'un feuilletage holomorphe au voisinage d'un diviseur compact*, en préparation
- [9] J. MARTINET ET J.P. RAMIS, *Classification analytique des équations différentielles non linéaires résonnantes du premier ordre*, Annales Scientifiques de l'E.N.S., t. **16**, pages 571 à 621, (1983)
- [10] J.-F. MATTEI ET R. MOUSSU, *Holonomie et intégrales premières*, Annales Scientifiques de l'E.N.S., t. **13**, pages 469 à 523, (1980)
- [11] J.-F. MATTEI ET E. SALEM, *Modules formels locaux de feuilletages holomorphes*, Prépublication du laboratoire E. Picard, Toulouse, **274**, (2003)
- [12] J. MILNOR, *Singular points of complex hypersurfaces*, Ann. of Math. studies, vl. 61, Princeton University Press, (1968)
- [13] D. MUMFORD, *The topology of normal singularities of an algebraic surface and a criterion for simplicity*, Inst. Hautes Études Sci. Publ. Math., t. **9**, pages 5 à 22, (1961)
- [14] P. ORLIK, *Seifert manifolds*, Lecture Notes in Mathematics, vl. 291, Springer-Verlag, (1972)
- [15] A. SEIDENBERG, *Reduction of Singularities of the differentiable equation  $AdY = BdX$* , American Journal of Mathematics, t. **90**, pages 248 à 269, (1968)
- [16] S. M. VORONIN, *Analytic classification of germs of conformal mappings  $(\mathbb{C}, 0) \rightarrow (\mathbb{C}, 0)$* , Funktsional Ana. i Prilozhen, t. **1**, no **1**, pages 1 à 17, 96, (1981)
- [17] W. WASOW, *Asymptotic Expansions for Ordinary Differential Equations*, Dover Books On Advances mathematics, New York, (1987)
- [18] J.-C. YOCOZ, *Théorème de Siegel, nombres de Bruno et polynômes quadratiques*, Astérisque, t. **231**, pages 3 à 88, (1995)

DEPARTAMENT DE MATEMÀTIQUES, UNIVERSITAT AUTÒNOMA DE BARCELONA, E-08193 BELLATERRA (BARCELONA), SPAIN  
*E-mail address:* davidmp@mat.uab.es

INSTITUT DE MATHÉMATIQUES, LABORATOIRE EMILE PICARD, UNIVERSITÉ PAUL SABATIER, 118, ROUTE DE NARBONNE, F-31062 TOULOUSE CEDEX 4, FRANCE  
*E-mail address:* mattei@picard.ups-tlse.fr